

「福島第一原子力発電所の原子炉建屋の現状の耐震安全性および補強に
関する検討に係る報告書（その1）」の修正正誤表


平成23年5月

東京電力株式会社

平成 23 年 5 月 28 日に提出した「福島第一原子力発電所の原子炉建屋の現状の耐震安全性および補強等に関する検討に係る報告書（その 1）」に使用した写真等の一部に誤りがあることが判明し、該当箇所を下記の正誤表のとおり修正いたします。

正誤表

ページ	修正箇所
添付資料-1 3 ページ	・ 文章の重複箇所を削除
添付資料-3 5 ページ	・ 付録 3-2 に掲載された写真の差替えに伴う差替え
付録 3-2 付 3-2.2 ページ	・ 図表番号の誤記訂正 ・ 図 5 で示している位置とは異なる写真を掲載していたため差替え
付録 3-2 付 3-2.3 ページ	・ 図 5 で示している位置とは異なる写真を掲載していたため差替え
付録 3-2 付 3-2.4 ページ	・ 図中の位置番号の誤記訂正

次ページ以降に修正箇所を示す。なお、は修正箇所を示す。

誤

2. 損傷状況の評価

1号機原子炉建屋については、地震後の津波によって原子炉の冷却機能が喪失し、水素爆発等により原子炉建屋の一部が損傷している。原子炉建屋の損傷状況は写真を基に推定し、損傷状況を地震応答解析モデルに反映することとする。原子炉建屋の損傷状況は写真を基に推定し、損傷状況を地震応答解析モデルに反映することとする。また、外観写真から判断できない部位については、建屋内の調査結果等の現状で得られている情報に基づいて、損傷の有無を評価した。

各部位の損傷状況評価の考え方を下記に示す。

a. 外壁・屋根トラス

外観の写真から損傷を確認できるオペレーティングフロアより上の外壁・屋根トラスについては、損傷部位として評価した。なお、オペレーティングフロアより下部の外壁については、写真より損傷が確認できないため、損傷は無いものと評価した(図-2.1)。なお、写真は3月24日に撮影されたものを参考としているが、その後も外壁が崩落する等の変化は確認されていない。

b. その他部位

オペレーティングフロアより下部の外壁については損傷が確認されていないことから、オペレーティングフロアより下部の内壁等の部位についても損傷が無いものと評価した。

正

2. 損傷状況の評価

1号機原子炉建屋については、地震後の津波によって原子炉の冷却機能が喪失し、水素爆発等により原子炉建屋の一部が損傷している。原子炉建屋の損傷状況は写真を基に推定し、損傷状況を地震応答解析モデルに反映することとする。また、外観写真から判断できない部位については、建屋内の調査結果等の現状で得られている情報に基づいて、損傷の有無を評価した。

各部位の損傷状況評価の考え方を下記に示す。

a. 外壁・屋根トラス

外観の写真から損傷を確認できるオペレーティングフロアより上の外壁・屋根トラスについては、損傷部位として評価した。なお、オペレーティングフロアより下部の外壁については、写真より損傷が確認できないため、損傷は無いものと評価した(図-2.1)。なお、写真は3月24日に撮影されたものを参考としているが、その後も外壁が崩落する等の変化は確認されていない。

b. その他部位

オペレーティングフロアより下部の外壁については損傷が確認されていないことから、オペレーティングフロアより下部の内壁等の部位についても損傷が無いものと評価した。

誤



1階外壁



2階外壁



2階床



2階天井

図-2.5 建屋内部の状況 (1, 2階)

正



1階外壁



2階外壁



2階床



2階天井

図-2.5 建屋内部の状況 (1, 2階)

誤

【内壁】

- 4月13日時点
 - ・ 建屋内の調査が実施できていなかったことから、外観写真と図面等から判断することとした。
- 4月28日時点
 - ・ コンクリートポンプ車の先端に取り付けられたカメラにより撮影された写真により、使用済燃料プールに一定の水量が注水されていることが確認できる。(図3)



図3 使用済み燃料プール内部の状況(4月28日撮影)

- 5月22日時点
 - ・ 建屋内(1階、2階)では調査が実施されている。現段階では1階、2階の内壁、1階、2階の床スラブ、天井スラブに損傷は確認されていない。建屋内の写真を図4、それぞれの写真の撮影位置を図4に示す。



①1階内壁



②1階外壁



③1階外壁



④1階天井

図4(1) 建屋内部の状況(5月19日~21日撮影)

正

【内壁】

- 4月13日時点
 - ・ 建屋内の調査が実施できていなかったことから、外観写真と図面等から判断することとした。
- 4月28日時点
 - ・ コンクリートポンプ車の先端に取り付けられたカメラにより撮影された写真により、使用済燃料プールに一定の水量が注水されていることが確認できる。(図3)



図3 使用済み燃料プール内部の状況(4月28日撮影)

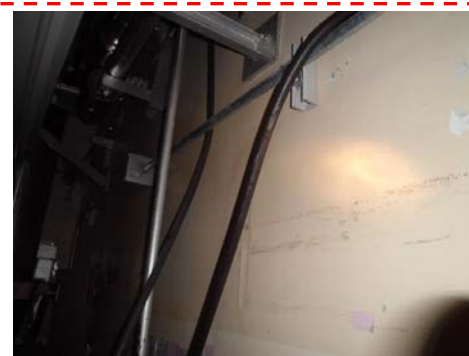
- 5月22日時点
 - ・ 建屋内(1階、2階)では調査が実施されている。現段階では1階、2階の内壁、1階、2階の床スラブ、天井スラブに損傷は確認されていない。建屋内の写真を図4、それぞれの写真の撮影位置を図5に示す。



①1階内壁



②1階外壁



③1階外壁



④1階天井

図4(1) 建屋内部の状況(5月19日~21日撮影)

誤



⑤2階内壁



⑥2階外壁



⑦2階シェル壁



⑧2階シェル壁



⑨使用済燃料プール下部



⑩2階床



⑪2階天井

図4(2) 建屋内部の状況(5月19日~21日撮影)

正



⑤2階内壁



⑥2階外壁



⑦2階シェル壁



⑧2階シェル壁



⑨使用済燃料プール下部



⑩2階床



⑪2階天井

図4(2) 建屋内部の状況(5月19日~21日撮影)

誤

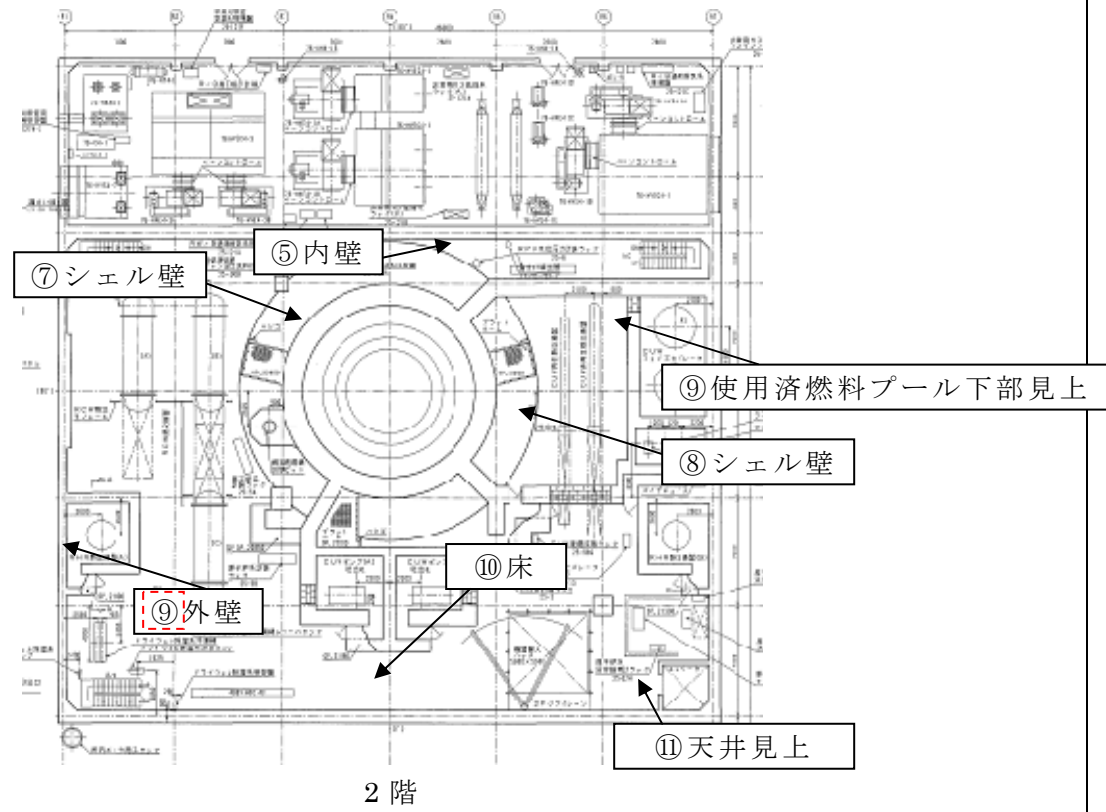
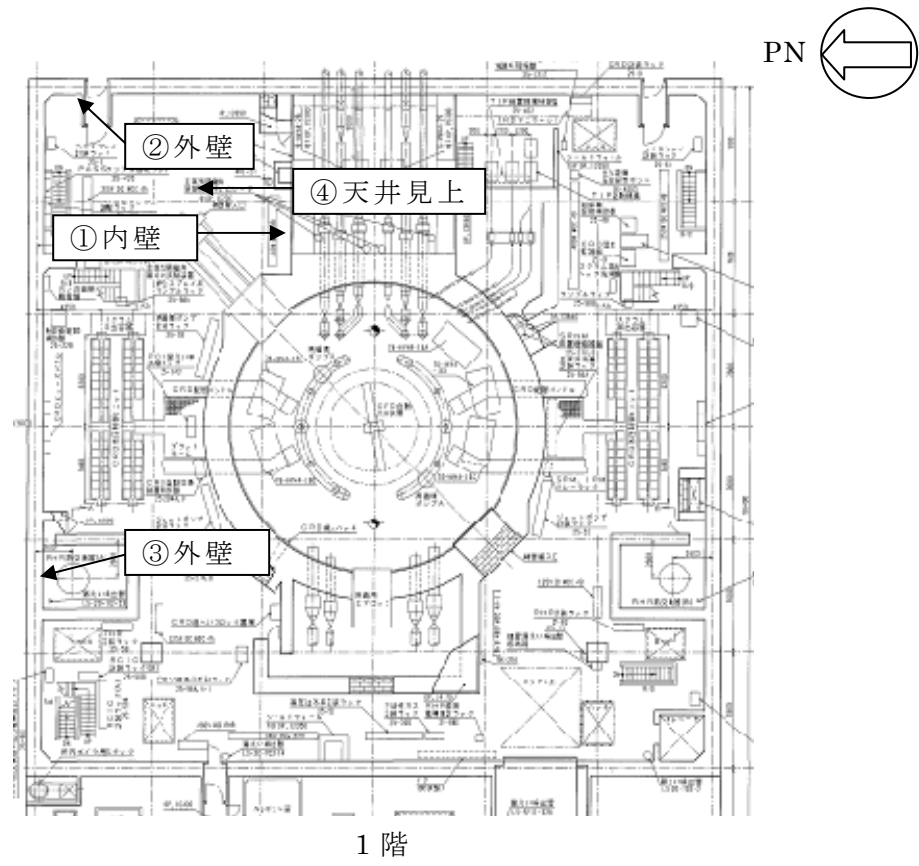


図 5 建屋内部の写真撮影位置

正

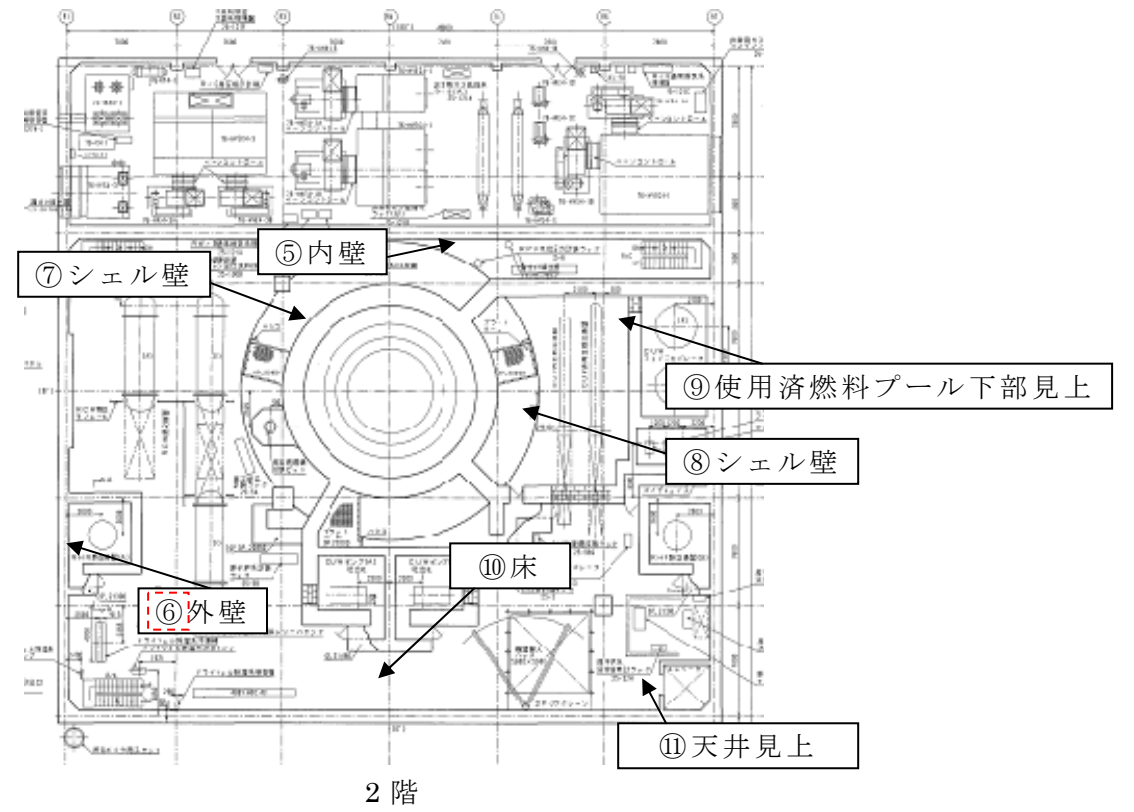
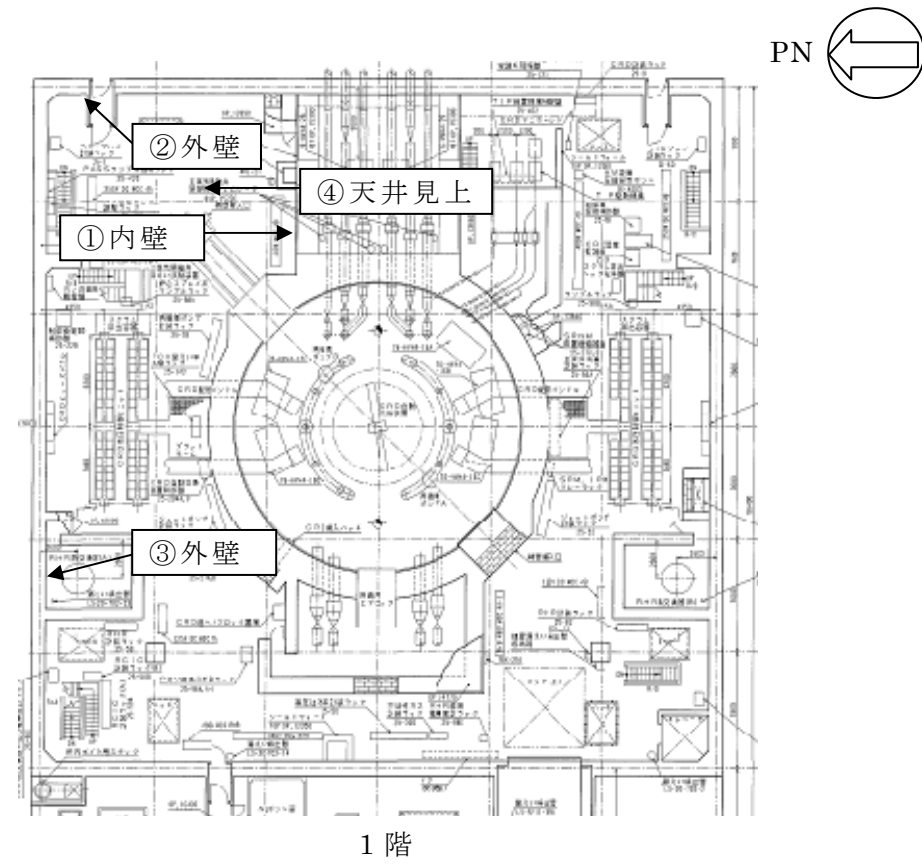


図 5 建屋内部の写真撮影位置

福島第一原子力発電所の原子炉建屋の現状の
耐震安全性および補強等に関する検討に係る報告書
(その1)

平成23年5月

東京電力株式会社

目 次

- 1 . はじめに
- 2 . 耐震安全性評価に関する検討方針
- 3 . 耐震安全性評価に関する検討結果
- 4 . 耐震補強工事等の対策に関する検討結果
- 5 . まとめ

添付資料 - 1 : 1号機の原子炉建屋の耐震安全性評価に関する詳細

添付資料 - 2 : 「福島第一原子力発電所第1号機における燃料域上部まで原子炉格納容器を水で満たす措置の実施に係る報告書」(平成23年5月5日)からの一部抜粋

添付資料 - 3 : 4号機の原子炉建屋の耐震安全性評価に関する詳細
(質点系モデルによる時刻歴応答解析による評価)

添付資料 - 4 : 4号機の原子炉建屋の耐震安全性評価に関する詳細
(3次元FEM解析による局部評価)

福島第一原子力発電所の原子炉建屋の現状の耐震安全性
および補強等に関する検討に係る報告書（その１）

１．はじめに

本報告書は、「核原料物質、核燃料物質及び原子炉の規制に関する法律第 67 条第 1 項の規定に基づく報告の徴収について」（平成 23 年 4 月 13 日）に基づき、福島第一原子力発電所の原子炉建屋の現状の耐震安全性および補強に関する検討を実施した結果を報告するものである。

今回の（その 1）では、評価結果がまとまった 1 号機及び 4 号機を先行して報告するものであり、その他の号機については評価結果がまとまった時点で改めて報告する予定である。

２．耐震安全性評価に関する検討方針

（１）1 号機の原子炉建屋

1 号機の原子炉建屋については、東北地方太平洋沖地震の翌日である 3 月 12 日に水素爆発とみられる事象により、5 階のオペレーティングフロアより上部が破損した。一方で、3 号機や 4 号機とは異なり 5 階以下の破損はみられない。このような破壊形式に至ったのは、1 号機は 5 階以上が鉄骨構造に鋼板を取り付けた構造形式であり、内圧に対して壁の部分が非常に脆弱であったためと推定しており、この部分が先行破壊して内圧を開放したことにより、5 階より下の構造はほぼ健全な状態を維持していると評価した。この情報を質点系モデルに反映し、基準地震動 S_s による時刻歴応答解析を実施し、耐震壁がせん断破壊する終局状態に至るかどうかについて検討することとした。

（２）4 号機の原子炉建屋

4 号機の原子炉建屋は、3 月 15 日に破損していることが確認された。4 号機については、破損が生じた時の映像が無いことなどから、どのようなプロセスで破損に至ったのか現段階では必ずしも特定されていない。1 号機とは構造形式が異なり鉄筋コンクリート構造であり、内圧に対して壁の抵抗力が大きかったためと推定されるが、柱と梁のフレーム構造と屋根トラスを残して、屋根スラブと壁の大半が失われており、さらに 4 階の壁の大部分と、3 階の一部の壁が破損している。このように、4 号機については、1 号機と異なり 5 階以下の壁も破損しているので、この情報を質点系モデルに反映し、基準地震動 S_s による時刻歴応答解析を実施し、耐震壁がせん断破壊する終局状態に至るかどうかについて全体評価を行うこととした。

その後、使用済燃料プールを含めた 3 次元 FEM 解析により局部評価を行うこととし、時刻歴応答解析により得られた最大値を地震荷重として入力し、温度荷重などその他の荷重と組み合わせた評価を行うこととした。

3. 耐震安全性評価に関する検討結果

(1) 1号機の原子炉建屋

基準地震動 S_s を用いた時刻歴応答解析を実施した結果、残存している 5 階以下の耐震壁に発生するせん断ひずみは最大でも 0.12×10^{-3} であり、評価基準値である 4×10^{-3} を大きく下回っており、十分な安全性を有しているものと評価している（結果的にはおおむね弾性範囲と言える状態であった。）。したがって、耐震安全上重要な設備である「原子炉圧力容器」、「原子炉格納容器」、「使用済燃料プール」などに影響を及ぼすおそれはないものと評価している。

（添付資料 - 1）

さらに、5 月 5 日に報告済みの「福島第一原子力発電所第 1 号機における燃料域上部まで原子炉格納容器を水で満たす措置の実施に係る報告書」からの一部を引用するが、格納容器を水で満たした場合の結果と今回の解析結果はそれほど大きく異なるものではない。このことは、原子炉建屋における重量分布が多少変化したとしても、その影響は小さいことを示しているものと考えられる。また、現段階で原子炉格納容器の水は目標水位レベルには達していないが、特に問題が生じることはないものと考えられる。

（添付資料 - 2）

(2) 4号機の原子炉建屋

基準地震動 S_s を用いた時刻歴応答解析を実施した結果、残存している 5 階以下の耐震壁に発生するせん断ひずみは最大でも 0.17×10^{-3} であり、評価基準値である 4×10^{-3} を大きく下回っており、十分な安全性を有しているものと評価している（結果的にはおおむね弾性範囲と言える状態であった。）。したがって、耐震安全上重要な設備である「原子炉圧力容器」、「原子炉格納容器」、「使用済燃料プール」などに影響を及ぼすおそれはないものと評価している。

（添付資料 - 3）

3 次元 FEM 解析による局部評価結果としては、次のような評価を行った。

- ・ 基準地震動 S_s によって作用する地震荷重とその他の荷重を組み合わせた結果、使用済燃料プールにおいて鉄筋の最大ひずみは 1230×10^{-6} であり、評価基準値

である塑性限界ひずみの 5000×10^{-6} に対して十分余裕がある（結果として、解析上の弾性限界ひずみの 1683×10^{-6} よりも小さい。）。また、面外せん断力において最も余裕が少ない部位での発生応力は 800 (N/mm) であり、評価基準値である 1150 (N/mm) に対して十分余裕がある。

- ・ 爆発によって、残存する床や壁にひび割れが生じ、剛性低下があったと仮定したパラメータスタディの結果によると、使用済燃料プールの評価結果に大きな差異は生じなかった。
- ・ 4階で火災があった可能性が高く、その火災エリアにおいてはコンクリート表面から結晶水が失われ、部分的な剛性低下があったと仮定したパラメータスタディの結果によると、使用済燃料プールの評価結果に大きな差異は生じなかった。
- ・ 現在の使用済燃料プールの水温は 90 程度であり、外気温は低い場合でも 10 と仮定した解析を標準としているが、冬までこの状態が継続した場合を考えて、水温が 100 で外気温が 0 としたパラメータスタディを実施した。この場合には標準ケースよりも余裕が少なくなるものの、評価基準値に対しては十分な余裕を確保していることを確認した。

（添付資料 - 4）

4. 耐震補強工事等の対策に関する検討結果

（1）1号機の原子炉建屋

耐震安全性評価の結果として、耐震安全性の確保ができないおそれがある箇所は無かったことから、現段階では緊急的な耐震補強工事等の対策は考えていない。また、現段階では建物内部の線量レベルが高いことから立入が難しいという面もある。今後、環境改善が進み建物内部の線量レベルが作業を行うのに十分な程度に低減された場合には、余裕度向上の観点からの補強工事を行うことも考慮にいて、検討に取り組んでいくこととする。なお、5階以上に残存している鉄骨部分に関しては、今後環境改善が進み使用済燃料プールからの燃料取り出しを行う段階になった場合などには、使用済燃料への影響を踏まえた対策の検討を行うこととする。

（2）4号機の原子炉建屋

耐震安全性評価の結果として、耐震安全性の確保ができないおそれがある箇所は無かったことから、現段階では緊急的な耐震補強工事等の対策は考えていない。ただし、4号機の原子炉建屋の1階と2階については、比較的線量レベルが低かったことから、使用済燃料プールの底部において余裕度向上を目的とした補強工事を計画し、現段階では準備工事を実施中である。この補強工事の効果について、3次元 FEM 解析による

局部評価のモデルに取り込んで評価を行った結果、余裕度の向上に寄与していることを確認した。なお、5階以上に残存している鉄筋コンクリート構造の架構と鉄骨構造の屋根トラスに関しては、今後環境改善が進み使用済燃料プールからの燃料取り出しを行う段階になった場合などには、使用済燃料への影響を踏まえた対策の検討を行うこととする。

(添付資料 - 4)

5. まとめ

本報告書においては、1号機の原子炉建屋及び4号機の原子炉建屋について耐震安全性評価を実施し、安全性に問題がないことを確認した。なお、現在4号機において実施中の使用済燃料プールの底部における補強工事についての効果が確認された。今後は、5階以上が大きく損傷し、5階以下の壁もかなり損傷している3号機の評価がまとまった時点で、追加報告を行う予定である。

添付資料 - 1 : 1号機の原子炉建屋の耐震安全性評価に関する詳細

1. 解析評価方針

水素爆発等による損傷に伴う原子炉建屋の構造への影響及び耐震性評価は、基準地震動 Ss を用いることを基本とし、建物・構築物や地盤の応答性状を適切に表現できるモデルを設定した上で行う。なお、基準地震動 Ss-3 については、基準地震動 Ss-1 及び Ss-2 の応答結果に比べて、過去の計算例（付録 1 - 1 参照）から明らかに小さいことが分かっているため、今回の検討では省略することとする。

地震応答解析モデルは、地盤との相互作用を考慮し、曲げおよびせん断剛性を考慮した質点系モデルとする。

1号機原子炉建屋については、地震後の津波によって原子炉の冷却機能が喪失し、水素爆発等により原子炉建屋の一部が損傷している。ここでは、原子炉建屋の損傷状況は写真を基に推定し、損傷状況を地震応答解析モデルに反映することとする。

原子炉建屋の構造への影響及び耐震性の評価は、耐震安全上重要な設備への波及的影響防止の観点から、地震応答解析により得られた耐震壁のせん断ひずみと、鉄筋コンクリート造の耐震壁の終局限界に対応した評価基準値（ 4.0×10^{-3} ）との比較により行う。

なお、鉄筋コンクリート造の耐震壁の終局限界に対しては、水平方向の地震力が支配的であり、鉛直方向の地震力の影響は少ないことから、地震応答解析は水平方向のみ実施する。

1号機原子炉建屋の地震応答解析の評価手順例を、図-1.1 に示す。

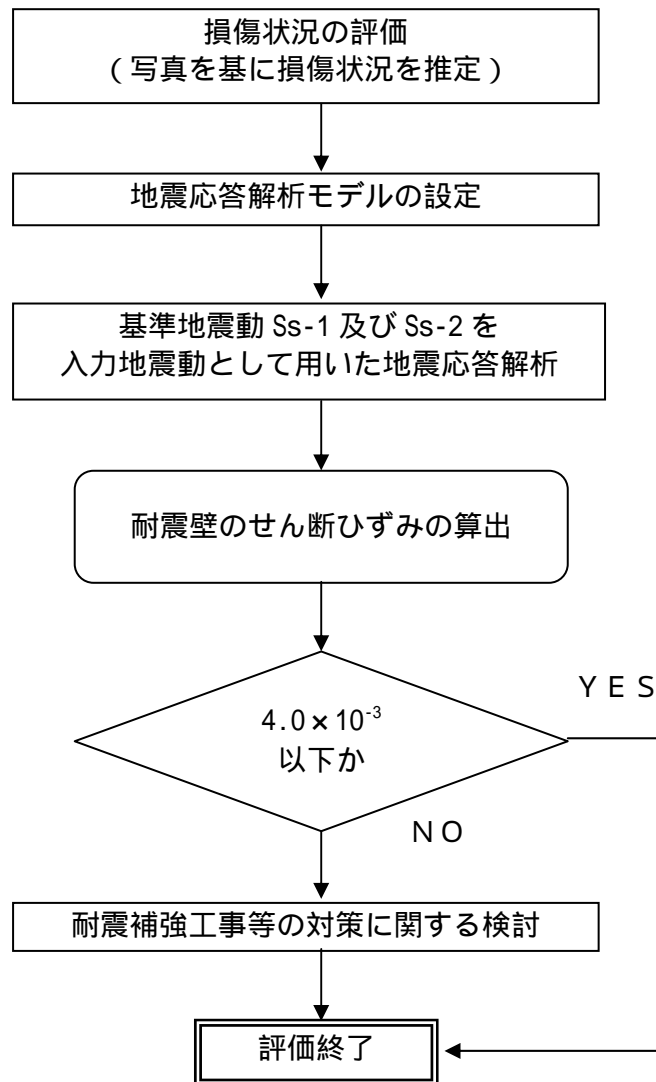


図-1.1 1号機原子炉建屋の地震応答解析の評価手順例

2. 損傷状況の評価

1号機原子炉建屋については、地震後の津波によって原子炉の冷却機能が喪失し、水素爆発等により原子炉建屋の一部が損傷している。原子炉建屋の損傷状況は写真を基に推定し、損傷状況を地震応答解析モデルに反映することとする。原子炉建屋の損傷状況は写真を基に推定し、損傷状況を地震応答解析モデルに反映することとする。また、外観写真から判断できない部位については、建屋内の調査結果等の現状で得られている情報に基づいて、損傷の有無を評価した。

各部位の損傷状況評価の考え方を下記に示す。

a. 外壁・屋根トラス

外観の写真から損傷を確認できるオペレーティングフロアより上の外壁・屋根トラスについては、損傷部位として評価した。なお、オペレーティングフロアより下部の外壁については、写真より損傷が確認できないため、損傷は無いものと評価した(図-2.1)。なお、写真は3月24日に撮影されたものを参考としているが、その後も外壁が崩落する等の変化は確認されていない。

b. その他部位

オペレーティングフロアより下部の外壁については損傷が確認されていないことから、オペレーティングフロアより下部の内壁等の部位についても損傷が無いものと評価した。



東面



西面



南面



北面

図-2.1 外壁の状況

3. 解析に用いる入力地震動

1号機原子炉建屋への入力地震動は、「福島第一原子力発電所『発電用原子炉施設に関する耐震設計審査指針』の改訂に伴う耐震安全性評価結果 中間報告書」(原管発官19第603号 平成20年3月31日付け)にて作成した解放基盤表面レベルに想定する基準地震動 Ss-1 及び Ss-2 を用いることとする。

地震応答解析に用いる入力地震動の概念図を図-3.1 に示す。モデルに入力する地震動は、一次元波動論に基づき、解放基盤表面レベルに想定する基準地震動 Ss に対する地盤の応答として評価する。また、建屋基礎底面レベルにおけるせん断力を入力地震動に付加することにより、地盤の切欠き効果を考慮する。

このうち、解放基盤表面位置(O.P. -196.0m)における基準地震動 Ss-1 及び Ss-2 の加速度波形について、図-3.2 に示す。

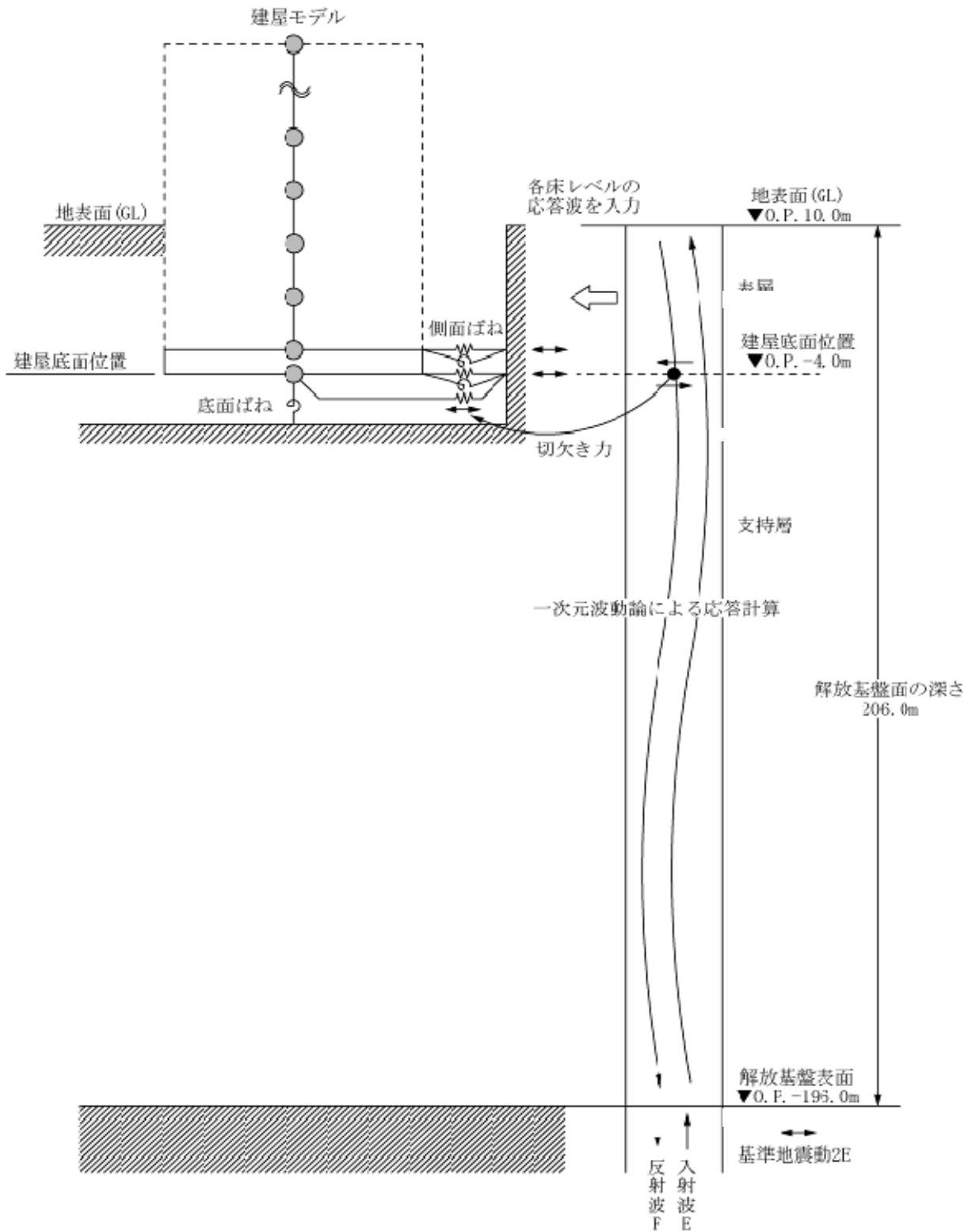


図-3.1 地震応答解析に用いる入力地震動の概念図

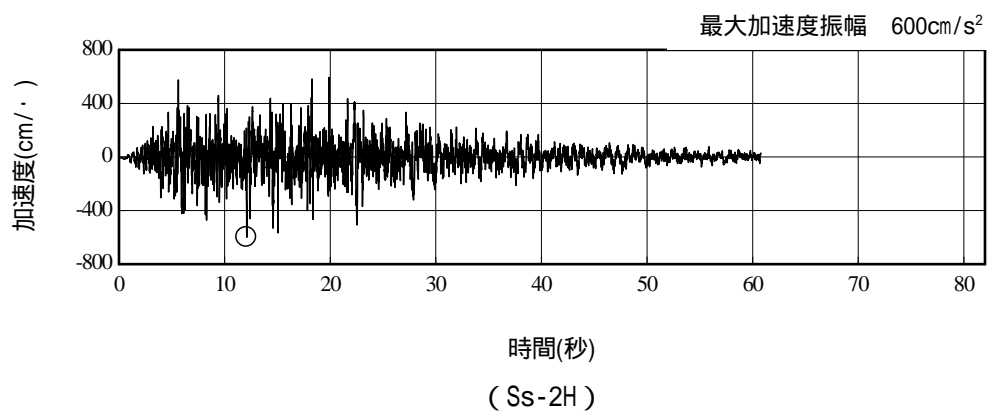
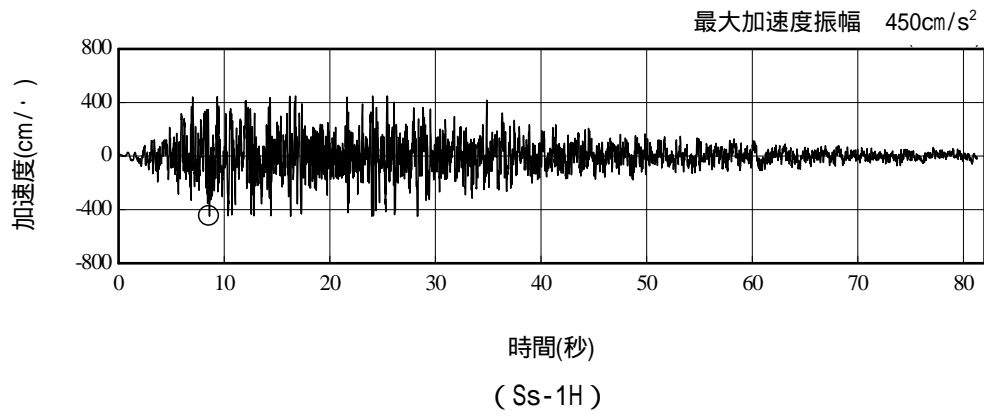


図-3.2 解放基盤表面位置における地震動の加速度時刻歴波形（水平方向）

4. 地震応答解析モデル

基準地震動 S_s に対する原子炉建屋の地震応答解析は、「3. 解析に用いる入力地震動」で算定した入力地震動を用いた動的解析による。

本検討では、「福島第一原子力発電所 『発電用原子炉施設に関する耐震設計審査指針』の改訂に伴う耐震安全性評価結果 中間報告書(改訂版)」(原管発官 21 第 110 号 平成 21 年 6 月 19 日付け)にて作成した地震応答解析モデルを基に、次の項目について修正を加え、新たな地震応答解析モデルを構築することとしている。

1号機原子炉建屋については、地震後の津波によって原子炉の冷却機能が喪失し、水素爆発等により原子炉建屋の一部が損傷していることから、「2. 損傷状況の評価」で評価した損傷状況を基に解析モデルを作成する。なお、オペレーティングフロア上部の損傷した鉄骨フレーム及び屋根はモデル化しないこととし、崩れた部分の重量は下階の床で支持されていると仮定する。1号機原子炉建屋の損傷状況(立面図)を図-4.1に、損傷状況(平面図)を図-4.2に示す。

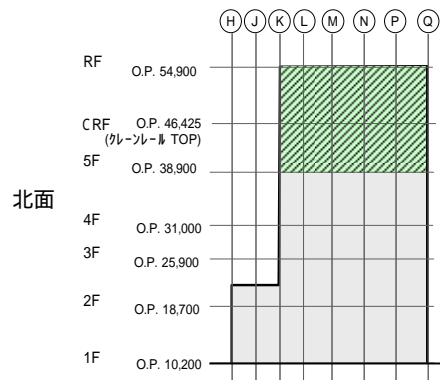
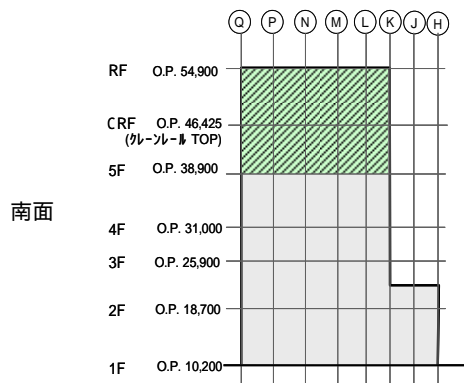
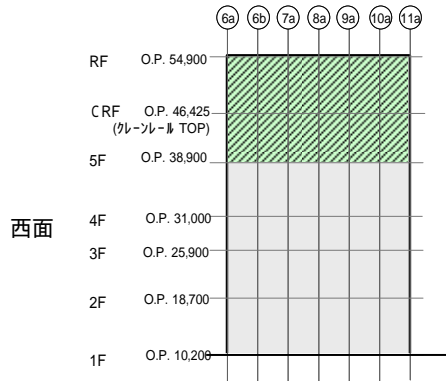
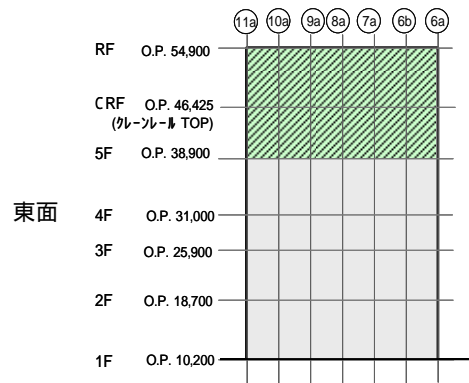
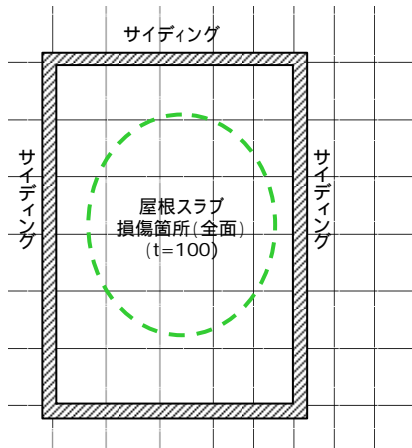
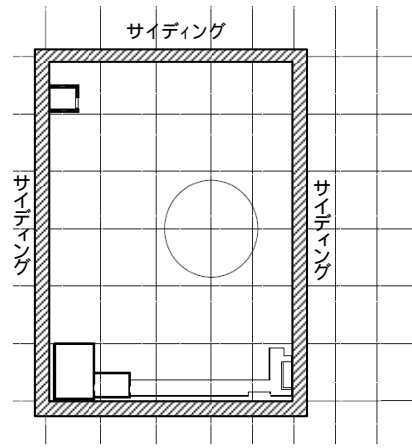


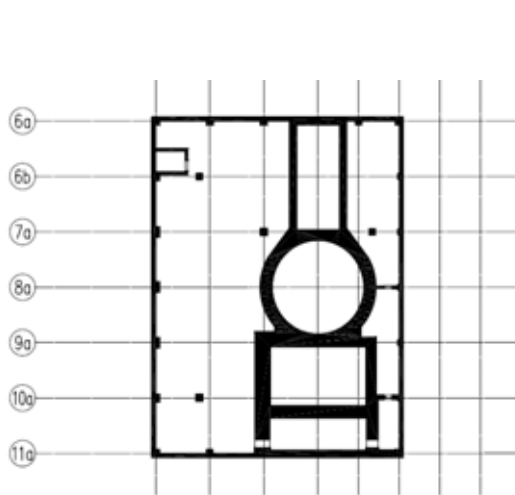
図-4.1 1号機原子炉建屋の損傷状況（立面図）



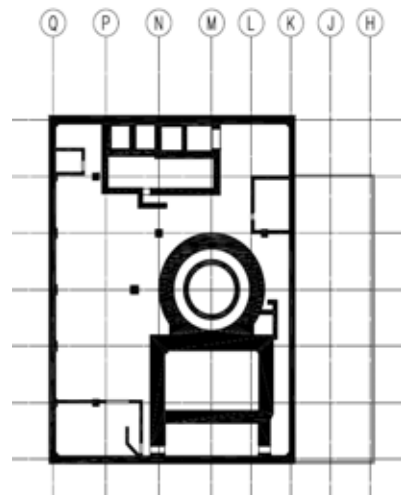
R階 (O.P. 54,900)



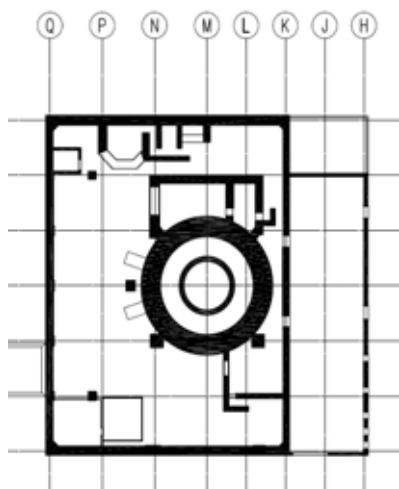
5階 (O.P. 38,900)



4階 (O.P. 31,000)



3階 (O.P. 25,900)



2階 (O.P. 18,7000)



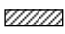

 : 外壁の損傷箇所
 : 床スラブの損傷箇所

図-4.2 1号機原子炉建屋の損傷状況(平面図)

(1) 水平方向の地震応答解析モデル

水平方向の地震応答解析モデルは、図-4.3 および図-4.4 に示すように、建屋を曲げ変形とせん断変形をする質点系とし、地盤を等価なばねで評価した建屋 - 地盤連成系モデルとする。建屋 - 地盤連成系としての効果は地盤ばねおよび入力地震動によって評価される。解析に用いるコンクリートの物性値を表-4.1 に、建屋解析モデルの諸元を表-4.2 に示す。

地盤定数は、水平成層地盤と仮定し、地震時のせん断ひずみレベルを考慮して定めた。解析に用いた地盤定数を表-4.3 に示す。

水平方向の解析モデルにおいて、基礎底面地盤ばねについては、「JEAG 4601-1991」に示された手法を参考にして、成層補正を行ったのち、振動アドミタンス理論に基づいて、スウェイおよびロッキングばね定数を近似的に評価する。また、埋め込み部分の建屋側面地盤ばねについては、建屋側面位置の地盤定数を用いて、水平および回転ばねを「JEAG 4601-1991」に示された手法を参考にして、Novak ばねに基づく近似法により評価する。

地盤ばねは振動数に依存した複素剛性として得られるが、図-4.5 に示すようにばね定数 (K_c) として実部の静的な値を、また、減衰係数 (C_c) として建屋 - 地盤連成系の 1 次固有振動数に対応する虚部の値と原点を結ぶ直線の傾きを採用することにより近似する。

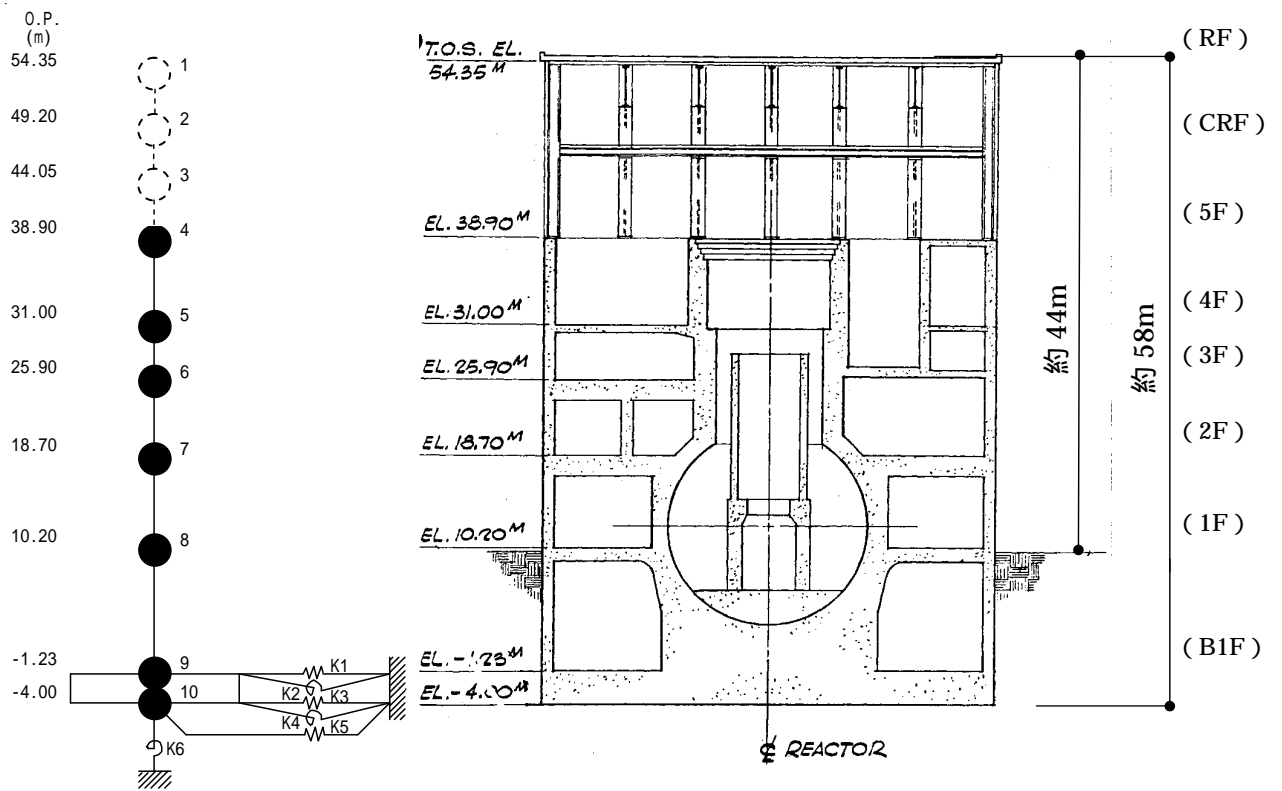


図-4.3 1号機原子炉建屋 地震応答解析モデル (NS方向)

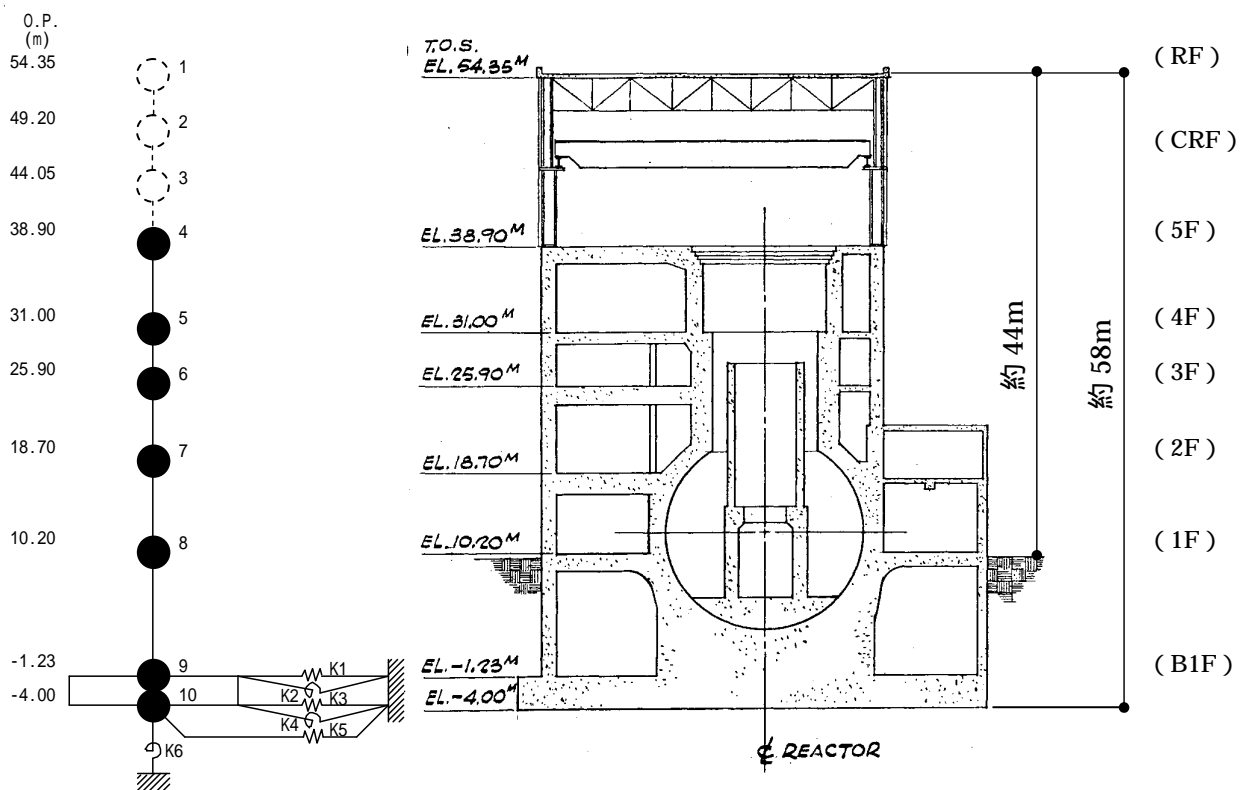


図-4.4 1号機原子炉建屋 地震応答解析モデル (EW方向)

表-4.1 地震応答解析に用いる物性値

コン クリ ート	強度*1 F _c (N/mm ²)	ヤング係数*2 E (N/mm ²)	せん断弾性係数*2 G (N/mm ²)	ポアソン 比	単位体積重量*3 (kN/m ³)
	35.0	2.57 × 10 ⁴	1.07 × 10 ⁴	0.2	24
鉄筋	SD345相当 (SD35)				
鋼材	SS400相当 (SS41)				

*1：強度は実状に近い強度（以下「実強度」という。）を採用した。実強度の設定は、過去の圧縮強度試験データを収集し試験データのばらつきを考慮し圧縮強度平均値を小さめにまとめた値とした。

*2：実強度に基づく値を示す。

*3：鉄筋コンクリートの値を示す。

表-4.2 建屋解析モデルの諸元

(NS 方向)

質点番号	質点重量 W(kN)	回転慣性重量 $I_G(\times 10^5 \text{kN}\cdot\text{m}^2)$	せん断断面積 $A_S(\text{m}^2)$	断面2次モーメント $I(\text{m}^4)$
1				
2				
3				
4	58,690	84.43		
5	67,910	97.77	135.0	16,012
6	77,220	111.11	160.8	21,727
7	87,200	125.53	132.8	24,274
8	146,020	210.16	155.6	36,481
9	147,070	211.73	294.0	52,858
10	62,400	89.83	1,914.3	275,530
合計	646,510	ヤング係数 E_C せん断弾性係数 G ポアソン比 減衰 h 基礎形状	2.57×10^7 (kN/m ²) 1.07×10^7 (kN/m ²) 0.20 5% (鉄骨部 2%) 41.56m(NS方向) × 43.56m(EW方向)	

(EW 方向)

質点番号	質点重量 W(kN)	回転慣性重量 $I_G(\times 10^5 \text{kN}\cdot\text{m}^2)$	せん断断面積 $A_S(\text{m}^2)$	断面2次モーメント $I(\text{m}^4)$
1				
2				
3				
4	58,690	48.34		
5	67,910	55.90	102.7	9,702
6	77,220	63.55	163.9	13,576
7	87,200	125.53	131.6	14,559
8	146,020	210.16	197.8	36,427
9	147,070	259.97	294.0	52,858
10	62,400	110.32	1,914.3	338,428
合計	646,510	ヤング係数 E_C せん断弾性係数 G ポアソン比 減衰 h 基礎形状	2.57×10^7 (kN/m ²) 1.07×10^7 (kN/m ²) 0.20 5% (鉄骨部 2%) 41.56m(NS方向) × 43.56m(EW方向)	

表-4.3 地盤定数

(Ss-1)

標高 O.P. (m)	地質	S波速度 Vs (m/s)	単位体積 重量 t (kN/m ³)	ポアソン比	初期せん断 弾性係数 G ₀ (kN/m ²)	剛性低下率 G/G ₀	せん断弾性 係数 G (kN/m ²)	剛性低下後 S波速度 Vs (m/s)	減衰定数 h (%)
10.0									
1.9	砂岩	380	17.8	0.473	262,000	0.85	223,000	351	3
-10.0	泥岩	450	16.5	0.464	341,000	0.78	266,000	398	3
-80.0		500	17.1	0.455	436,000		340,000	442	
-108.0		560	17.6	0.446	563,000		439,000	495	
-196.0		600	17.8	0.442	653,000		509,000	530	
	解放基盤	700	18.5	0.421	924,000	1.00	924,000	700	-

(Ss-2)

標高 O.P. (m)	地質	S波速度 Vs (m/s)	単位体積 重量 t (kN/m ³)	ポアソン比	初期せん断 弾性係数 G ₀ (kN/m ²)	剛性低下率 G/G ₀	せん断弾性 係数 G (kN/m ²)	剛性低下後 S波速度 Vs (m/s)	減衰定数 h (%)
10.0									
1.9	砂岩	380	17.8	0.473	262,000	0.85	223,000	351	3
-10.0	泥岩	450	16.5	0.464	341,000	0.81	276,000	405	3
-80.0		500	17.1	0.455	436,000		353,000	450	
-108.0		560	17.6	0.446	563,000		456,000	504	
-196.0		600	17.8	0.442	653,000		529,000	540	
	解放基盤	700	18.5	0.421	924,000	1.00	924,000	700	-

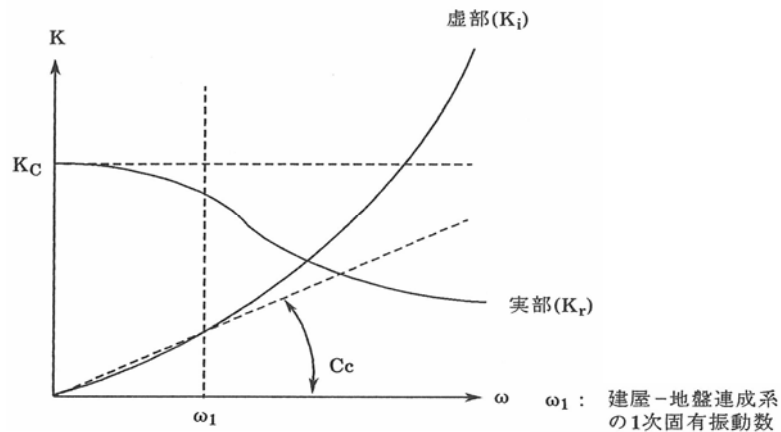


図-4.5 地盤ばねの近似

5. 地震応答解析結果

地震応答解析により求められた NS 方向，EW 方向の最大応答加速度を図-5.1 および図-5.2 に示す。

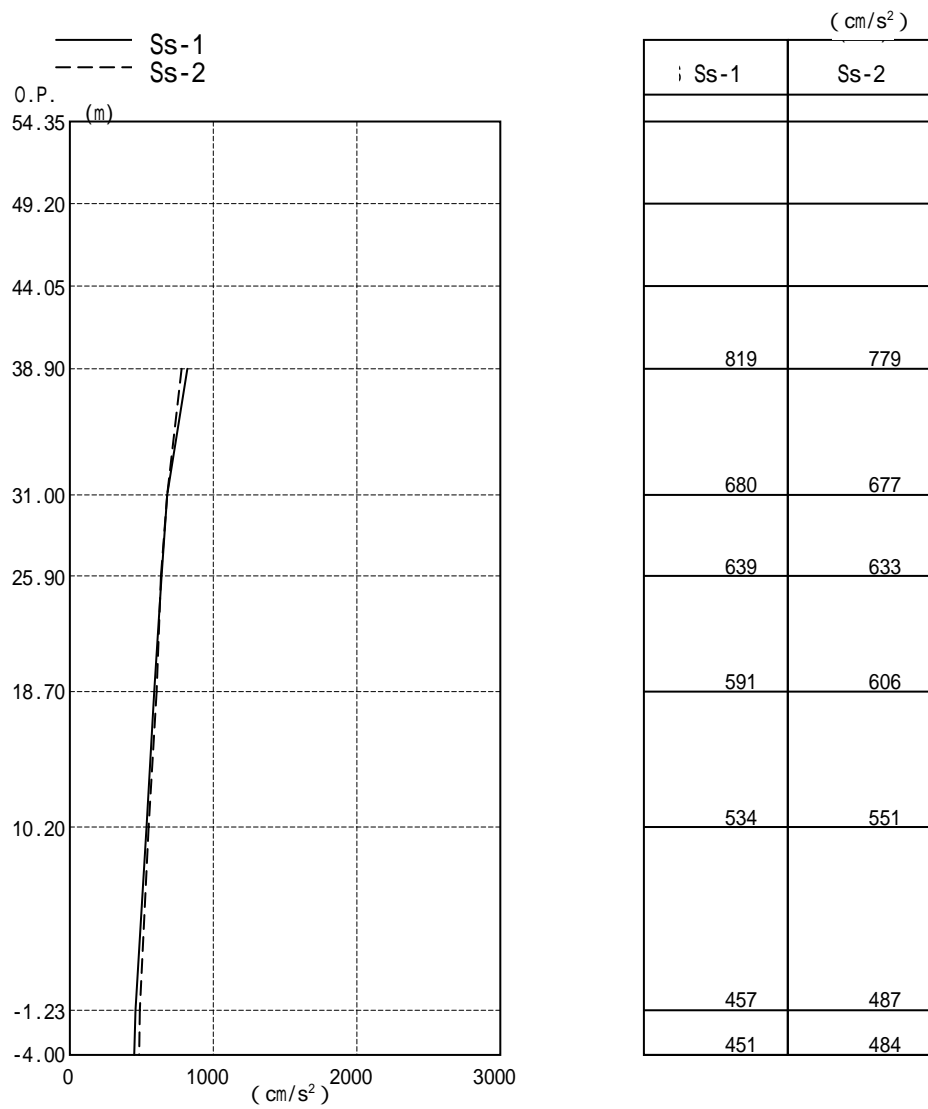


図-5.1 最大応答加速度 (NS 方向)

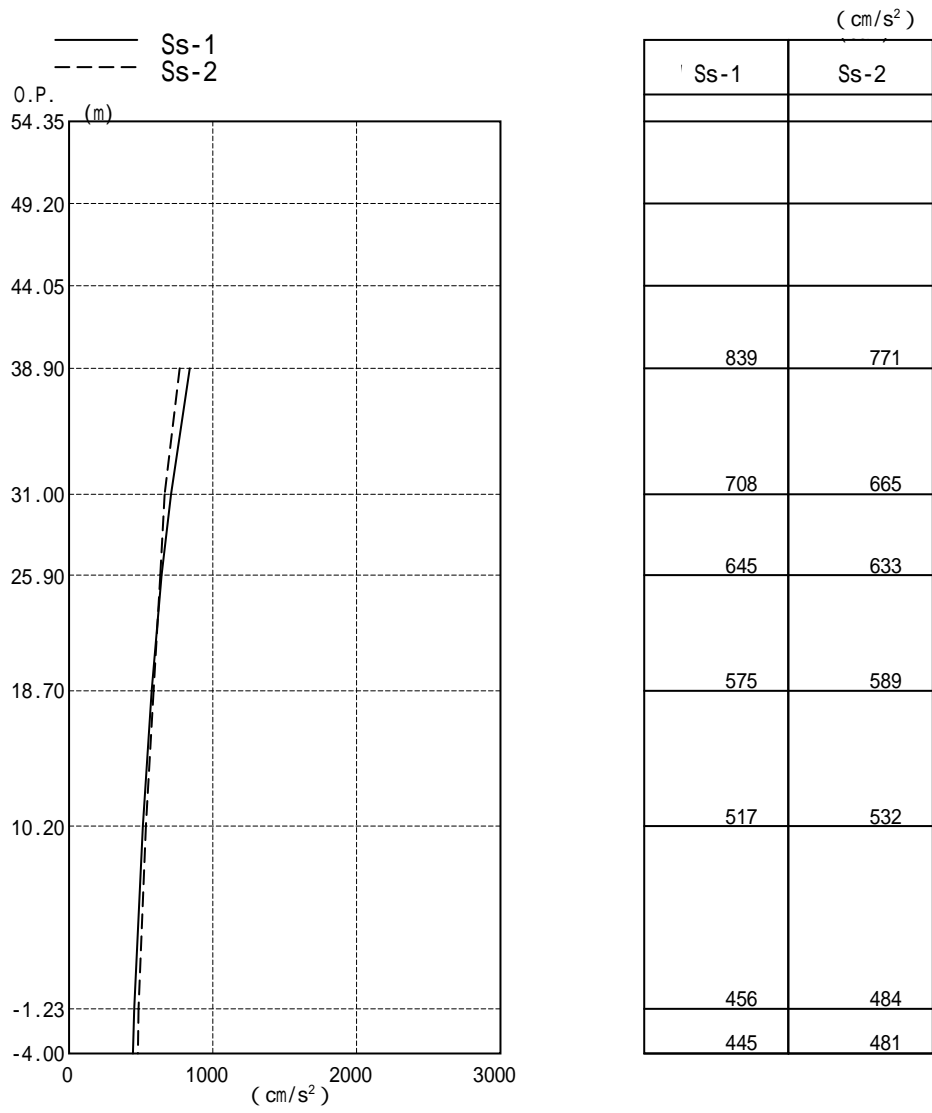


图-5.2 最大応答加速度 (EW 方向)

6. 耐震安全性評価結果

図-6.1, 図-6.2 及び図-6.3, 図-6.4 に基準地震動 Ss-1 及び基準地震動 Ss-2 に対する最大応答値を耐震壁のせん断スケルトン曲線上に示す。せん断ひずみは, 最大で 0.12×10^{-3} (Ss-1H 及び Ss-2H, NS 方向, 1F) であり, 評価基準値 (4.0×10^{-3}) に対して十分余裕がある。

以上のことから, 原子炉建屋は耐震安全上重要な設備に波及的影響を与えないものと評価した。

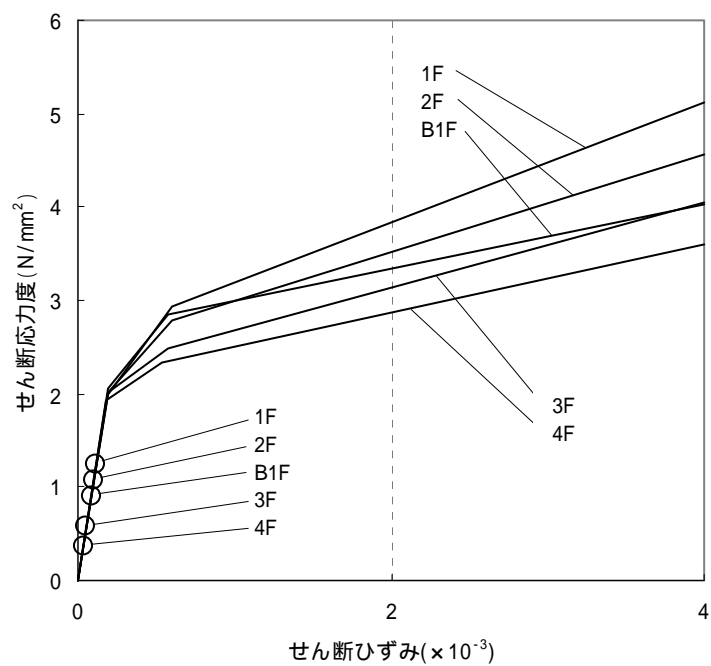


図-6.1 セン断スケルトン曲線上の最大応答値 (Ss-1, NS 方向)

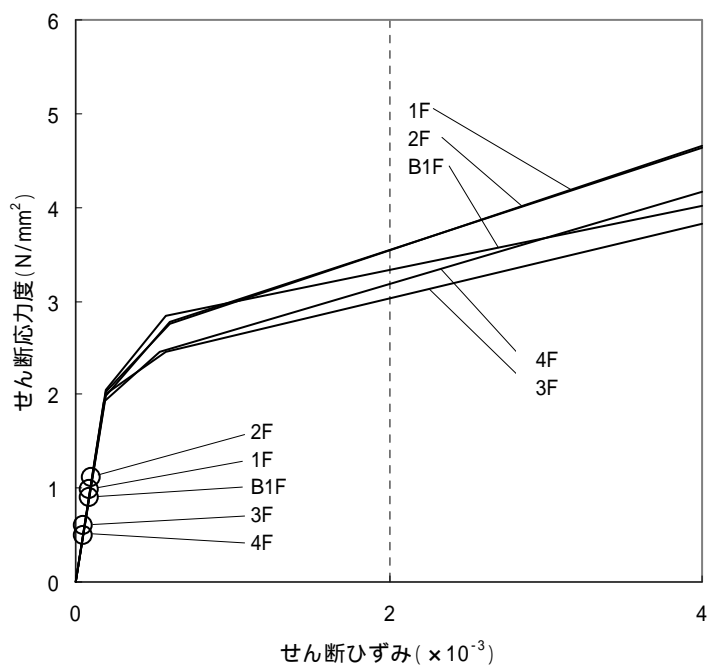


図-6.2 セン断スケルトン曲線上の最大応答値 (Ss-1, EW 方向)

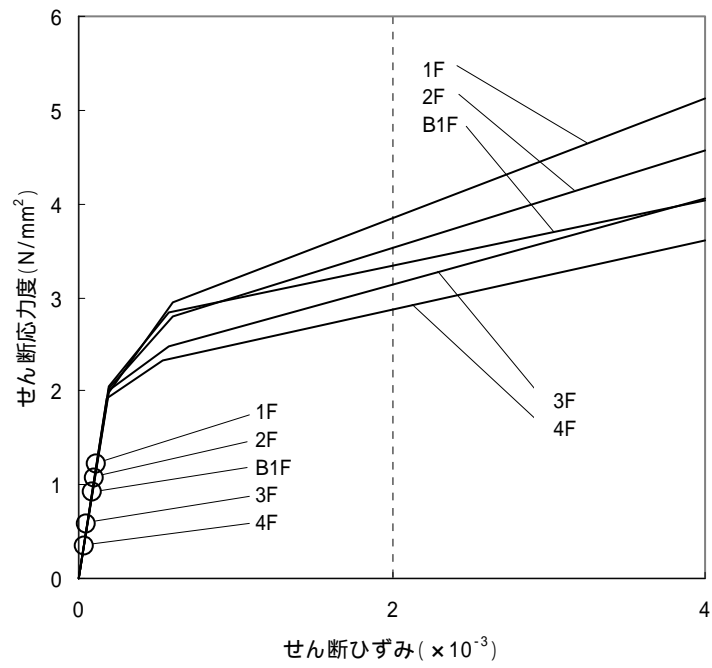


図-6.3 セン断スケルトン曲線上の最大応答値 (Ss-2, NS 方向)

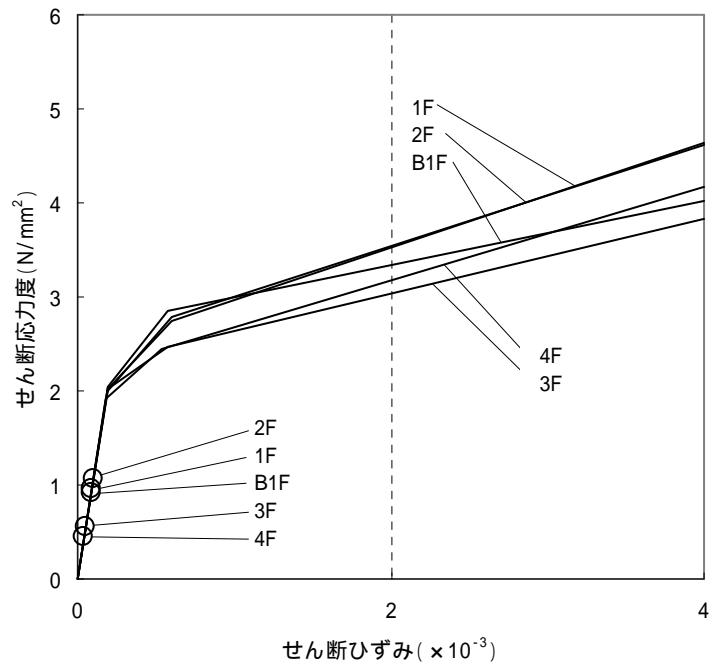


図-6.4 セン断スケルトン曲線上の最大応答値 (Ss-2, EW 方向)

『発電所原子炉施設に関する耐震設計審査指針』の改訂に伴う耐震安全性評価結果

「福島第一原子力発電所 『発電用原子炉施設に関する耐震設計審査指針』の改訂に伴う耐震安全性評価結果 中間報告書（改訂版）」（原管発官 21 第 110 号 平成 21 年 6 月 19 日付け）に記載している 1 号機原子炉建屋の耐震安全性評価結果を抜粋して以下に示す。

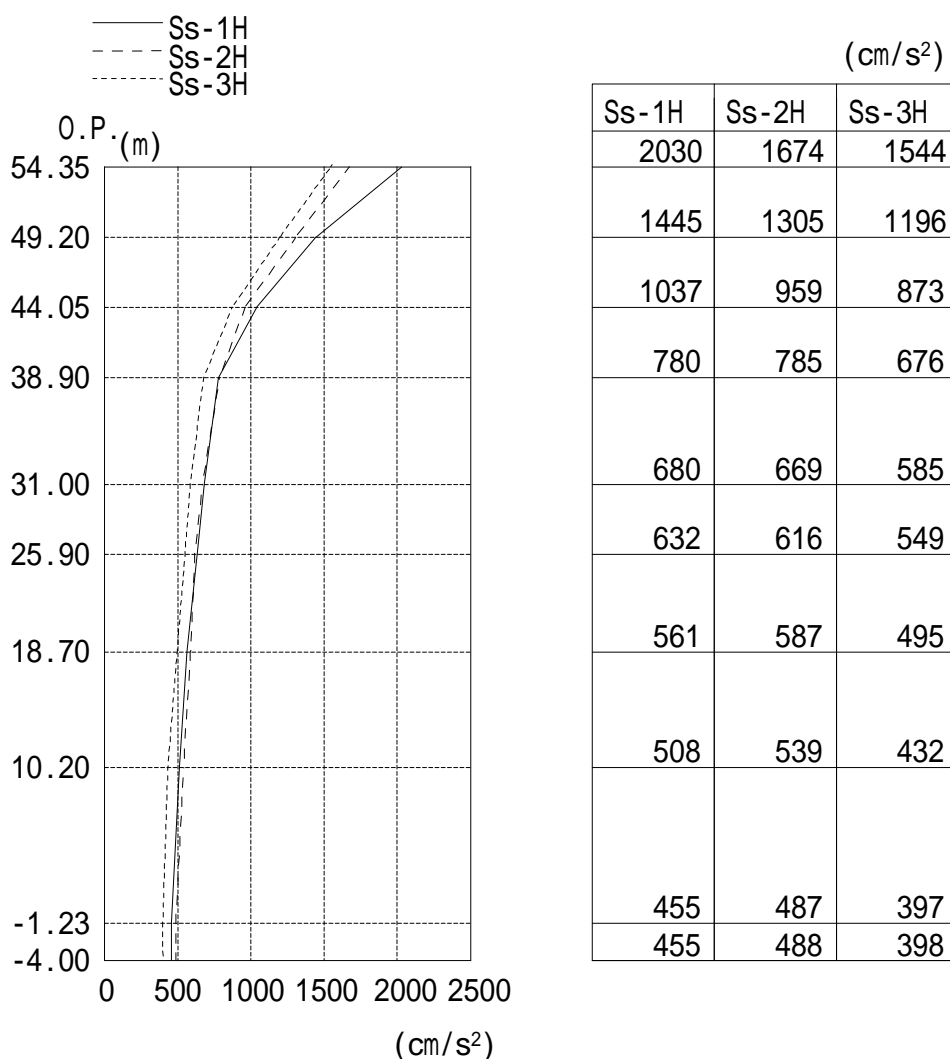


図-1 最大応答加速度（NS 方向）

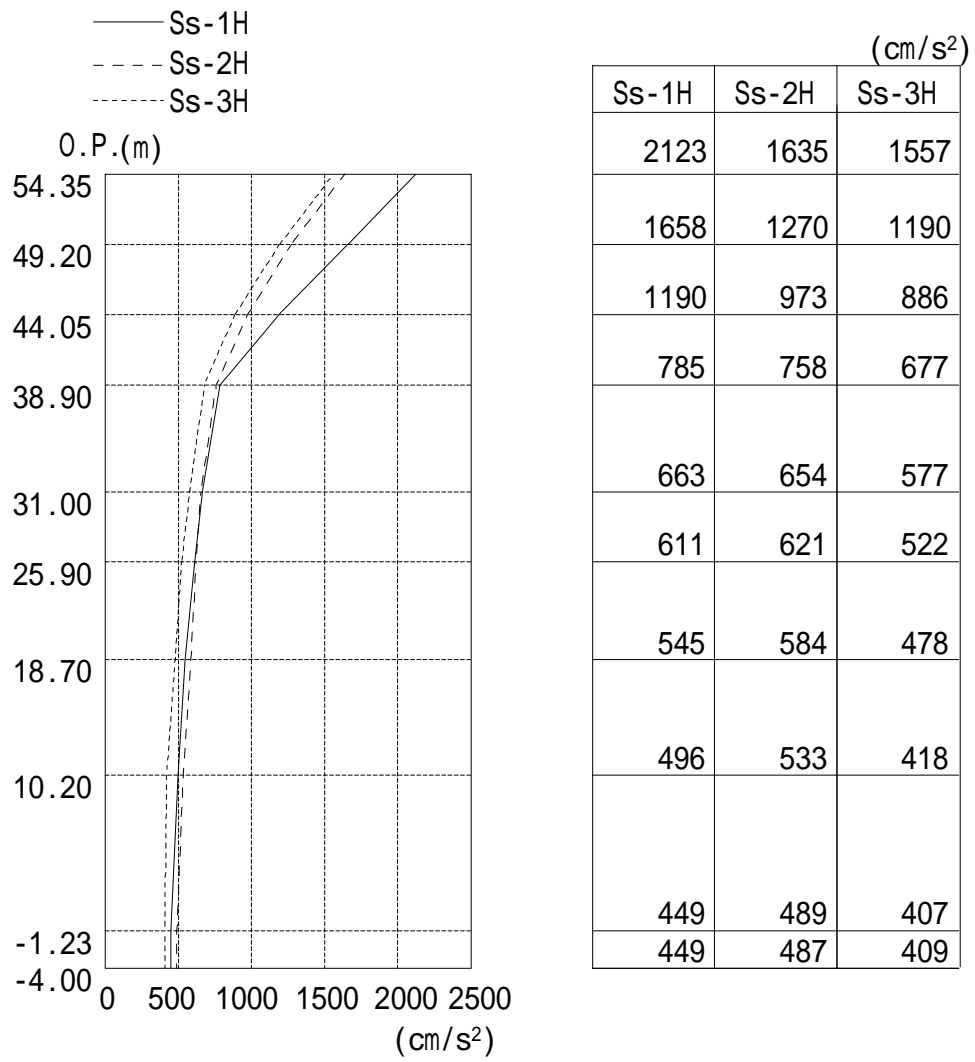


图-2 最大応答加速度 (EW 方向)

表-1 耐震壁のせん断ひずみ一覧（NS方向）

階	Ss-1H	Ss-2H	Ss-3H	($\times 10^{-3}$)
				評価基準値
4F	0.04	0.04	0.03	2.0以下
3F	0.06	0.06	0.05	
2F	0.10	0.10	0.09	
1F	0.12	0.12	0.10	
B1F	0.08	0.09	0.07	

表-2 耐震壁のせん断ひずみ一覧（EW方向）

階	Ss-1H	Ss-2H	Ss-3H	($\times 10^{-3}$)
				評価基準値
4F	0.05	0.05	0.04	2.0以下
3F	0.06	0.05	0.05	
2F	0.10	0.10	0.09	
1F	0.09	0.09	0.08	
B1F	0.08	0.09	0.07	

以上

添付資料 - 2 : 「福島第一原子力発電所第 1 号機における燃料域上部まで
原子炉格納容器を水で満たす措置の実施に係る報告書」
(平成 23 年 5 月 5 日)からの一部抜粋

原子炉格納容器内の水位上昇に伴う原子炉建屋の構造への影響及び耐震性評価結果

1. 解析評価方針

原子炉格納容器内の水位上昇に伴う原子炉建屋の構造への影響及び耐震性評価は、設計用地震力（基準地震動 S_s による地震力）を用いることを基本とし、建物・構築物や地盤の応答性を適切に表現できるモデルを設定した上で行う。なお、基準地震動 S_s-3 については、基準地震動 S_s-1 及び S_s-2 の応答結果に比べて、過去の計算例から明らかに小さいことが分かっているため、今回の検討では省略することとする。

地震応答解析モデルは、地盤との相互作用を考慮し、曲げおよびせん断剛性を考慮した質点系モデルとする。

1号機原子炉建屋については、地震後の津波によって原子炉の冷却機能が喪失し、水素爆発等により原子炉建屋の一部が損傷している。ここでは、原子炉建屋の損傷状況は写真を基に推定し、損傷状況を地震応答解析モデルに反映することとする。

なお、原子炉格納容器内の水位上昇に伴う質量増分は原子炉建屋モデルの質点に質量を加算する。

原子炉建屋の構造への影響及び耐震性の評価は、耐震安全上重要な設備への波及的影響防止の観点から、地震応答解析により得られた耐震壁のせん断ひずみと、鉄筋コンクリート造の耐震壁の終局限界に対応した評価基準値（ 4.0×10^{-3} ）との比較により行う。

なお、鉄筋コンクリート造の耐震壁の終局限界に対しては、水平方向の地震力が支配的であり、鉛直方向の地震力の影響は少ないことから、地震応答解析は水平方向のみ実施する。

上記の検討により、耐震余裕度が比較的少ない場合には、さらに詳細な検討を行うこととする。

1号機原子炉建屋の地震応答解析の評価手順例を、図-1.1 に示す。

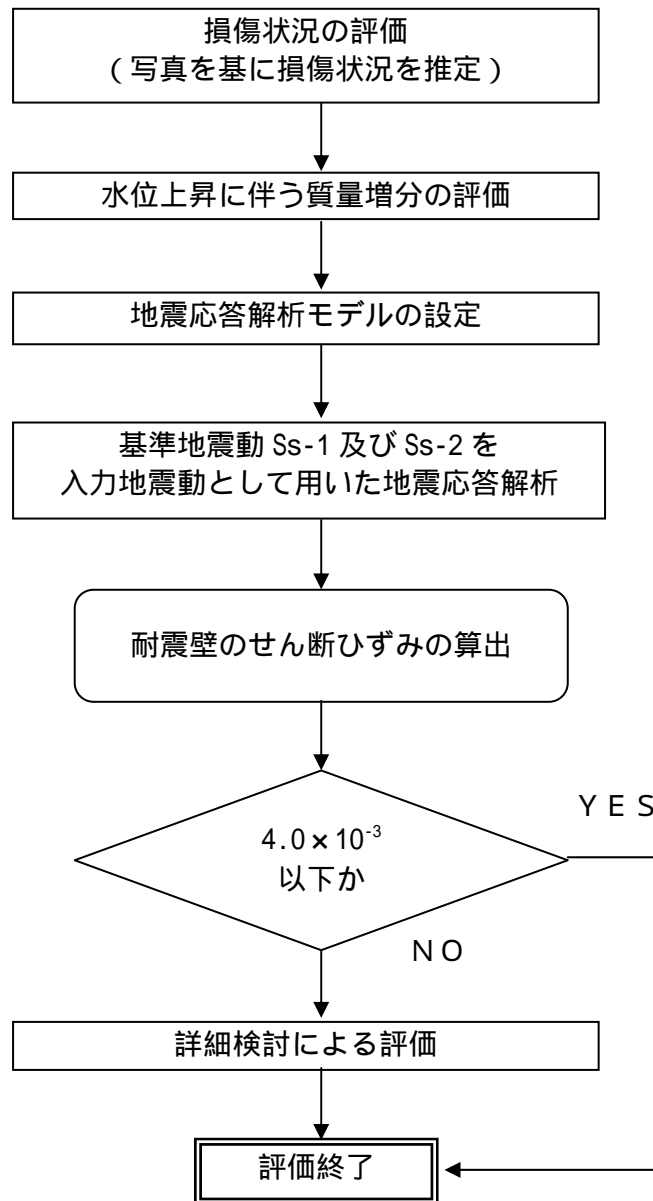


図-1.1 1号機原子炉建屋の地震応答解析の評価手順例

2. 解析に用いる入力地震動

1号機原子炉建屋への入力地震動は、「福島第一原子力発電所『発電用原子炉施設に関する耐震設計審査指針』の改訂に伴う耐震安全性評価結果 中間報告書」(原管発官19第603号 平成20年3月31日付け)にて作成した解放基盤表面レベルに想定する基準地震動 Ss-1 及び Ss-2 を用いることとする。

地震応答解析に用いる入力地震動の概念図を図-2.1 に示す。モデルに入力する地震動は、一次元波動論に基づき、解放基盤表面レベルに想定する基準地震動 Ss に対する地盤の応答として評価する。また、建屋基礎底面レベルにおけるせん断力を入力地震動に付加することにより、地盤の切欠き効果を考慮する。

このうち、解放基盤表面位置(O.P. -196.0m)における基準地震動 Ss-1 及び Ss-2 の加速度波形について、図-2.2 に示す。

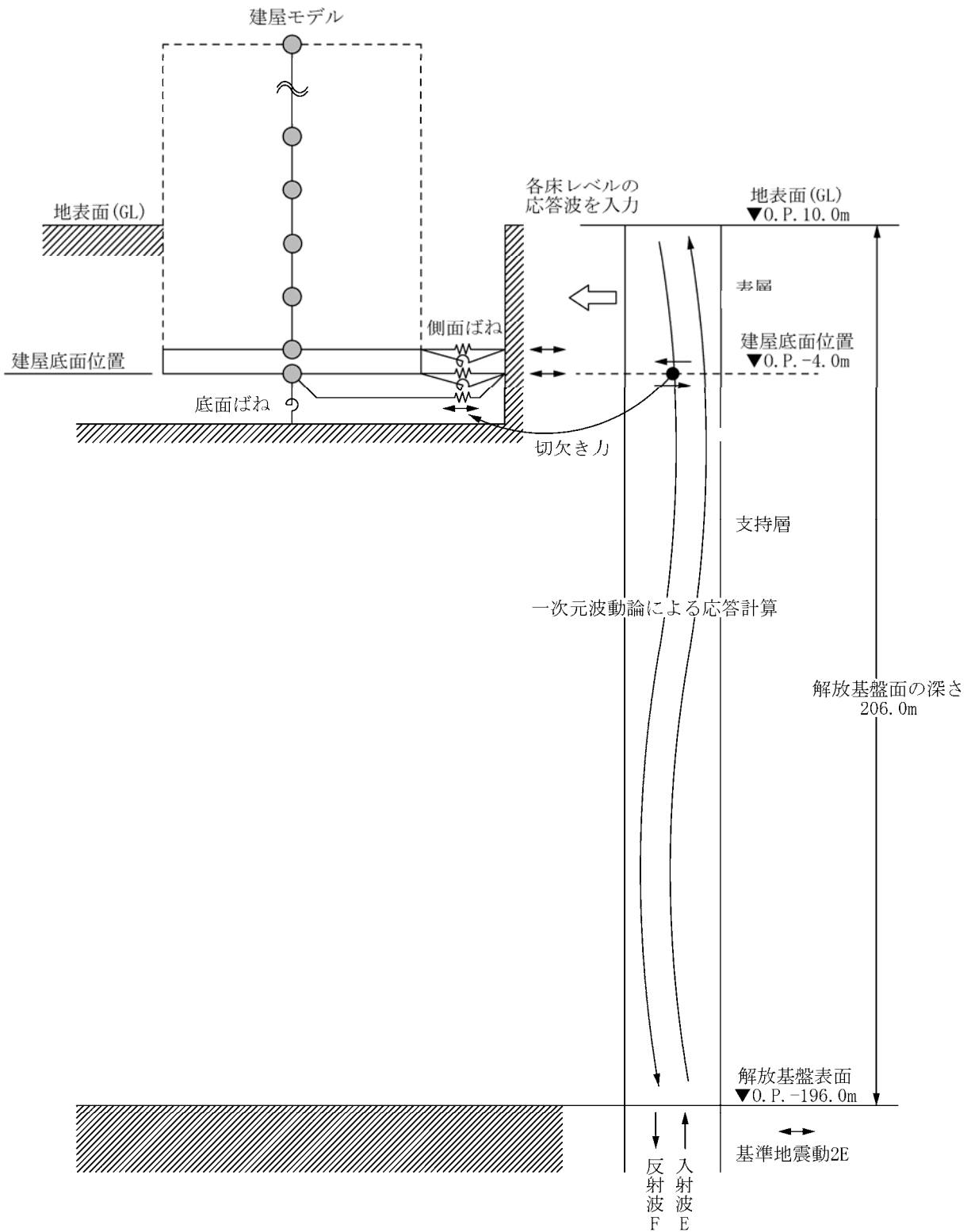


図-2.1 地震応答解析に用いる入力地震動の概念図

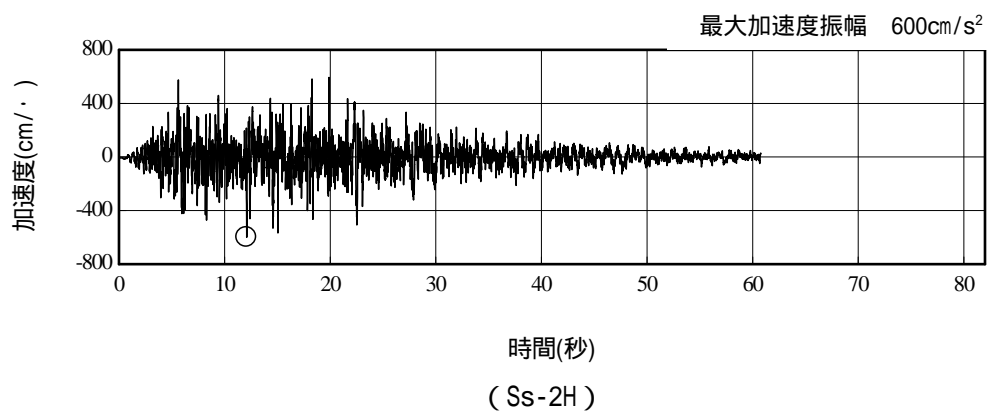
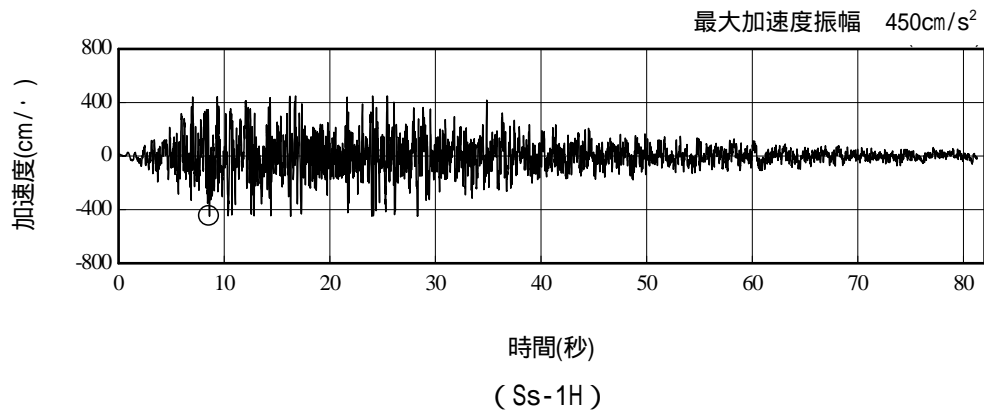


図-2.2 解放基盤表面位置における地震動の加速度時刻歴波形（水平方向）

3. 地震応答解析モデル

基準地震動 S_s に対する原子炉建屋の地震応答解析は、「2. 解析に用いる入力地震動」で算定した入力地震動を用いた動的解析による。

本検討では、「福島第一原子力発電所 『発電用原子炉施設に関する耐震設計審査指針』の改訂に伴う耐震安全性評価結果 中間報告書(改訂版)」(原管発官 21 第 110 号 平成 21 年 6 月 19 日付け)にて作成した地震応答解析モデルを基に、次の 2 項目について修正を加え、新たな地震応答解析モデルを構築することとしている。

1号機原子炉建屋については、地震後の津波によって原子炉の冷却機能が喪失し、水素爆発等により原子炉建屋の一部が損傷している。原子炉建屋の損傷状況は写真を基に推定し、オペレーティングフロア上部の損傷した鉄骨フレーム及び屋根はモデル化しないこととする。また、崩れた部分の重量は下階の床で支持されていると仮定する。1号機原子炉建屋の損傷状況(立面図)を図-3.1に、損傷状況(平面図)を図-3.2に示す。

原子炉格納容器内の水位上昇に伴う質量増分は、原子炉格納容器と原子炉建屋との接合部位における地震力の伝達を考慮した上で、原子炉建屋モデルの複数の質点に質量を分配して加算する。

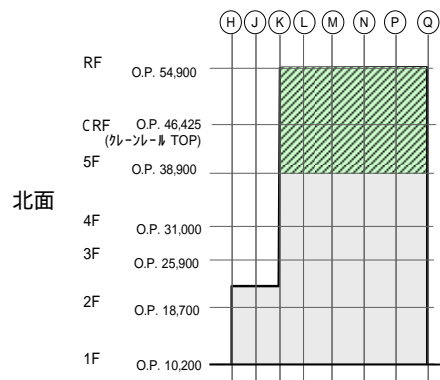
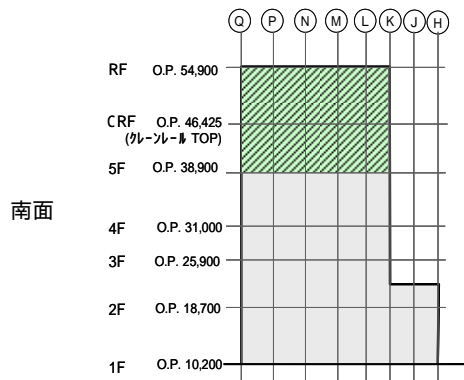
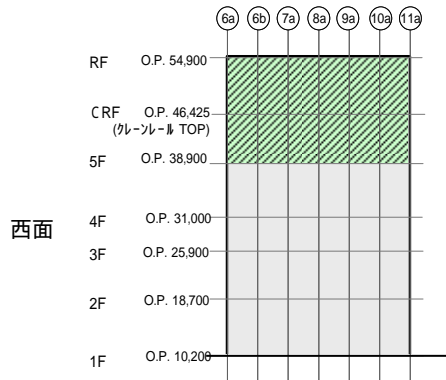
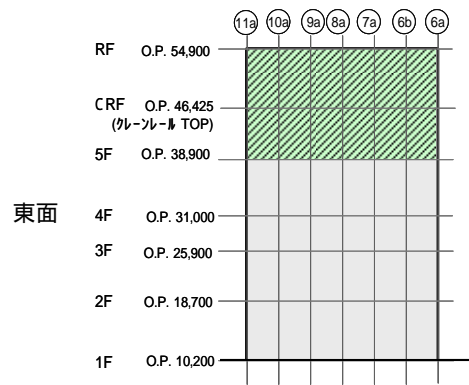
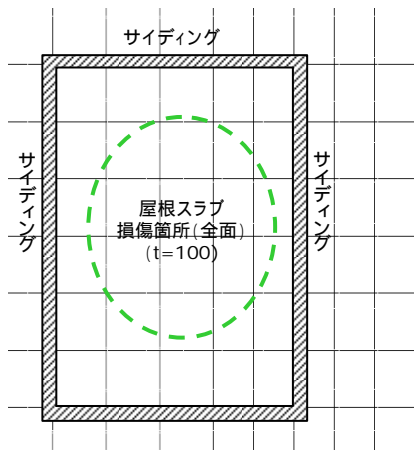
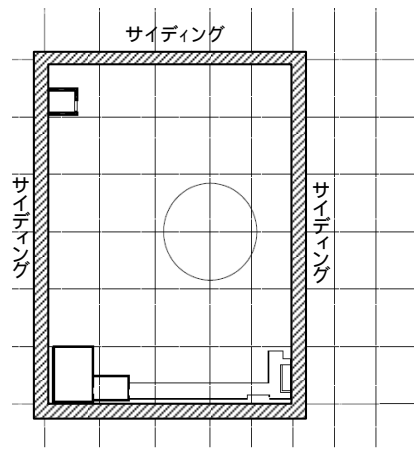


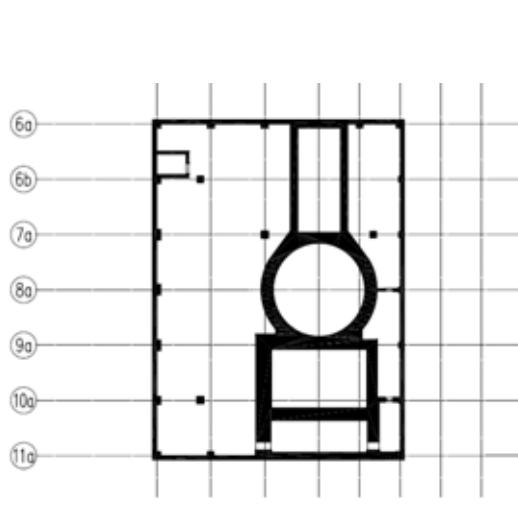
図-3.1 1号機原子炉建屋の損傷状況（立面図）



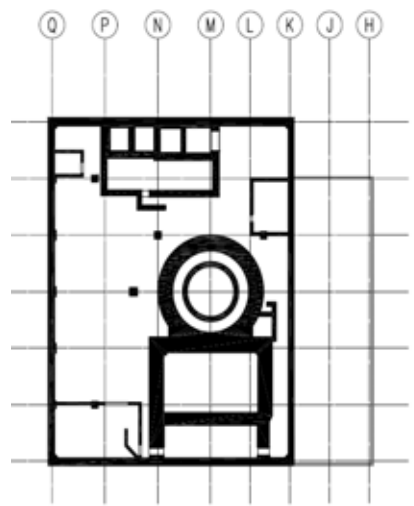
R階 (O.P. 54,900)



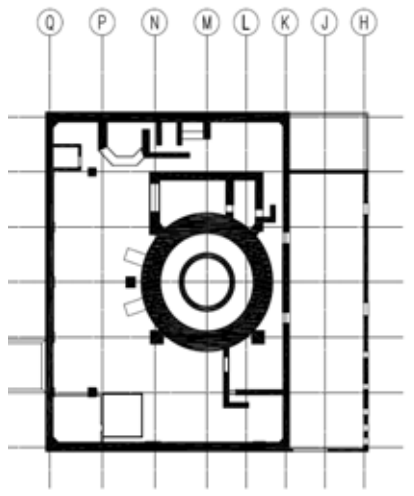
5階 (O.P. 38,900)



4階 (O.P. 31,000)



3階 (O.P. 25,900)



2階 (O.P. 18,7000)



- : 外壁の損傷箇所
- : 床スラブの損傷箇所

図-3.2 1号機原子炉建屋の損傷状況(平面図)

(1) 水平方向の地震応答解析モデル

水平方向の地震応答解析モデルは、図-3.3 および図-3.4 に示すように、建屋を曲げ変形とせん断変形をする質点系とし、地盤を等価なばねで評価した建屋 - 地盤連成系モデルとする。建屋 - 地盤連成系としての効果は地盤ばねおよび入力地震動によって評価される。解析に用いるコンクリートの物性値を表-3.1 に、建屋解析モデルの諸元を表-3.2 に示す。

地盤定数は、水平成層地盤と仮定し、地震時のせん断ひずみレベルを考慮して定めた。解析に用いた地盤定数を表-3.3 に示す。

水平方向の解析モデルにおいて、基礎底面地盤ばねについては、「JEAG 4601-1991」に示された手法を参考にして、成層補正を行ったのち、振動アドミタンス理論に基づいて、スウェイおよびロッキングばね定数を近似的に評価する。また、埋め込み部分の建屋側面地盤ばねについては、建屋側面位置の地盤定数を用いて、水平および回転ばねを「JEAG 4601-1991」に示された手法を参考にして、Novak ばねに基づく近似法により評価する。

地盤ばねは振動数に依存した複素剛性として得られるが、図-3.5 に示すようにばね定数 (K_c) として実部の静的な値を、また、減衰係数 (C_c) として建屋 - 地盤連成系の 1 次固有振動数に対応する虚部の値と原点を結ぶ直線の傾きを採用することにより近似する。

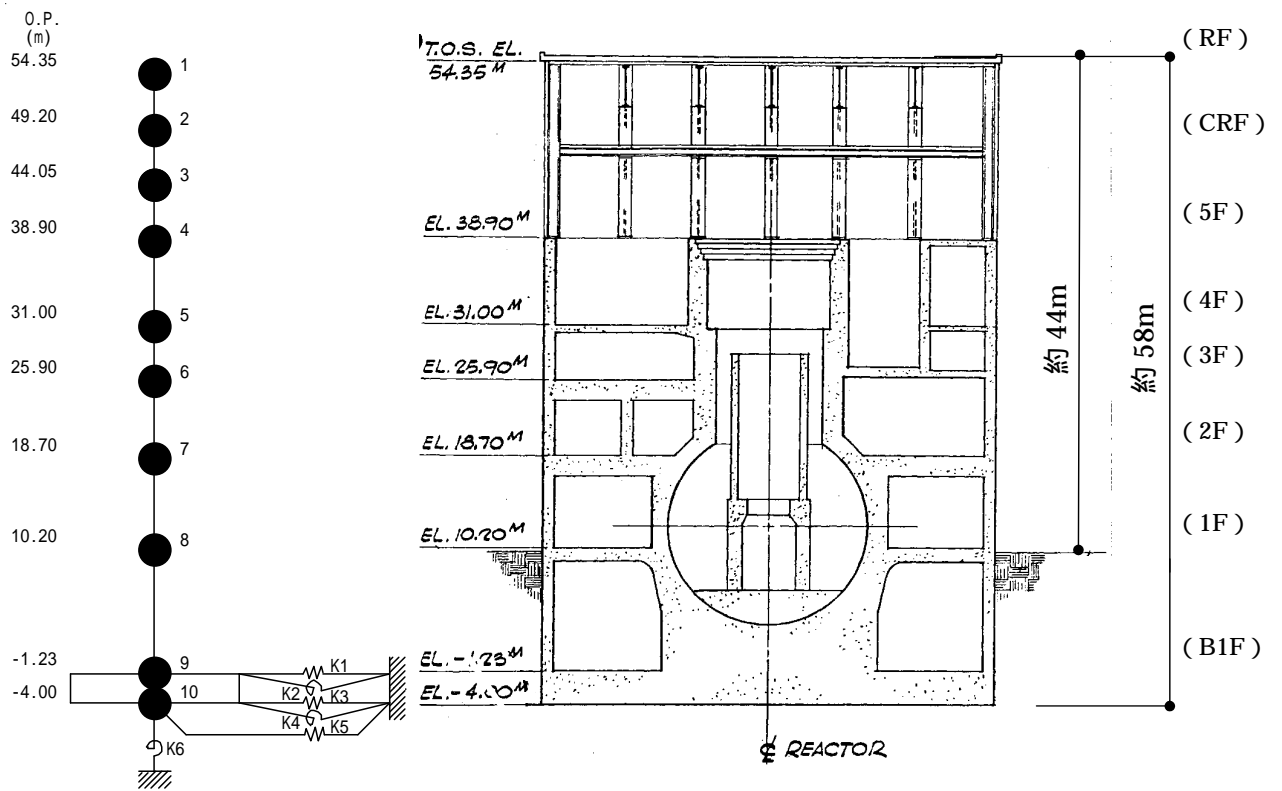


図-3.3 1号機原子炉建屋 地震応答解析モデル (NS方向)

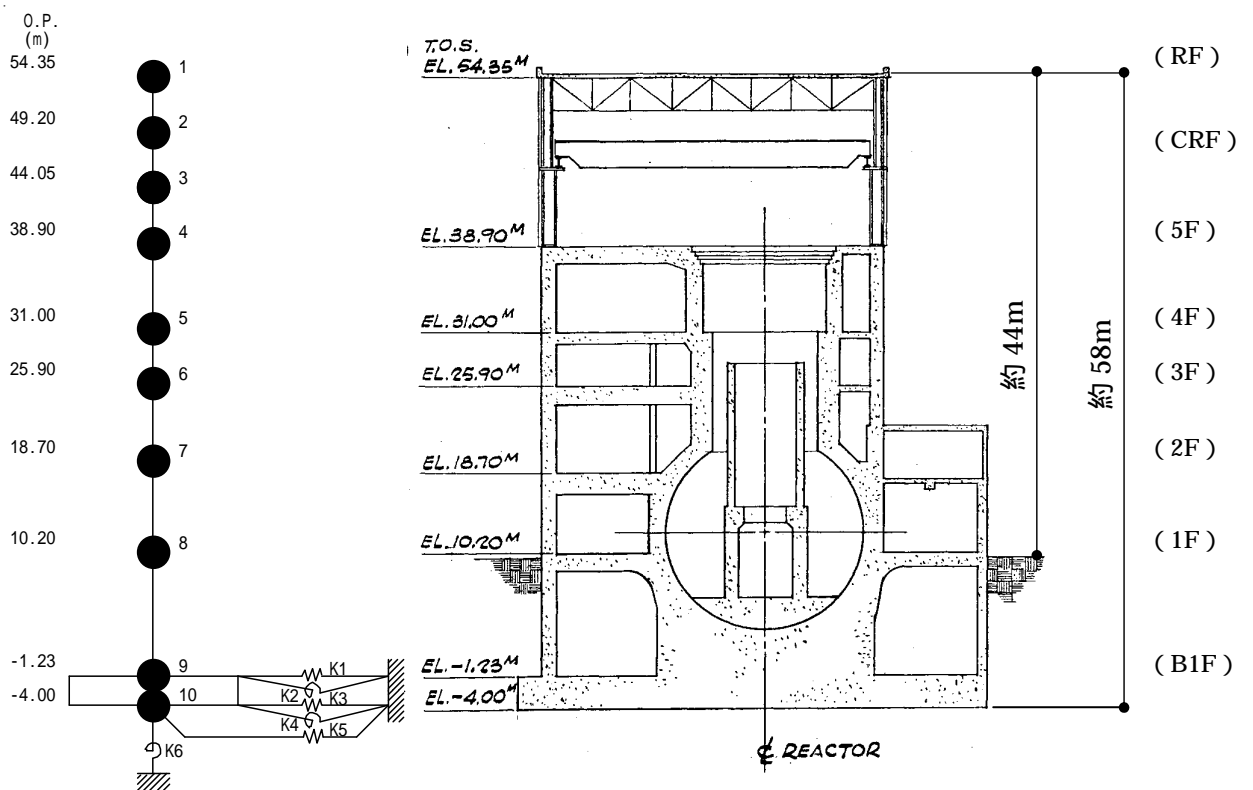


図-3.4 1号機原子炉建屋 地震応答解析モデル (EW方向)

表-3.1 地震応答解析に用いる物性値

コン クリ ート	強度*1 F _c (N/mm ²)	ヤング係数*2 E (N/mm ²)	せん断弾性係数*2 G (N/mm ²)	ポアソン 比	単位体積重量*3 (kN/m ³)
	35.0	2.57 × 10 ⁴	1.07 × 10 ⁴	0.2	24
鉄筋	SD345相当 (SD35)				
鋼材	SS400相当 (SS41)				

*1：強度は実状に近い強度（以下「実強度」という。）を採用した。実強度の設定は、過去の圧縮強度試験データを収集し試験データのばらつきを考慮し圧縮強度平均値を小さめにまとめた値とした。

*2：実強度に基づく値を示す。

*3：鉄筋コンクリートの値を示す。

表-3.2 建屋解析モデルの諸元

(NS 方向)

質点番号	質点重量 *1 W(kN)	回転慣性重量 *1 $I_G(\times 10^9 \text{kN}\cdot\text{m}^2)$	せん断断面積 $A_S(\text{m}^2)$	断面2次モーメント $I(\text{m}^4)$
1				
2				
3				
4	58,690	84.43		
5	67,910	97.77	135.0	16,012
6	80,900 (3,680)	116.41 (5.30)	160.8	21,727
7	87,200	125.53	132.8	24,274
8	166150 (20,130)	239.13 (28.97)	155.6	36,481
9	177,480 (30,410)	255.51 (43.78)	294.0	52,858
10	62,400	89.83	1,914.3	275,530
合計	700,730 (54,220)	ヤング係数 E_C せん断弾性係数 G	2.57×10^7 (kN/m ²) 1.07×10^7 (kN/m ²)	

ポアソン比 0.20
減衰 h 5% (鉄骨部 2%)
基礎形状 41.56m(NS方向) × 43.56m(EW方向)

*1: () は原子炉格納容器内の水位上昇による増分を示す

(EW 方向)

質点番号	質点重量 *1 W(kN)	回転慣性重量 *1 $I_G(\times 10^9 \text{kN}\cdot\text{m}^2)$	せん断断面積 $A_S(\text{m}^2)$	断面2次モーメント $I(\text{m}^4)$
1				
2				
3				
4	58,690	48.34		
5	67,910	55.90	102.7	9,702
6	80,900 (3,680)	66.58 (3.03)	163.9	13,576
7	87,200	125.53	131.6	14,559
8	166150 (20,130)	239.13 (28.97)	197.8	36,427
9	177,480 (30,410)	313.72 (53.75)	294.0	52,858
10	62,400	110.32	1,914.3	338,428
合計	700,730 (54,220)	ヤング係数 E_C せん断弾性係数 G	2.57×10^7 (kN/m ²) 1.07×10^7 (kN/m ²)	

ポアソン比 0.20
減衰 h 5% (鉄骨部 2%)
基礎形状 41.56m(NS方向) × 43.56m(EW方向)

*1: () は原子炉格納容器内の水位上昇による増分を示す

表-3.3 地盤定数

(Ss-1)

標高 O.P. (m)	地質	S波速度 Vs (m/s)	単位体積 重量 t (kN/m ³)	ポアソン比	初期せん断 弾性係数 G ₀ (kN/m ²)	剛性低下率 G/G ₀	せん断弾性 係数 G (kN/m ²)	剛性低下後 S波速度 Vs (m/s)	減衰定数 h (%)
10.0									
1.9	砂岩	380	17.8	0.473	262,000	0.85	223,000	351	3
-10.0	泥岩	450	16.5	0.464	341,000	0.78	266,000	398	3
-80.0		500	17.1	0.455	436,000		340,000	442	
-108.0		560	17.6	0.446	563,000		439,000	495	
-196.0		600	17.8	0.442	653,000		509,000	530	
	解放基盤	700	18.5	0.421	924,000	1.00	924,000	700	-

(Ss-2)

標高 O.P. (m)	地質	S波速度 Vs (m/s)	単位体積 重量 t (kN/m ³)	ポアソン比	初期せん断 弾性係数 G ₀ (kN/m ²)	剛性低下率 G/G ₀	せん断弾性 係数 G (kN/m ²)	剛性低下後 S波速度 Vs (m/s)	減衰定数 h (%)
10.0									
1.9	砂岩	380	17.8	0.473	262,000	0.85	223,000	351	3
-10.0	泥岩	450	16.5	0.464	341,000	0.81	276,000	405	3
-80.0		500	17.1	0.455	436,000		353,000	450	
-108.0		560	17.6	0.446	563,000		456,000	504	
-196.0		600	17.8	0.442	653,000		529,000	540	
	解放基盤	700	18.5	0.421	924,000	1.00	924,000	700	-

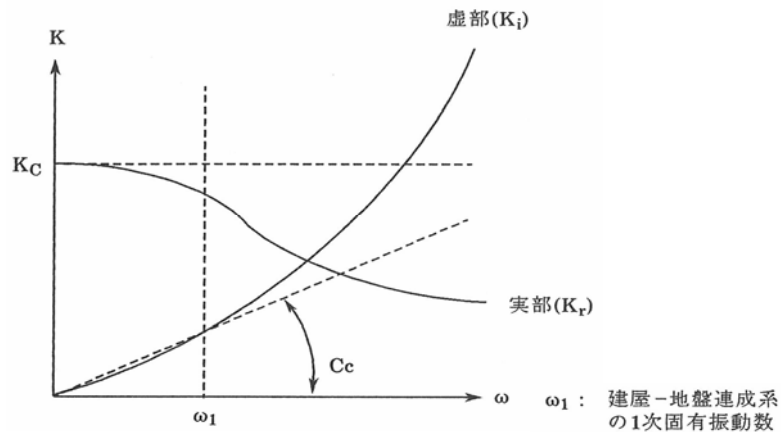


図-1.3.5 地盤ばねの近似

4. 地震応答解析結果

地震応答解析により求められた NS 方向，EW 方向の最大応答加速度を図-4.1 および図-4.2 に示す。

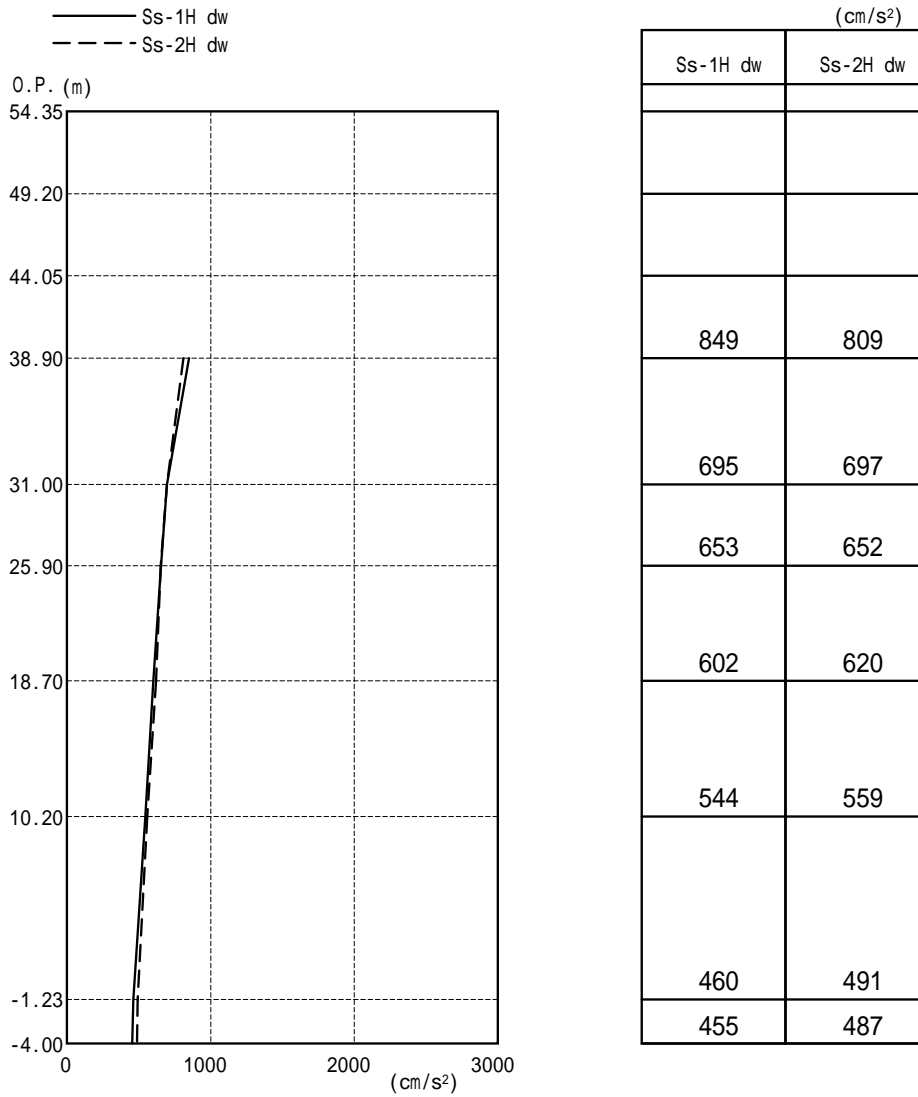


図-4.1 最大応答加速度 (NS 方向)

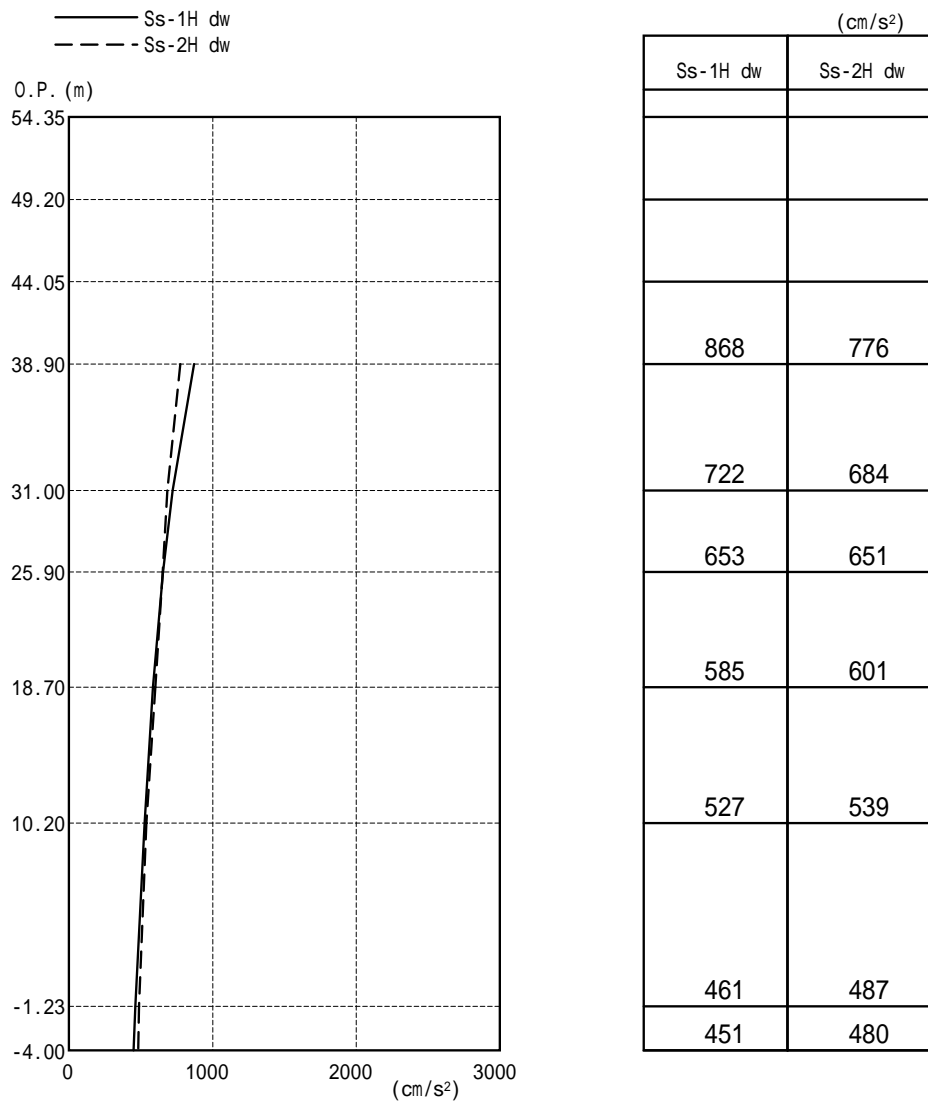


图-4.2 最大応答加速度 (EW 方向)

5. 耐震安全性評価結果

図-5.1，図-5.2 及び図-5.3，図-5.4 に基準地震動 Ss-1 及び基準地震動 Ss-2 に対する最大応答値を耐震壁のせん断スケルトン曲線上に示す。せん断ひずみは，最大で 0.12×10^{-3} (Ss-1H,NS 方向,1F) であり，評価基準値 (4.0×10^{-3}) に対して十分余裕がある。

以上のことから，原子炉建屋は耐震安全上重要な設備に波及的影響を与えないものと評価した。

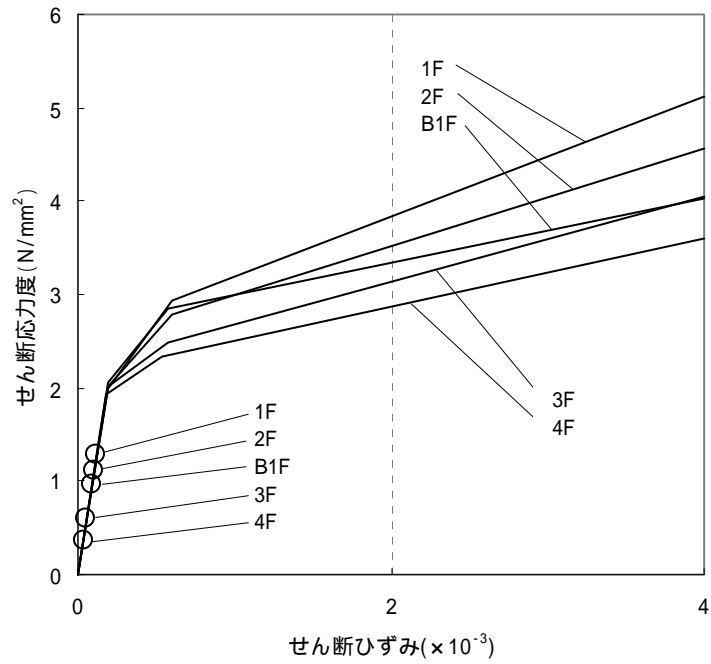


図-5.1 せん断スケルトン曲線上の最大応答値 (Ss-1, NS 方向)

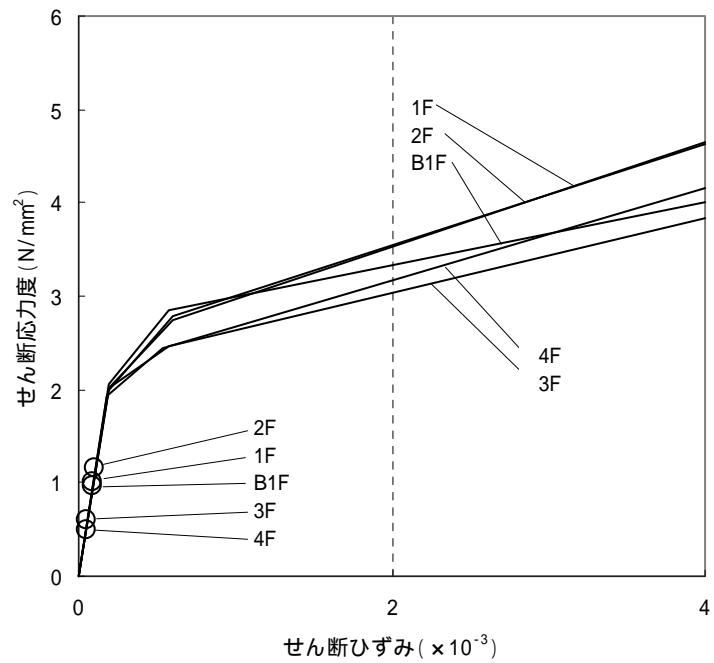


図-5.2 せん断スケルトン曲線上の最大応答値 (Ss-1, EW 方向)

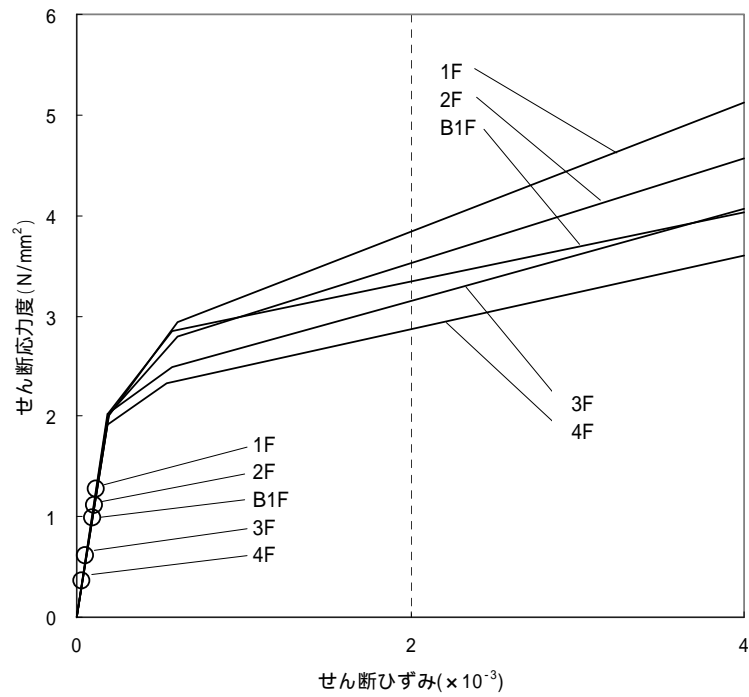


図-5.3 せん断スケルトン曲線上の最大応答値 (Ss-2, NS 方向)

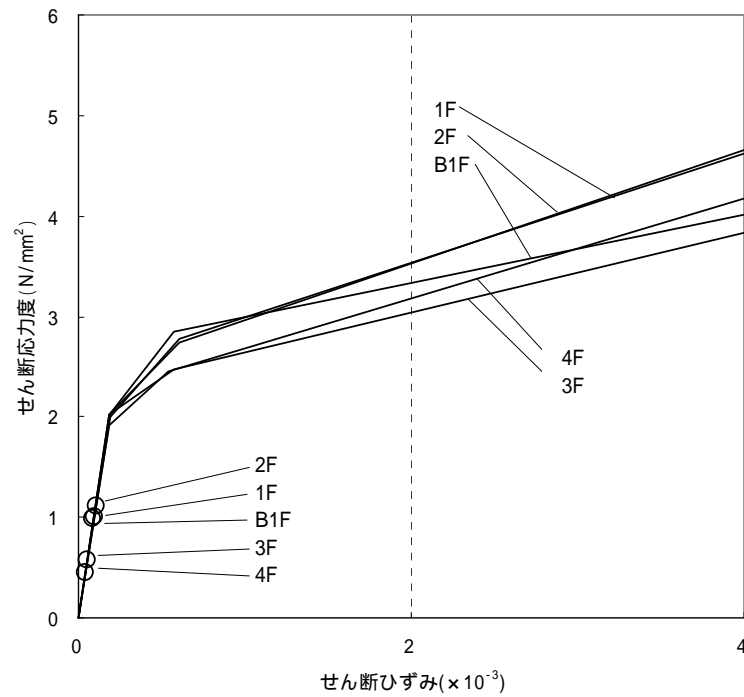


図-5.4 せん断スケルトン曲線上の最大応答値 (Ss-2, EW 方向)

添付資料 - 3 : 4号機の原子炉建屋の耐震安全性評価に関する詳細
(質点系モデルによる時刻歴応答解析による評価)

1. 解析評価方針

水素爆発等による損傷に伴う原子炉建屋の構造への影響及び耐震性評価は、基準地震動 Ss を用いることを基本とし、建物・構築物や地盤の応答性状を適切に表現できるモデルを設定した上で行う。なお、基準地震動 Ss-3 については、基準地震動 Ss-1 及び Ss-2 の応答結果に比べて、過去の計算例（付録 3 - 1 参照）から明らかに小さいことが分かっているため、今回の検討では省略することとする。

地震応答解析モデルは、地盤との相互作用を考慮し、曲げおよびせん断剛性を考慮した質点系モデルとする。

4号機原子炉建屋については、原因の特定には至っていないものの、水素爆発等により原子炉建屋の一部が損傷している。ここでは、原子炉建屋の損傷状況は写真を基に推定し、損傷状況を地震応答解析モデルに反映することとする。

原子炉建屋の構造への影響及び耐震性の評価は、耐震安全上重要な設備への波及的影響防止の観点から、地震応答解析により得られた耐震壁のせん断ひずみと、鉄筋コンクリート造の耐震壁の終局限界に対応した評価基準値（ 4.0×10^{-3} ）との比較により行う。

なお、鉄筋コンクリート造の耐震壁の終局限界に対しては、水平方向の地震力が支配的であり、鉛直方向の地震力の影響は少ないことから、地震応答解析は水平方向のみ実施する。

4号機原子炉建屋の地震応答解析の評価手順例を、図-1.1 に示す。

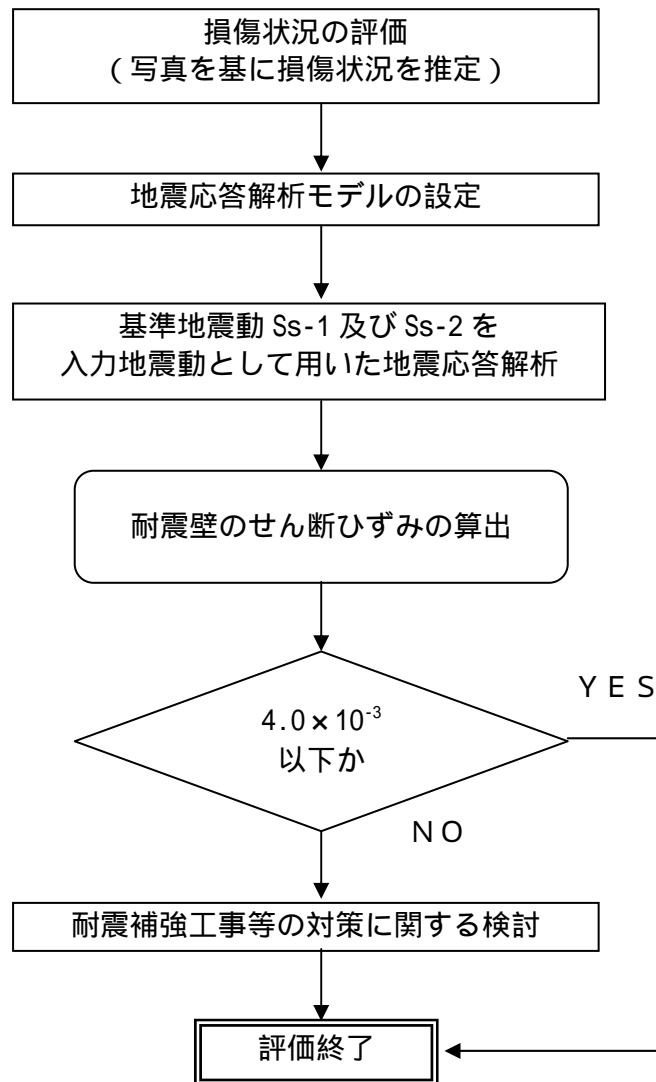


図-1.1 4号機原子炉建屋の地震応答解析の評価手順例

2. 損傷状況の評価

4号機原子炉建屋については、原因の特定には至っていないものの、水素爆発等により原子炉建屋の一部が損傷している。原子炉建屋の損傷状況は写真を基に推定し、損傷状況を地震応答解析モデルに反映することとする。また、外観写真から判断できない部位については、建屋内の調査結果等の現状で得られている情報に基づいて、損傷の有無を評価した。なお、参考にした写真の撮影日等については付録3-2に取りまとめた。

各部位の損傷状況評価の考え方を下記に示す。

a. 外壁・屋根トラス

外観の写真から損傷を確認できる外壁・屋根トラスについては、損傷部位として評価した。また、一部剥落が確認された外壁についても損傷として評価した。(図-2.1)

b. 使用済燃料プール

コンクリートポンプ車の先端に取り付けられたカメラにより撮影された写真から、使用済燃料プールには一定の水量が注水されていることが確認できていること、使用済燃料プール下部にあたる2階で漏水等が発生していないことが確認されていることから、使用済燃料プールに損傷は無いものと評価した。(図-2.2)

c. 機器仮置プール

外壁の写真を見る限り、機器仮置プール周辺の外壁で損傷が確認されていないことから、損傷が無いものと評価した。(図-2.3)

d. シェル壁

1階、2階のシェル壁については、建屋内の調査により損傷が無いことを確認できている。また、3階において、損傷している外壁の厚さは最大でも650mmであり、厚さ1000mmの外壁については損傷が無いことが確認できている。一方、3階のシェル壁は、厚さが1850mmであることから損傷が無いものと評価した。(図-2.4)

e. 床スラブ

1階、2階については、建屋内の調査により、床スラブに損傷が無いことを確認している。3階については、建屋内の調査時に2階から見上げた天井スラブ(3階の床スラブ)で損傷が確認できないことから、損傷は無いものと評価した(図-2.5)。4階以上については、建屋内の調査結果が得られていないことから、外壁の損傷状況から評価することとした。4、5階については、外壁が損傷していることから、外壁以下の厚さである床スラブは損傷している可能性があるものと評価した。



北面



西面

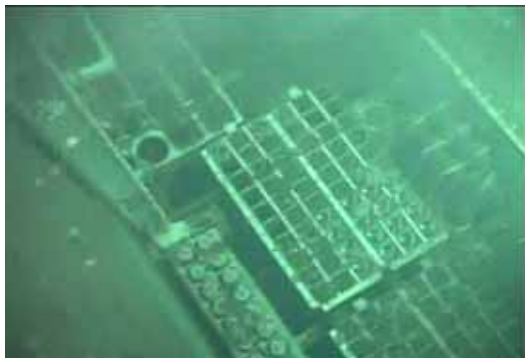


東面



南面

図-2.1 外壁の状況

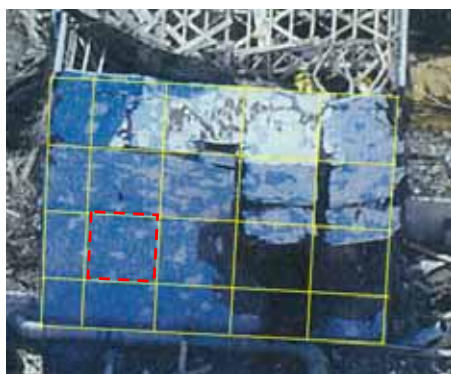


使用済燃料プール内



使用済燃料プール下部

図-2.2 使用済燃料プールの状況



機器仮置プール位置

図-2.3 機器仮置プールの状況



図-2.4 シェル壁の状況



1階外壁



2階外壁



2階床



2階天井

図-2.5 建屋内部の状況(1,2階)

3. 解析に用いる入力地震動

4号機原子炉建屋への入力地震動は、「福島第一原子力発電所『発電用原子炉施設に関する耐震設計審査指針』の改訂に伴う耐震安全性評価結果 中間報告書」(原管発官19第603号 平成20年3月31日付け)にて作成した解放基盤表面レベルに想定する基準地震動 Ss-1 及び Ss-2 を用いることとする。

地震応答解析に用いる入力地震動の概念図を図-3.1 に示す。モデルに入力する地震動は、一次元波動論に基づき、解放基盤表面レベルに想定する基準地震動 Ss に対する地盤の応答として評価する。また、建屋基礎底面レベルにおけるせん断力を入力地震動に付加することにより、地盤の切欠き効果を考慮する。

このうち、解放基盤表面位置(O.P. -196.0m)における基準地震動 Ss-1 及び Ss-2 の加速度波形について、図-3.2 に示す。

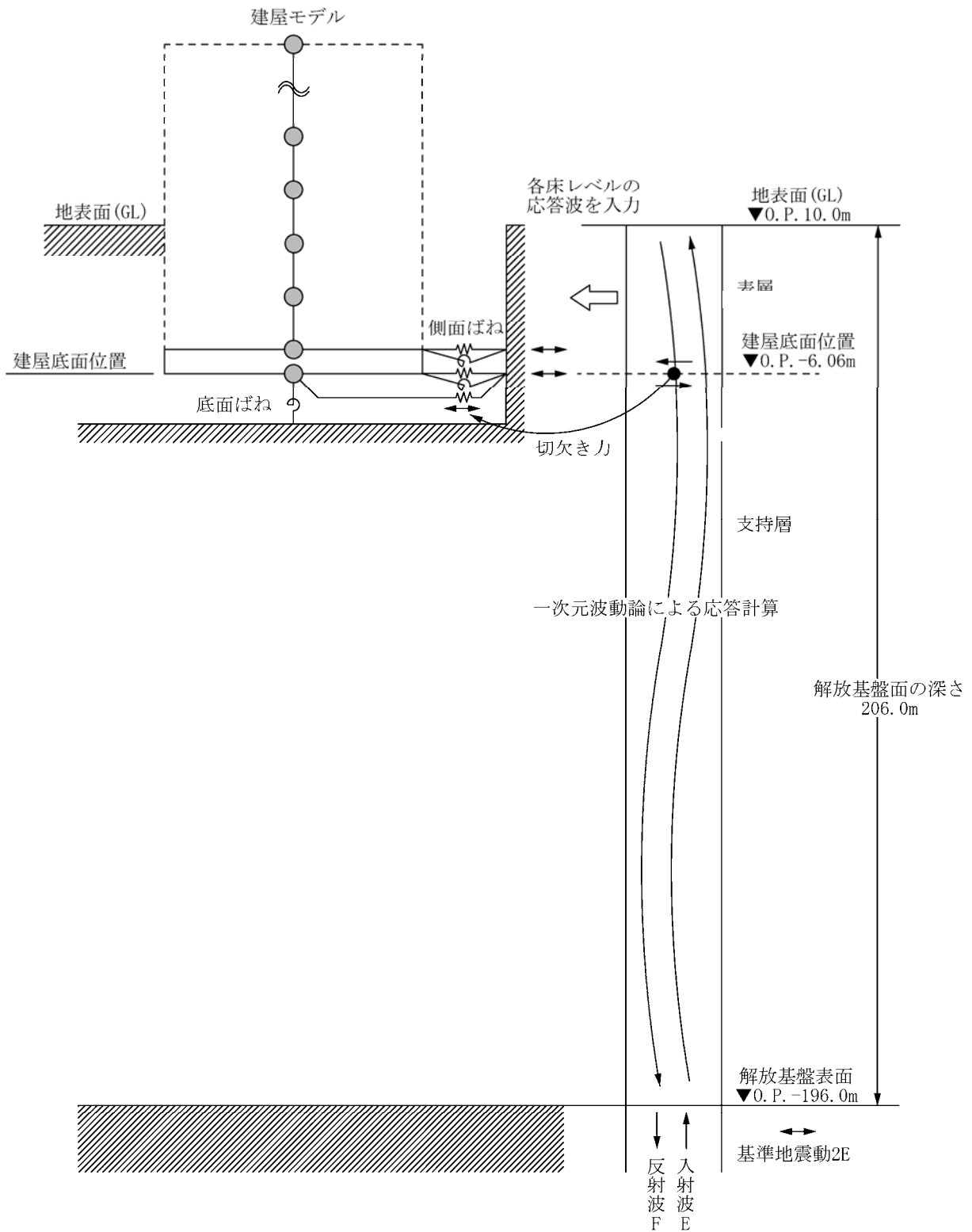


図-3.1 地震応答解析に用いる入力地震動の概念図

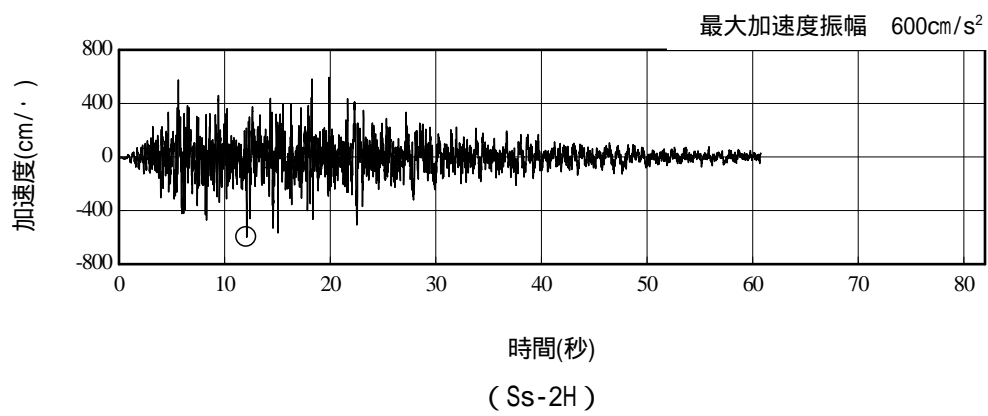
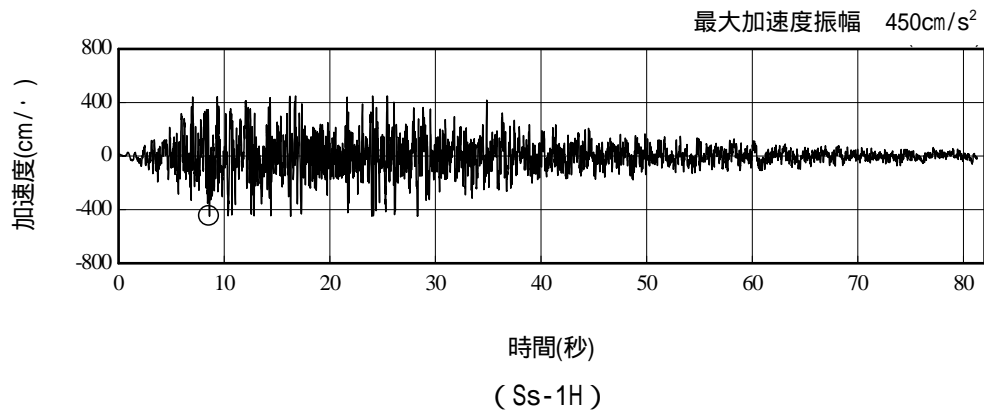


図-3.2 解放基盤表面位置における地震動の加速度時刻歴波形（水平方向）

4. 地震応答解析モデル

基準地震動 S_s に対する原子炉建屋の地震応答解析は、「3. 解析に用いる入力地震動」で算定した入力地震動を用いた動的解析による。

本検討では、「福島第一原子力発電所 『発電用原子炉施設に関する耐震設計審査指針』の改訂に伴う耐震安全性評価結果 中間報告書(改訂版)」(原管発官 21 第 110 号 平成 21 年 6 月 19 日付け)にて作成した地震応答解析モデルを基に、次の項目について修正を加え、新たな地震応答解析モデルを構築することとしている。

4号機原子炉建屋については、地震時に定期検査中であったことから、定期検査時の条件を反映している。また、原因の特定には至っていないものの、水素爆発等により原子炉建屋の一部が損傷していることから、「2. 損傷状況の評価」で評価した損傷状況を基に解析モデルを作成する。なお、5階より上部の崩れた部分の重量は5階の床で支持されていると仮定するなど、崩れた部分の重量は下階の床で支持されていると仮定する。4号機原子炉建屋の損傷状況(立面図)を図-4.1に、損傷状況(平面図)を図-4.2に示す。

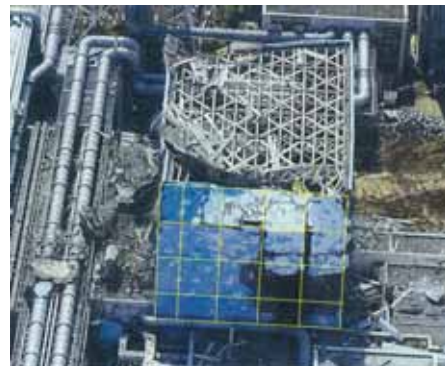
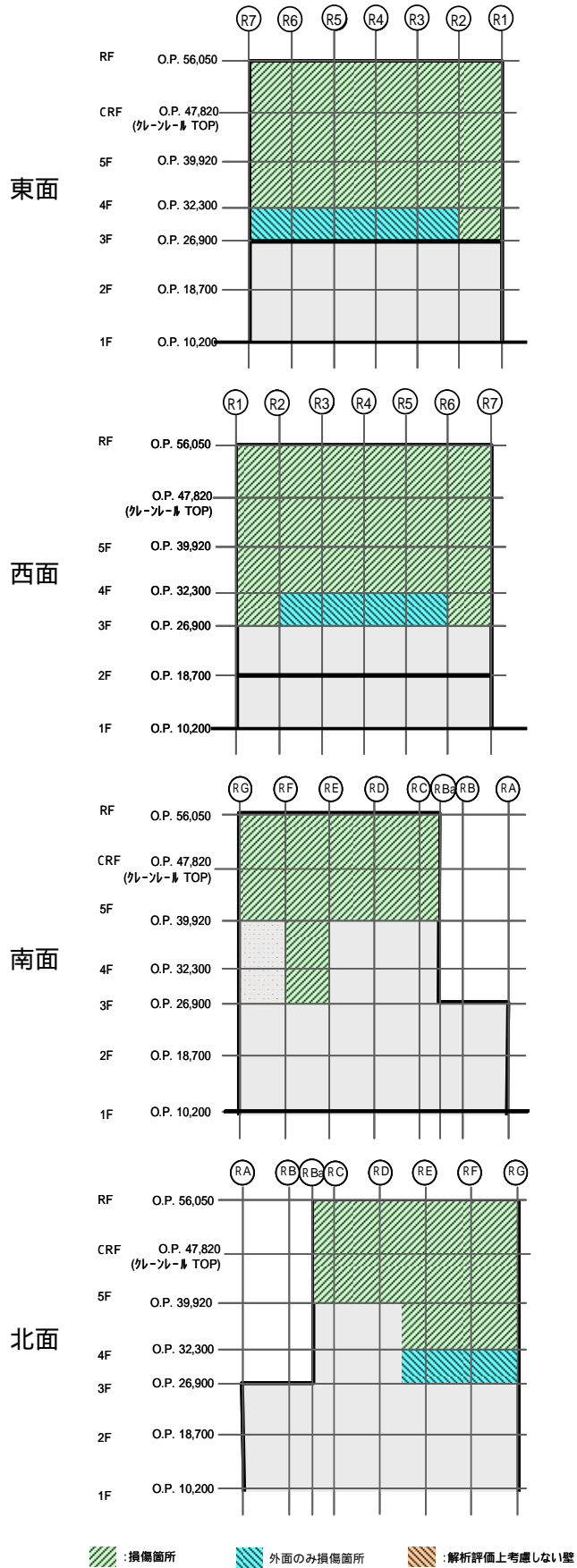


図-4.1 4号機原子炉建屋の損傷状況（立面図）

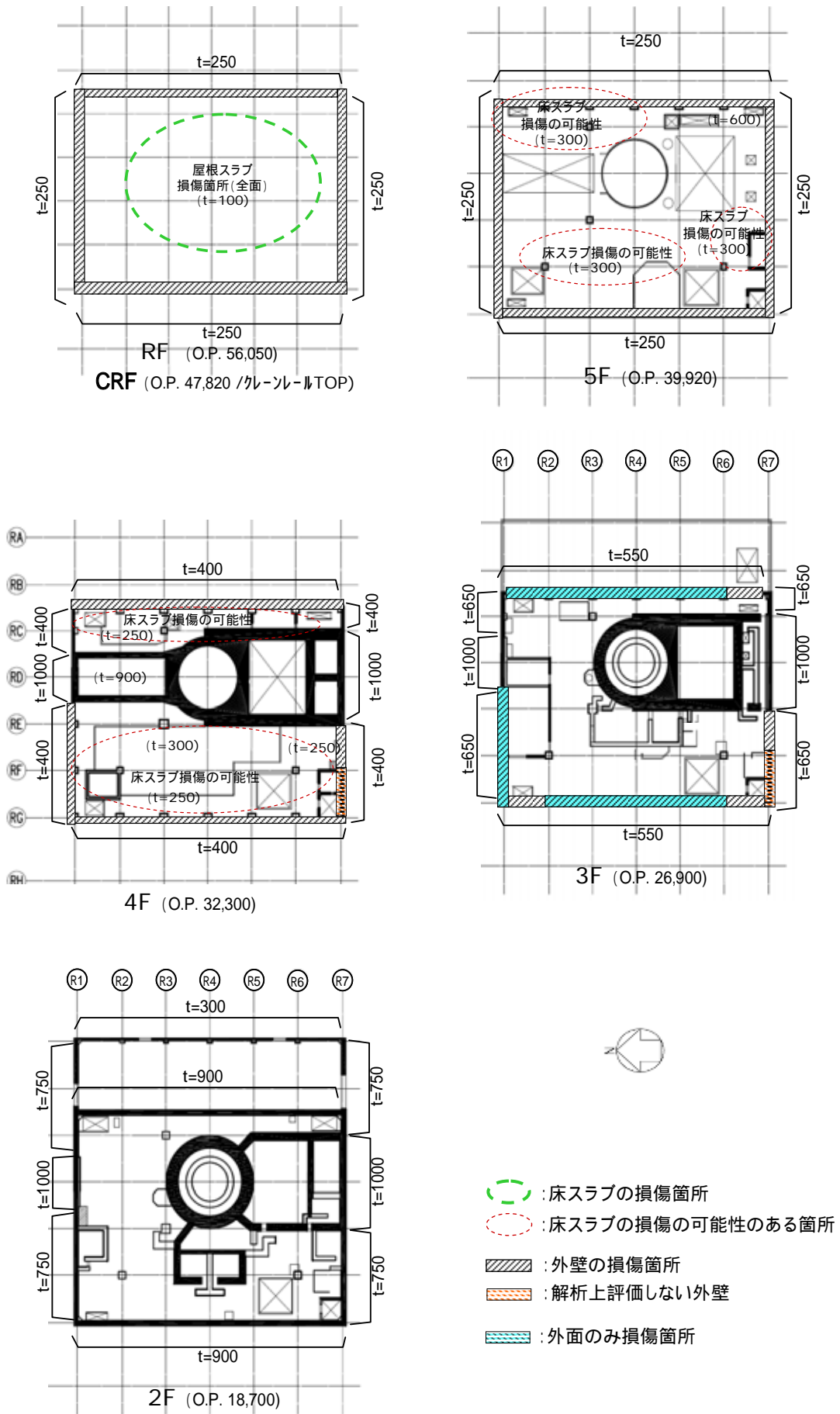


図-4.2 4号機原子炉建屋の損傷状況(平面図)

(1) 水平方向の地震応答解析モデル

水平方向の地震応答解析モデルは、図-4.3 および図-4.4 に示すように、建屋を曲げ変形とせん断変形をする質点系とし、地盤を等価なばねで評価した建屋 - 地盤連成系モデルとする。建屋 - 地盤連成系としての効果は地盤ばねおよび入力地震動によって評価される。解析に用いるコンクリートの物性値を表-4.1 に、建屋解析モデルの諸元を表-4.2 に示す。

地盤定数は、水平成層地盤と仮定し、地震時のせん断ひずみレベルを考慮して定めた。解析に用いた地盤定数を表-4.3 に示す。

水平方向の解析モデルにおいて、基礎底面地盤ばねについては、「JEAG 4601-1991」に示された手法を参考にして、成層補正を行ったのち、振動アドミタンス理論に基づいて、スウェイおよびロッキングばね定数を近似的に評価する。また、埋め込み部分の建屋側面地盤ばねについては、建屋側面位置の地盤定数を用いて、水平および回転ばねを「JEAG 4601-1991」に示された手法を参考にして、Novak ばねに基づく近似法により評価する。

地盤ばねは振動数に依存した複素剛性として得られるが、図-4.5 に示すようにばね定数 (K_c) として実部の静的な値を、また、減衰係数 (C_c) として建屋 - 地盤連成系の 1 次固有振動数に対応する虚部の値と原点を結ぶ直線の傾きを採用することにより近似する。

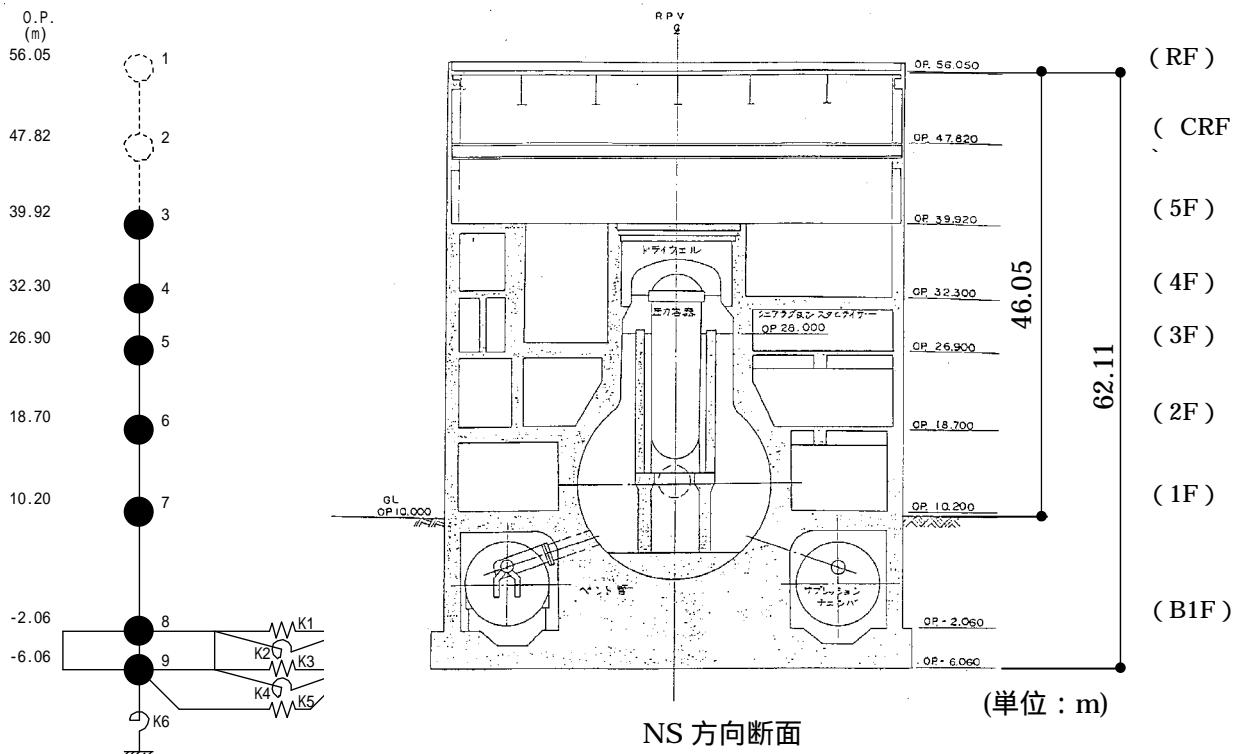


図-4.3 4号機原子炉建屋 地震応答解析モデル (NS 方向)

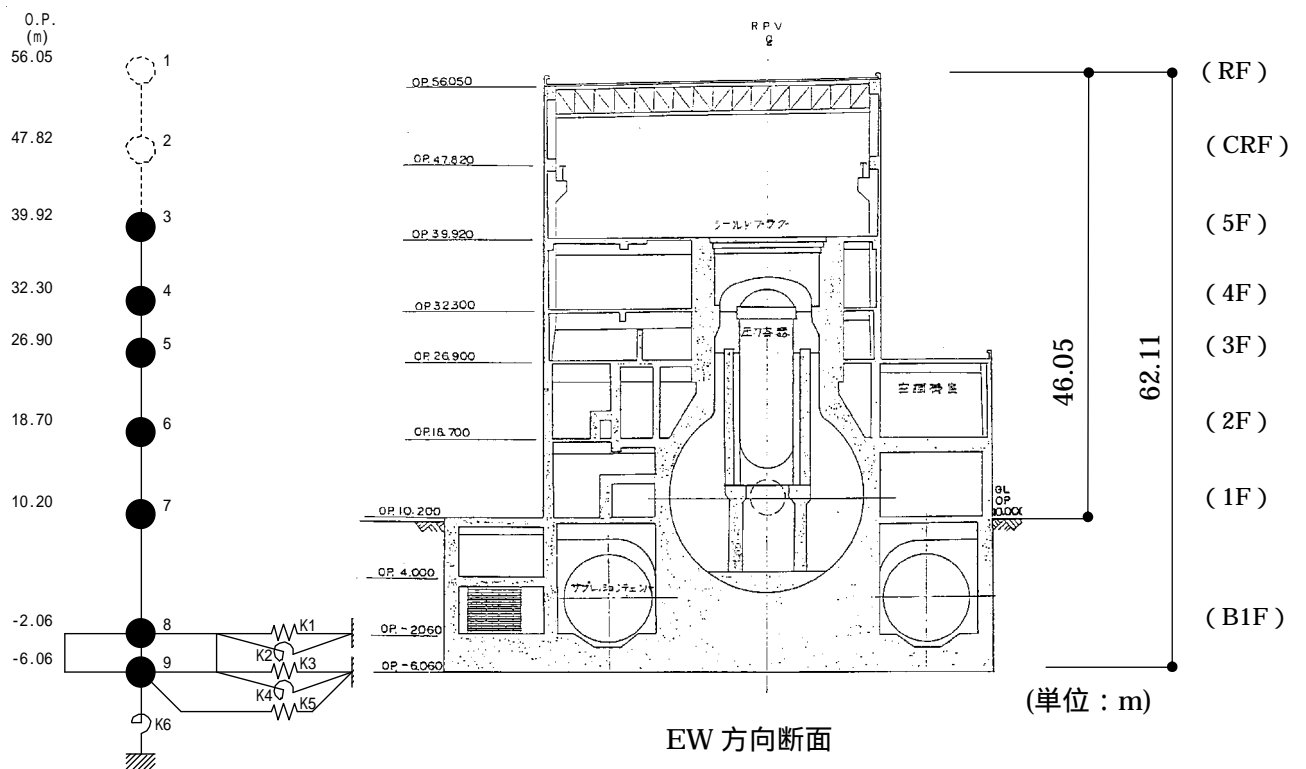


図-4.4 4号機原子炉建屋 地震応答解析モデル (EW 方向)

表-4.1 地震応答解析に用いる物性値

コン クリ ート	強度*1 F _c (N/mm ²)	ヤング係数*2 E (N/mm ²)	せん断弾性係数*2 G (N/mm ²)	ポアソン 比	単位体積重量*3 (kN/m ³)
	35.0	2.57 × 10 ⁴	1.07 × 10 ⁴	0.2	24
鉄筋	SD345相当 (SD35)				
鋼材	SS400相当 (SS41)				

*1：強度は実状に近い強度（以下「実強度」という。）を採用した。実強度の設定は、過去の圧縮強度試験データを収集し試験データのばらつきを考慮し圧縮強度平均値を小さめにまとめた値とした。

*2：実強度に基づく値を示す。

*3：鉄筋コンクリートの値を示す。

表-4.2 建屋解析モデルの諸元

(NS 方向)

質点番号	質点重量 W(kN)	回転慣性重量 $I_G(\times 10^5 \text{kN}\cdot\text{m}^2)$	せん断断面積 $A_S(\text{m}^2)$	断面2次モーメント I(m ⁴)
1	-	-		
2	-	-	-	-
3	114,850	211.39	-	-
4	88,770	163.44	150.8	13,068
5	117,030	215.39	103.4	15,942
6	121,930	224.49	223.4	45,026
7	207,300	381.60	175.4	46,774
8	287,050	574.38	460.4	114,194
9	132,390	264.88	2,812.6	562,754
合計	1,069,320		ヤング係数 E_c 2.57×10^7 (kN/m ²) せん断弾性係数 G 1.07×10^7 (kN/m ²) ポアソン比 0.20 減衰 h 5% 基礎形状 49.0m(NS方向) × 57.4m(EW方向)	

(EW 方向)

質点番号	質点重量 W(kN)	回転慣性重量 $I_G(\times 10^5 \text{kN}\cdot\text{m}^2)$	せん断断面積 $A_S(\text{m}^2)$	断面2次モーメント I(m ⁴)
1	-	-		
2	-	-	-	-
3	114,850	118.55	-	-
4	88,770	91.66	90.4	6,491
5	117,030	215.39	105.8	6,388
6	121,930	224.49	167.5	32,815
7	207,300	569.22	166.4	46,303
8	287,050	828.96	424.5	136,323
9	132,390	346.27	2,812.6	772,237
合計	1,069,320		ヤング係数 E_c 2.57×10^7 (kN/m ²) せん断弾性係数 G 1.07×10^7 (kN/m ²) ポアソン比 0.20 減衰 h 5% 基礎形状 49.0m(NS方向) × 57.4m(EW方向)	

表-4.3 地盤定数

(Ss-1)

標高 O.P. (m)	地質	S波速度 Vs (m/s)	単位体積 重量 t (kN/m ³)	ポアソン比	初期せん断 弾性係数 G ₀ (kN/m ²)	剛性低下率 G/G ₀	せん断弾性 係数 G (kN/m ²)	剛性低下後 S波速度 Vs (m/s)	減衰定数 h (%)
10.0									
1.9	砂岩	380	17.8	0.473	262,000	0.85	223,000	351	3
-10.0	泥岩	450	16.5	0.464	341,000	0.78	266,000	398	3
-80.0		500	17.1	0.455	436,000		340,000	442	
-108.0		560	17.6	0.446	563,000		439,000	495	
-196.0		600	17.8	0.442	653,000		509,000	530	
	解放基盤	700	18.5	0.421	924,000	1.00	924,000	700	-

(Ss-2)

標高 O.P. (m)	地質	S波速度 Vs (m/s)	単位体積 重量 t (kN/m ³)	ポアソン比	初期せん断 弾性係数 G ₀ (kN/m ²)	剛性低下率 G/G ₀	せん断弾性 係数 G (kN/m ²)	剛性低下後 S波速度 Vs (m/s)	減衰定数 h (%)
10.0									
1.9	砂岩	380	17.8	0.473	262,000	0.85	223,000	351	3
-10.0	泥岩	450	16.5	0.464	341,000	0.81	276,000	405	3
-80.0		500	17.1	0.455	436,000		353,000	450	
-108.0		560	17.6	0.446	563,000		456,000	504	
-196.0		600	17.8	0.442	653,000		529,000	540	
	解放基盤	700	18.5	0.421	924,000	1.00	924,000	700	-

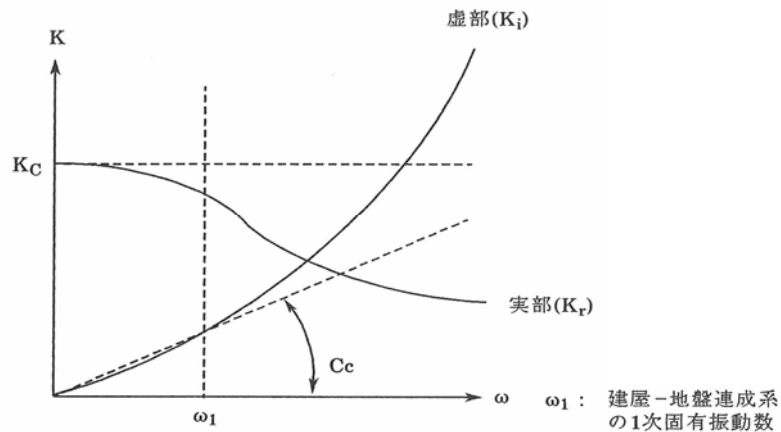


図-4.5 地盤ばねの近似

5. 地震応答解析結果

地震応答解析により求められた NS 方向，EW 方向の最大応答加速度を図-5.1 および図-5.2 に示す。

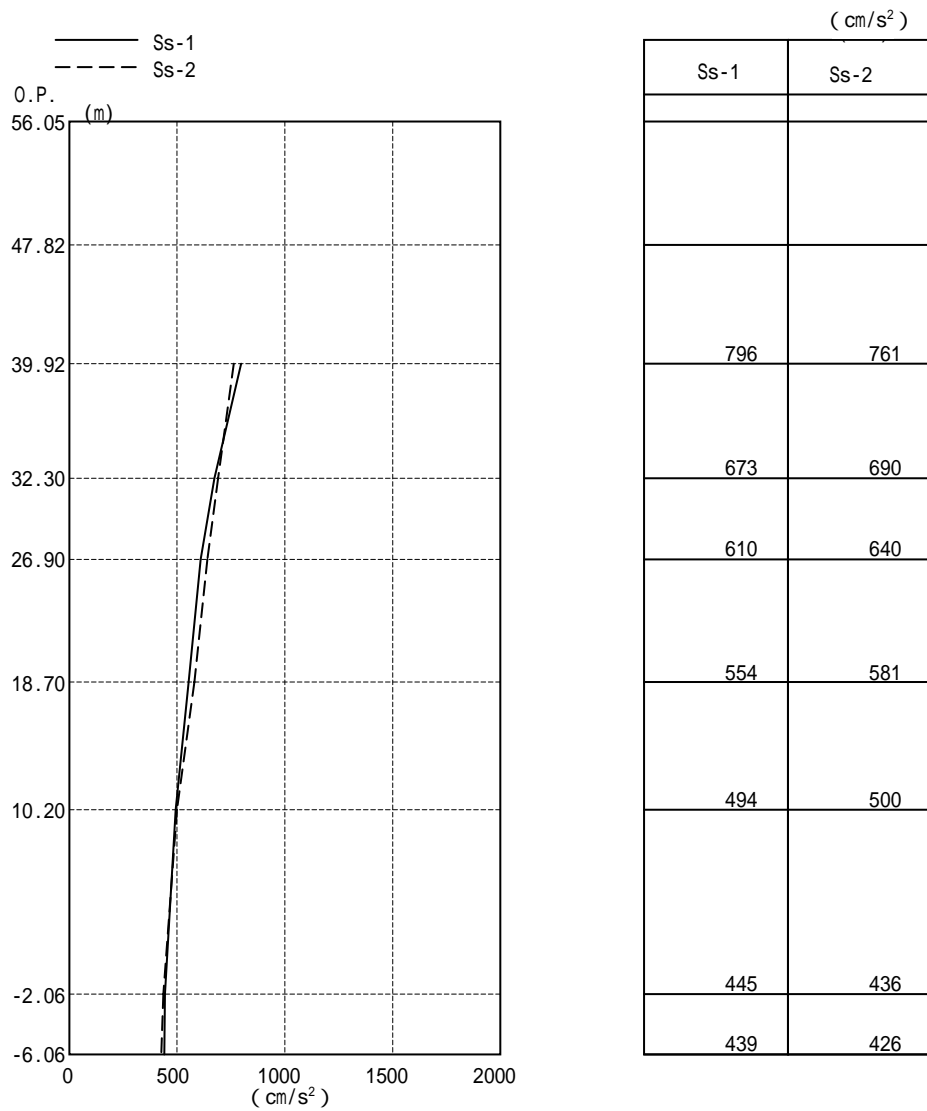


図-5.1 最大応答加速度 (NS 方向)

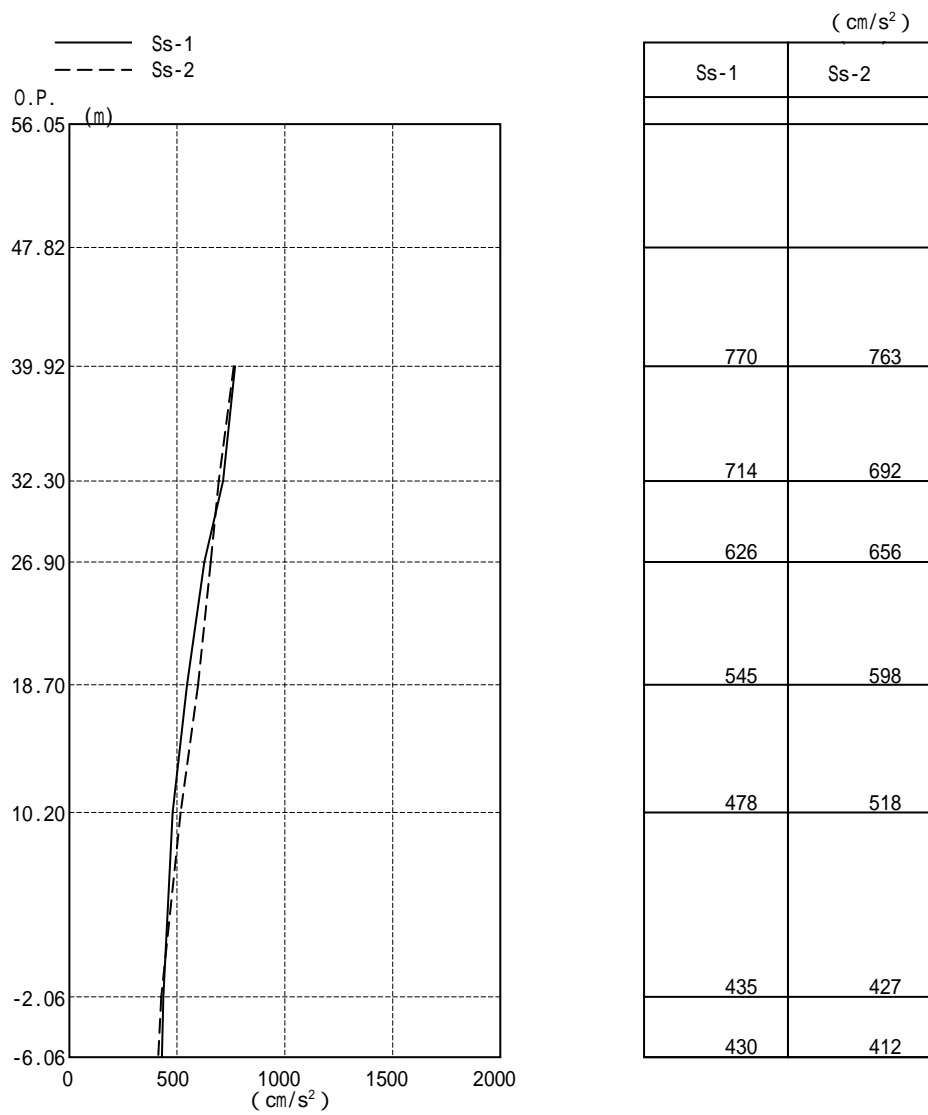


图-5.2 最大応答加速度 (EW 方向)

6. 耐震安全性評価結果

図-6.1, 図-6.2 及び図-6.3, 図-6.4 に基準地震動 Ss-1 及び基準地震動 Ss-2 に対する最大応答値を耐震壁のせん断スケルトン曲線上に示す。せん断ひずみは, 最大で 0.17×10^{-3} (Ss-1H 及び Ss-2H, EW 方向, 1F) であり, 評価基準値 (4.0×10^{-3}) に対して十分余裕がある。

以上のことから, 原子炉建屋は耐震安全上重要な設備に波及的影響を与えないものと評価した。

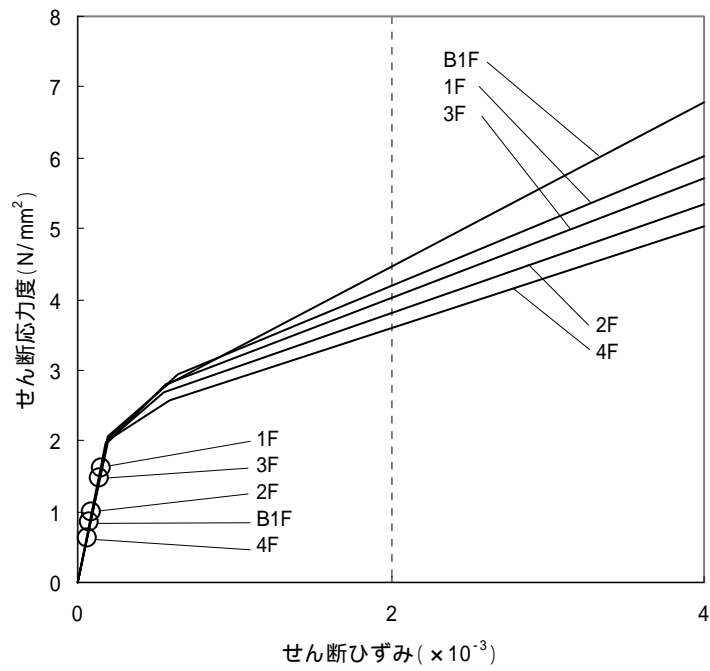


図-6.1 せん断スケルトン曲線上の最大応答値 (Ss-1, NS 方向)

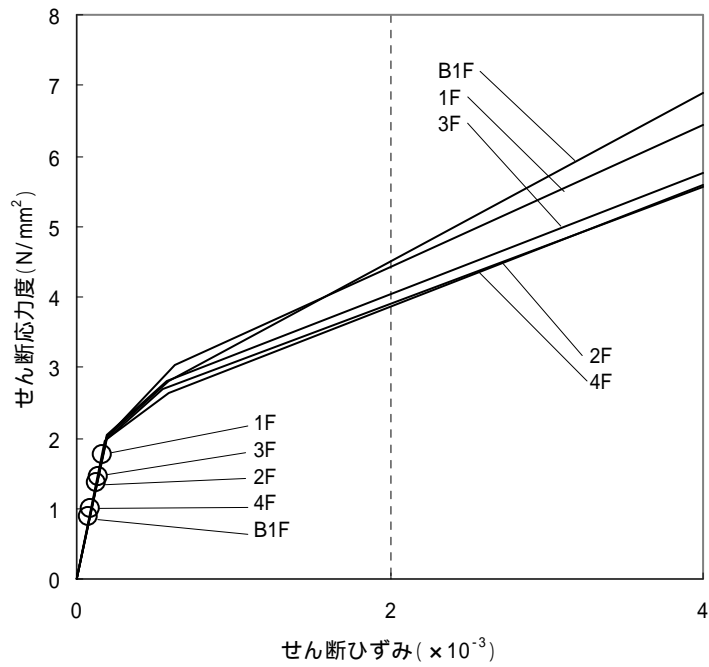


図-6.2 せん断スケルトン曲線上の最大応答値 (Ss-1, EW 方向)

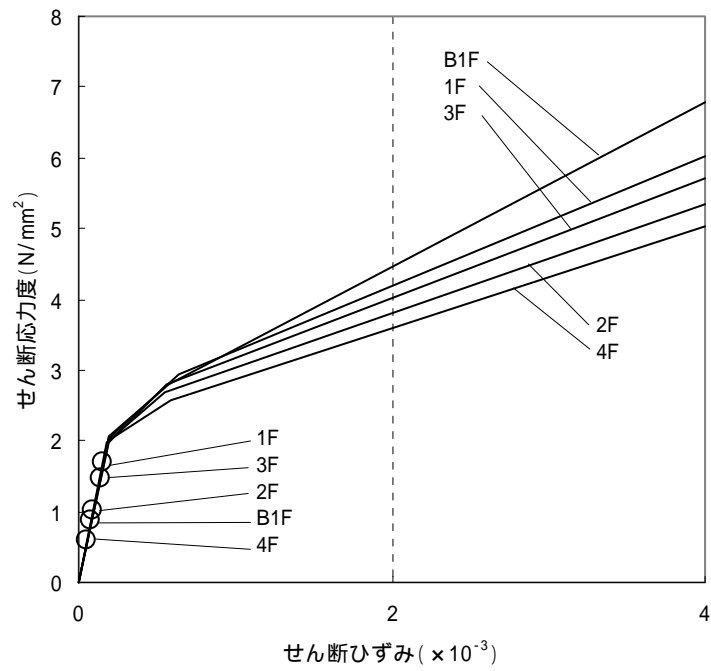


図-6.3 セン断スケルトン曲線上の最大応答値 (Ss-2, NS 方向)

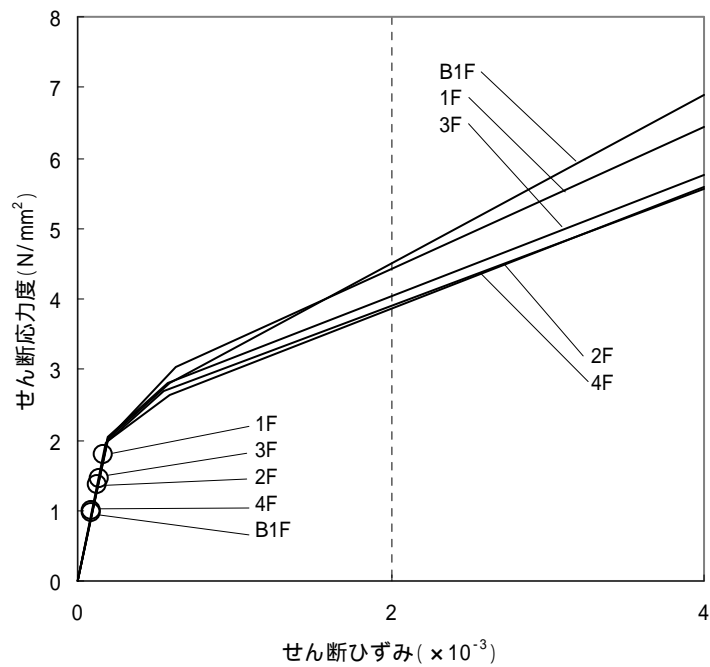


図-6.4 セン断スケルトン曲線上の最大応答値 (Ss-2, EW 方向)

『発電所原子炉施設に関する耐震設計審査指針』の改訂に伴う耐震安全性評価結果

「福島第一原子力発電所 『発電用原子炉施設に関する耐震設計審査指針』の改訂に伴う耐震安全性評価結果 中間報告書（改訂版）」（原管発官 21 第 110 号 平成 21 年 6 月 19 日付け）に記載している 4 号機原子炉建屋の耐震安全性評価結果を抜粋して以下に示す。

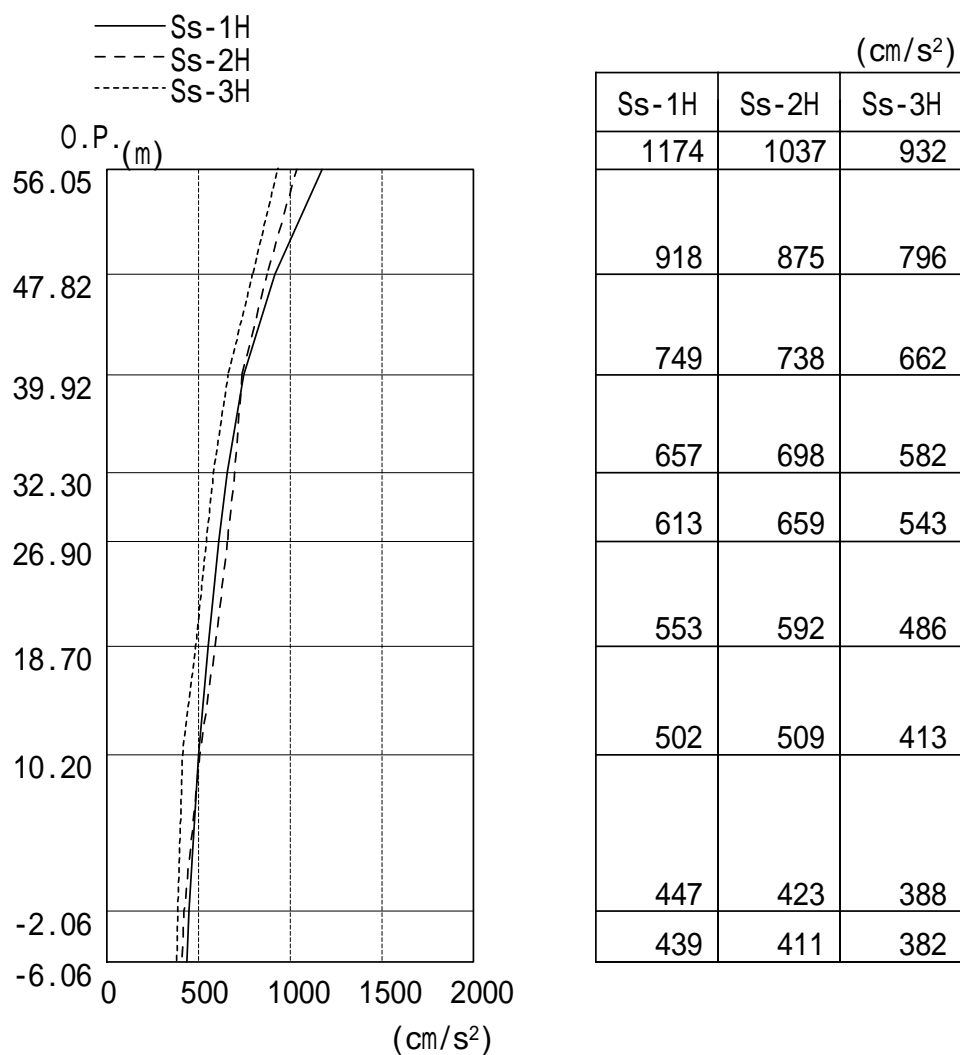


図-1 最大応答加速度（NS 方向）

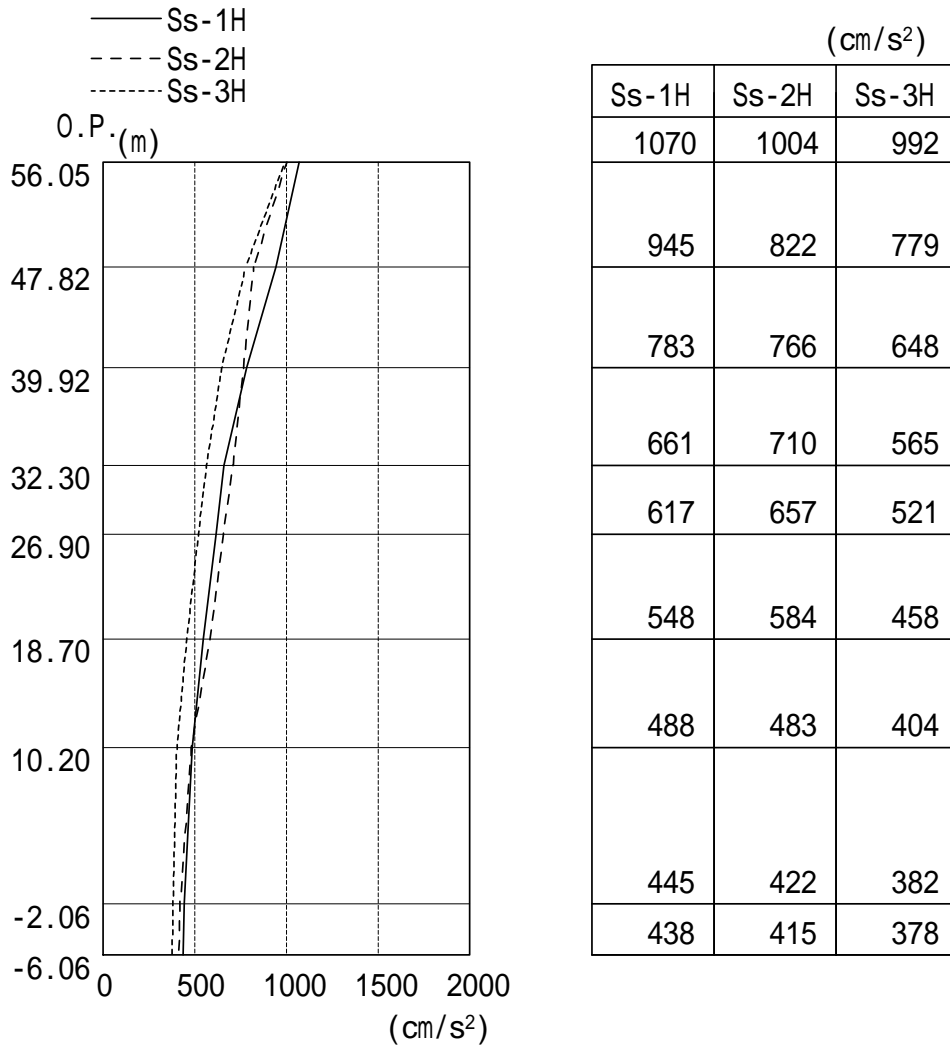


图-2 最大応答加速度 (EW 方向)

表-1 耐震壁のせん断ひずみ一覧（NS方向）

階	Ss-1H	Ss-2H	Ss-3H	評価基準値
CRF	0.10	0.09	0.08	2.0以下
5F	0.17	0.15	0.14	
4F	0.05	0.05	0.04	
3F	0.08	0.08	0.07	
2F	0.09	0.09	0.08	
1F	0.15	0.16	0.13	
B1F	0.08	0.08	0.07	

表-2 耐震壁のせん断ひずみ一覧（EW方向）

階	Ss-1H	Ss-2H	Ss-3H	評価基準値
CRF	0.12	0.12	0.11	2.0以下
5F	0.30	0.20	0.19	
4F	0.08	0.08	0.07	
3F	0.11	0.11	0.10	
2F	0.12	0.12	0.10	
1F	0.16	0.17	0.14	
B1F	0.08	0.09	0.07	

以上

損傷状況を評価するのに用いた写真について（4号機）

【外壁】

4月13日時点

- ・ 3月24日に撮影した外観写真により、建屋の損傷状況を確認した上で建屋の解析モデルを作成している。（図1）



北面



西面



東面



南面

図1 損傷状況（3月24日撮影）

5月10日時点

- ・ 西面、南面については、5月10日に新たに現地で写真（図2）を撮影している。この写真から3月24日時点から損傷が進展していないことが確認できる。



西面



南面

図2 西面・南面の損傷状況（5月10日撮影）

【内壁】

4月13日時点

- ・ 建屋内の調査が実施できていなかったことから、外観写真と図面等から判断することとした。

4月28日時点

- ・ コンクリートポンプ車の先端に取り付けられたカメラにより撮影された写真により、使用済燃料プールに一定の水量が注水されていることが確認できる。(図3)



図3 使用済み燃料プール内部の状況(4月28日撮影)

5月22日時点

- ・ 建屋内(1階、2階)では調査が実施されている。現段階では1階、2階の内壁、1階、2階の床スラブ、天井スラブに損傷は確認されていない。建屋内の写真を図4、それぞれの写真の撮影位置を図4に示す。



1階内壁



1階外壁



1階外壁



1階天井

図4(1) 建屋内部の状況(5月19日~21日撮影)



2 階内壁



2 階外壁



2 階シェル壁



2 階シェル壁



使用済燃料プール下部



2 階床



2 階天井

図 4 (2) 建屋内部の状況 (5 月 19 日 ~ 21 日 撮影)

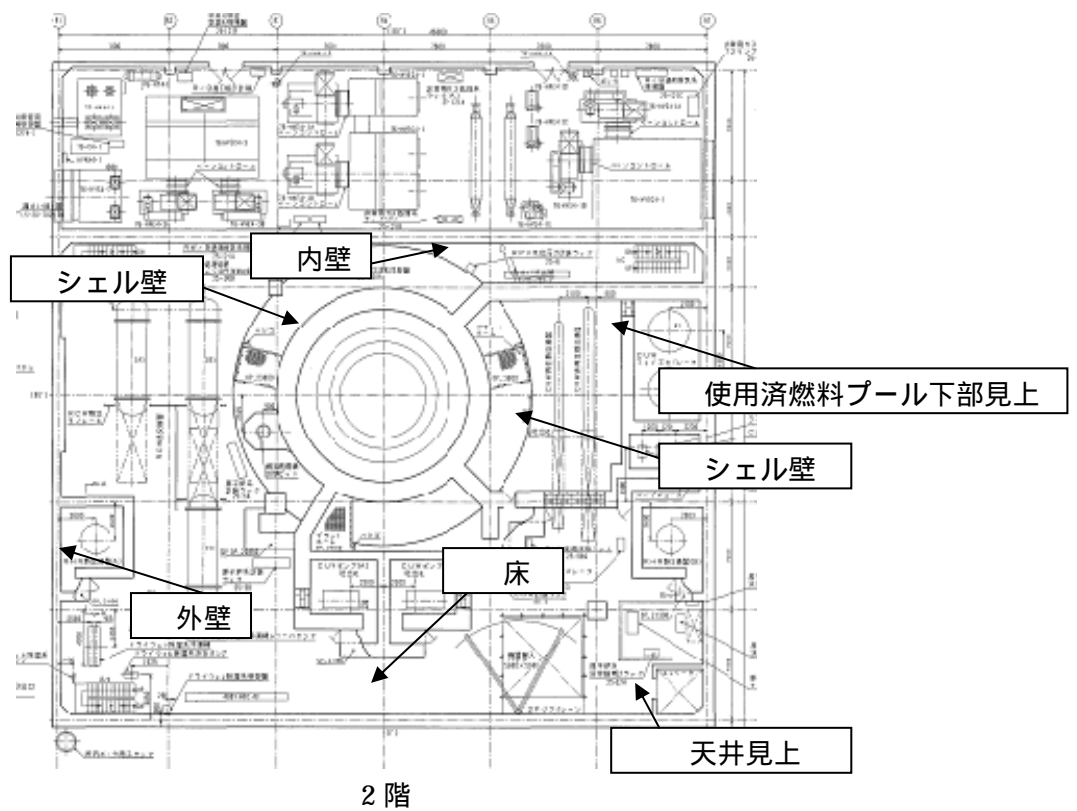
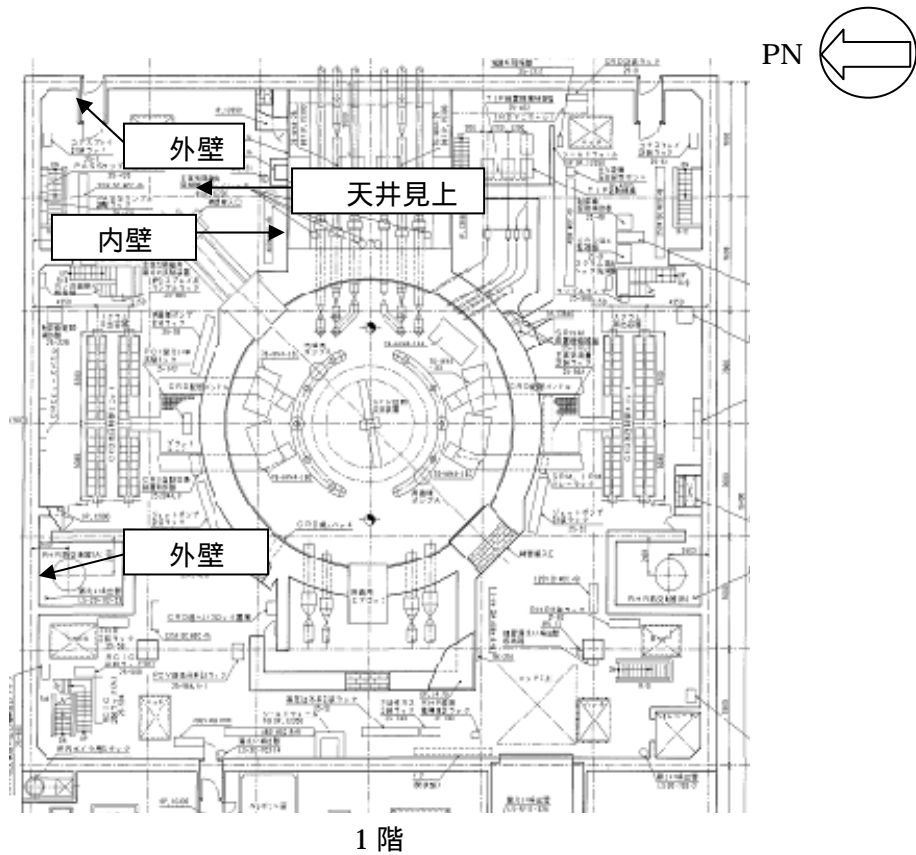


図5 建屋内部の写真撮影位置

添付資料 - 4 : 4号機の原子炉建屋の耐震安全性評価に関する詳細
(3次元FEM解析による局部評価)

1. 解析評価方針

4号機原子炉建屋については、5階より下部の4階や3階の外壁が複雑に損傷していることを踏まえ、2階より上部を詳細な3次元FEM解析モデルでモデル化し、応力解析により基準地震動Ssに対する原子炉建屋の耐震安全性を評価する。なお、4号機原子炉建屋の外壁の損傷が確認されている4階や3階においては、主要な耐震要素が使用済燃料プールとなることから、ここでは使用済燃料プールを中心とした評価を実施する。

プールの平面図を図-1.1に、断面図を図-1.2に示す。

耐震安全性評価は、図-1.3のフローに示すように以下の手順で行う。

- ・ 使用済燃料プール周辺の2階の床（O.P.18.7m）から5階の床（O.P.39.92m）までの建屋部分を対象に、爆発等による損傷状況を模擬した3次元FEM解析モデルを作成する。
- ・ 死荷重、プール水による静水圧、温度荷重、地震応答解析結果に基づく地震荷重、地震時動水圧などの荷重条件及び荷重組合せの条件を設定する。
- ・ 応力解析として鉄筋コンクリート部材の塑性化を考慮した弾塑性解析を行い、使用済燃料プール部に発生する応力およびひずみを算出する。
- ・ 評価基準値と比較し、耐震安全性を評価する。

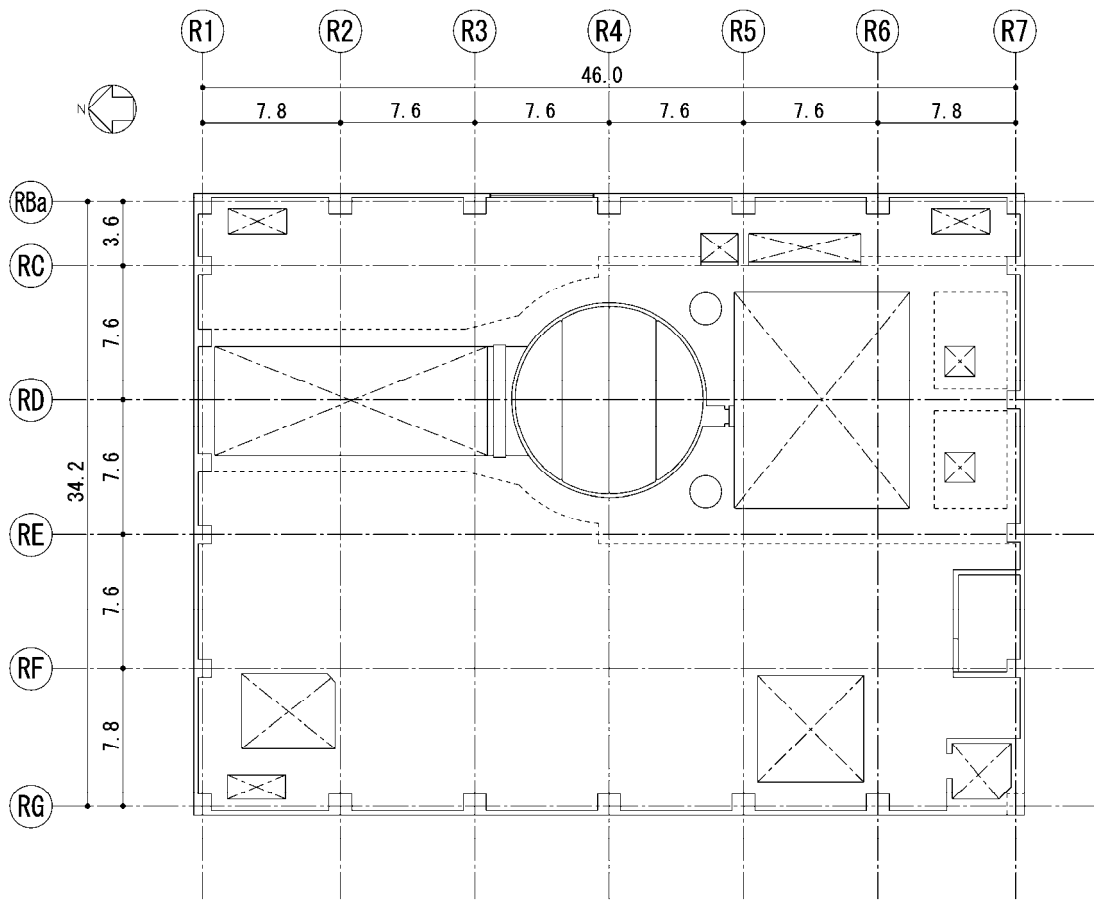


图-1.1 5階 平面図
(单位：m)

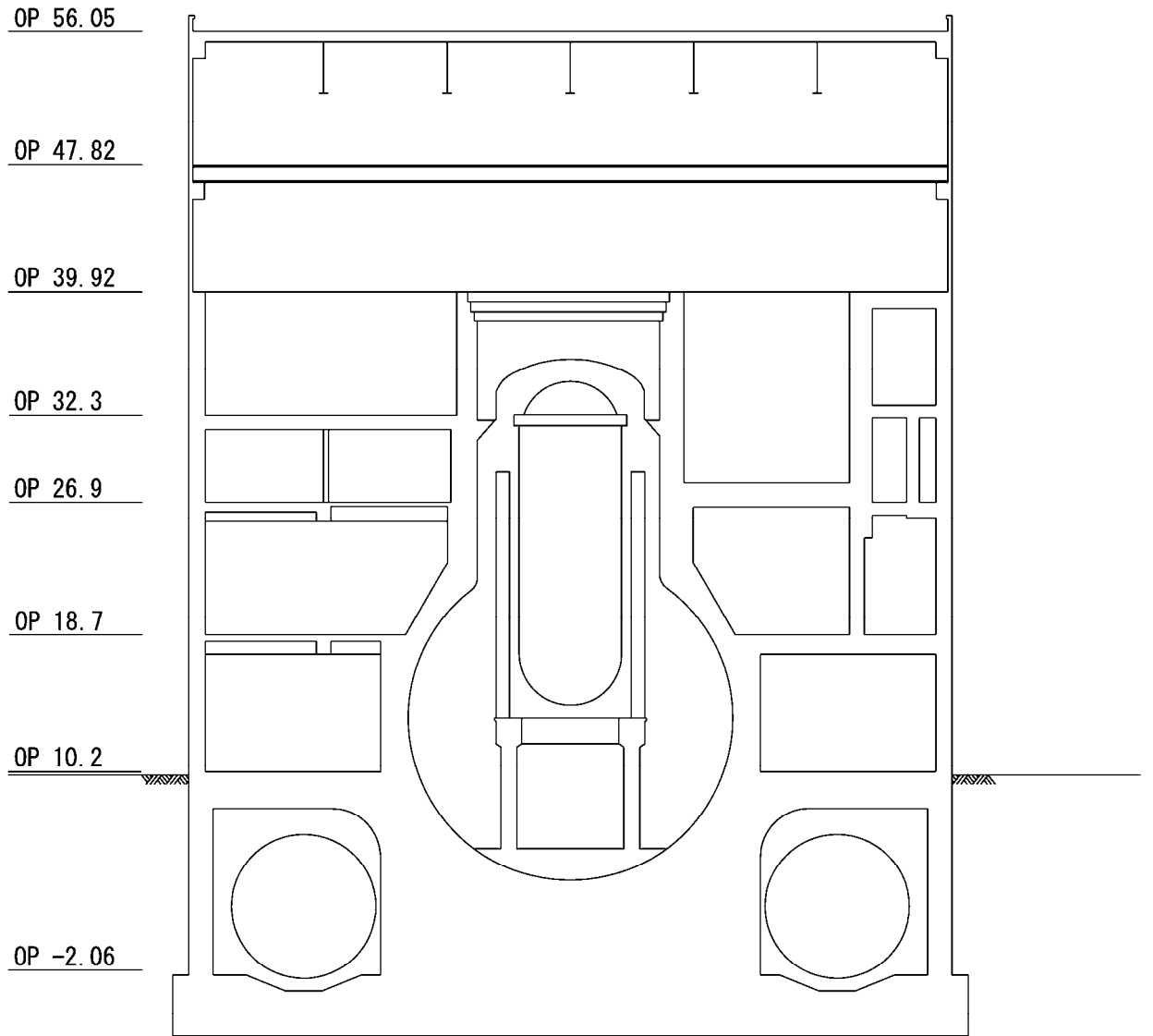


图-1.2 断面图
(NS方向断面, 单位: m)

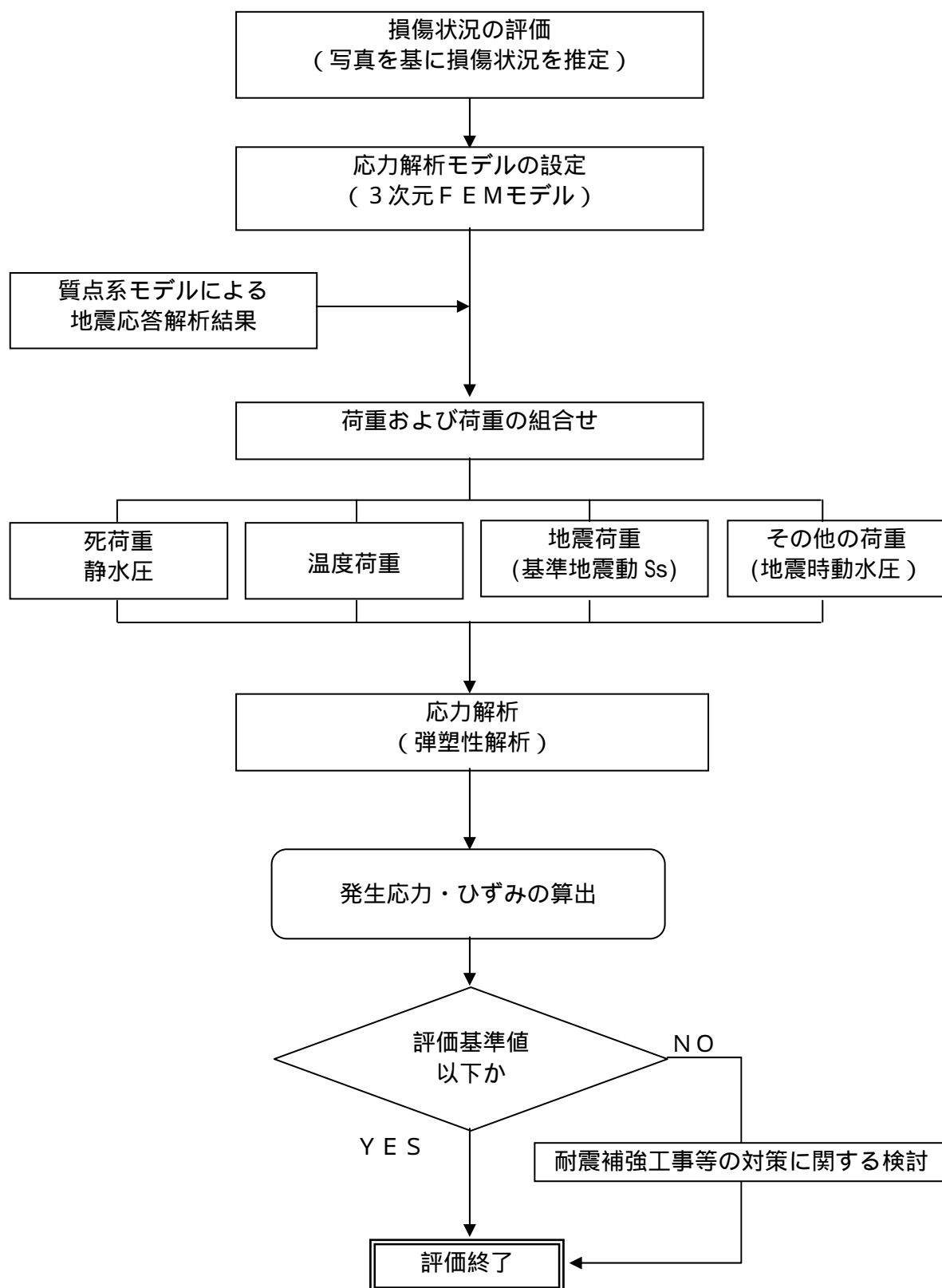


図-1.3 使用済燃料プールの耐震安全性評価フロー

2. 損傷状況の評価

損傷状況の評価にあたっては、「添付資料 - 3 2 . 損傷状況の評価」を基本として3次元FEM解析モデルを作成している。

解析モデルに評価した外壁は、添付資料 - 3 において考慮した部分と同一とし、5階より下部の柱・梁は残った状態とする。使用済燃料プールや機器仮置プール、シェル壁及び周辺床は損傷がないものとしてモデル化する。

損傷した部分の重量については、下階の床で支持されていると仮定し、全て一様に積載されているものとして評価する。

3. 応力解析モデルの設定

鉄筋コンクリート部材の塑性化を考慮した弾塑性解析を実施し、使用済燃料プール部に発生する応力及びひずみを算定する。2階壁から5階の燃料取替え床までの鉄筋コンクリート部材を有限要素の集合体としてモデル化する。

解析モデルに使用する板要素は、鉄筋層をモデル化した異方性材料による積層シェル要素を用いる。各要素には、板の軸力と曲げ応力を同時に考えるが、板の曲げには面外せん断変形の影響も考慮する。使用計算機コードは「ABAQUS」である。

解析モデル概要図を図-3.1に、コンクリートと鉄筋の構成則を図-3.2に、解析モデルの境界条件を図-3.3に示す。

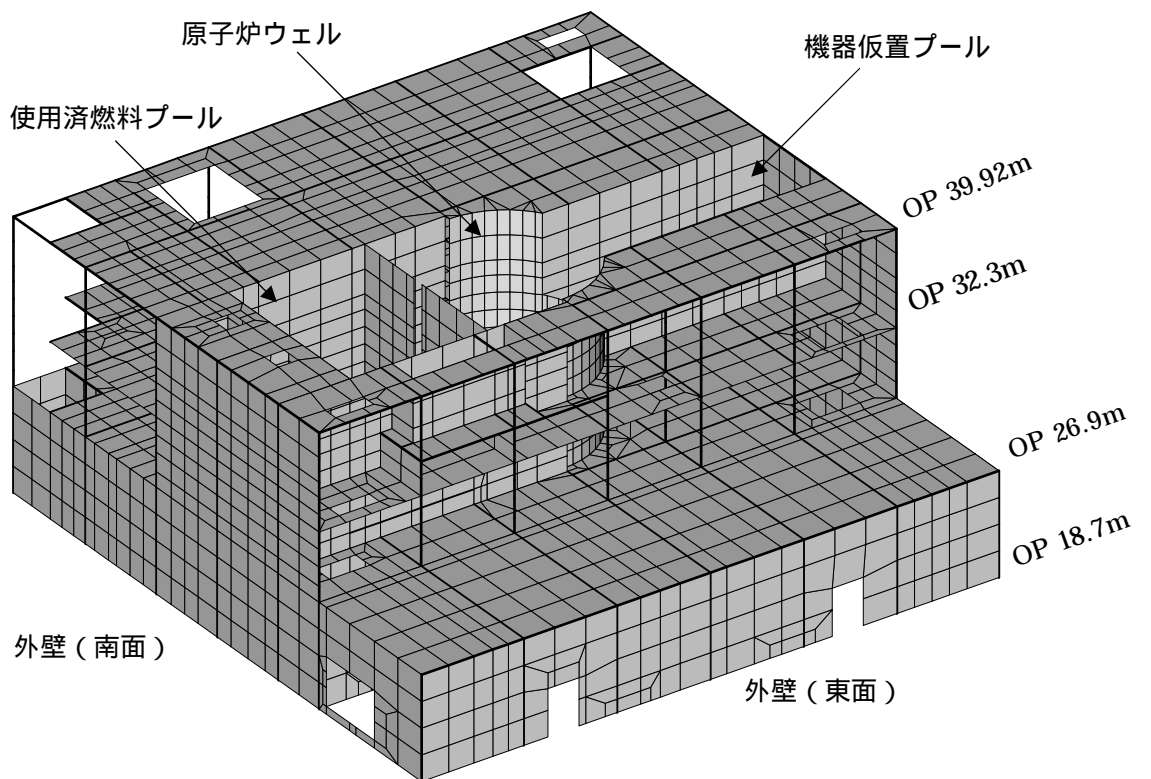
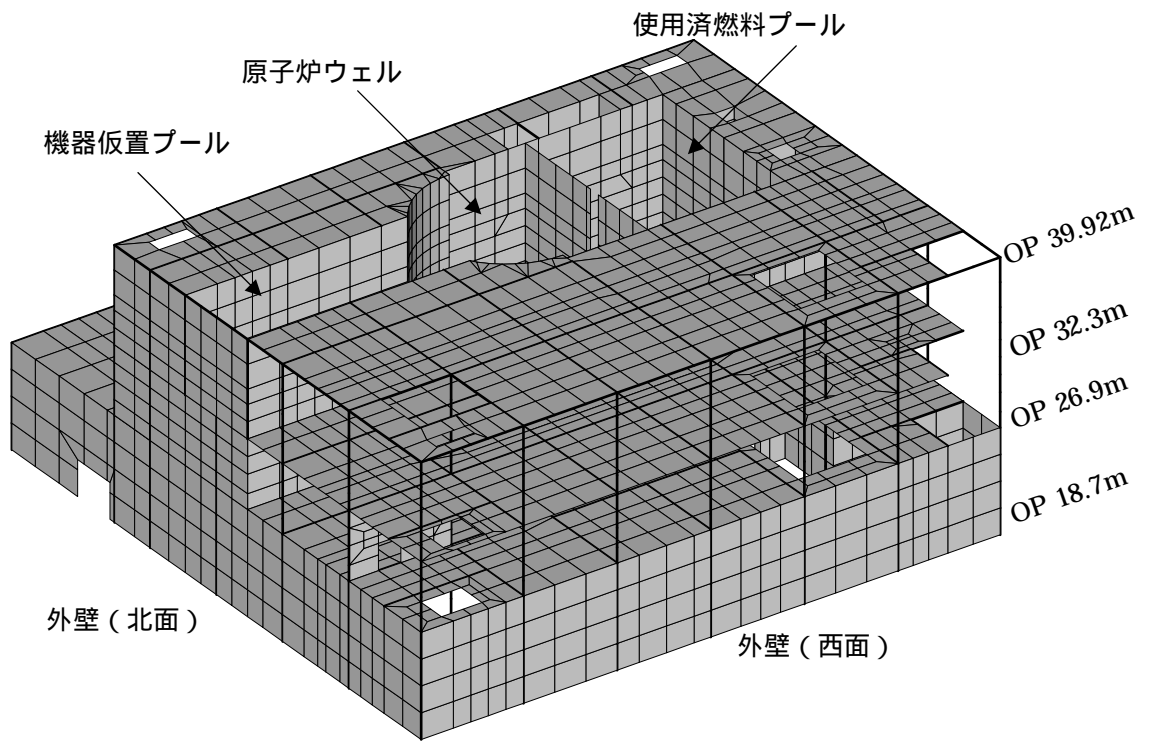
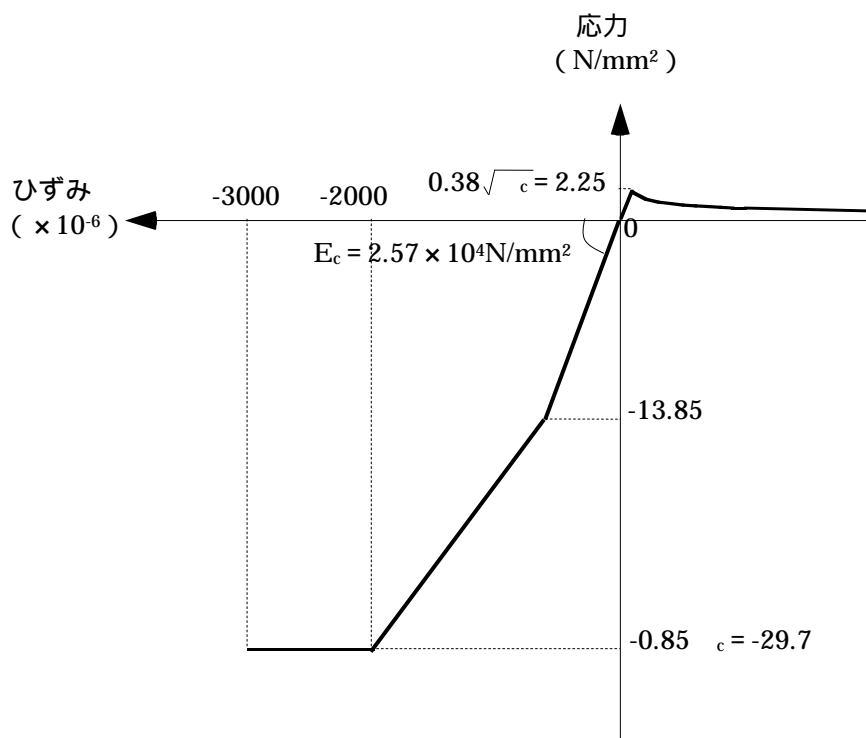
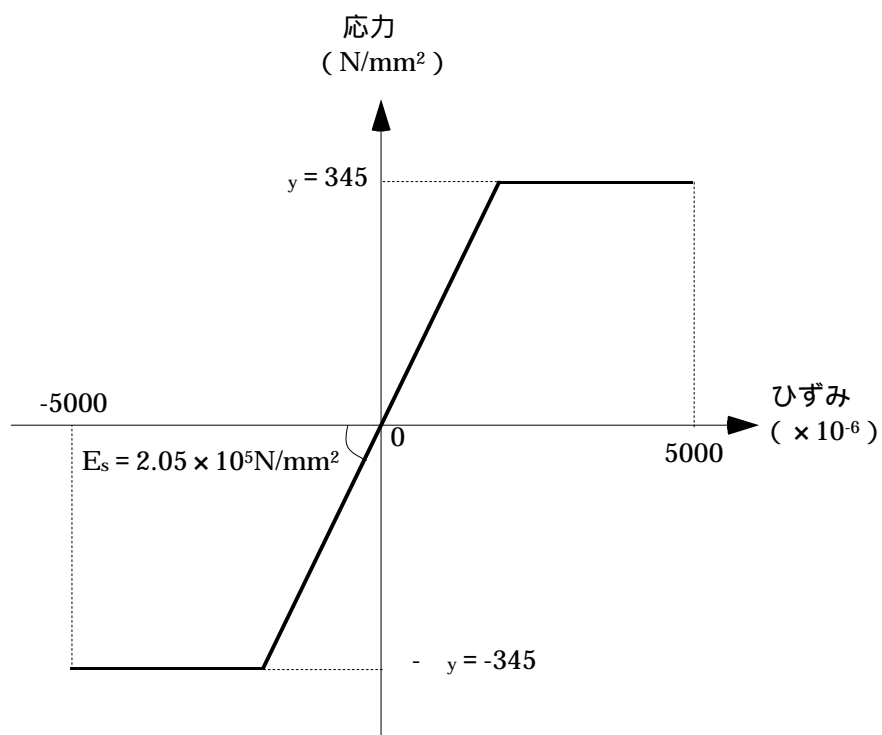


図-3.1 解析モデル概要図



(a) コンクリートの応力 - ひずみ関係
(コンクリート強度 $c = 35\text{N/mm}^2$)



(b) 鉄筋の応力 - ひずみ関係
(鉄筋降伏点 $y = 345\text{N/mm}^2$)

図-3.2 コンクリートと鉄筋の構成則

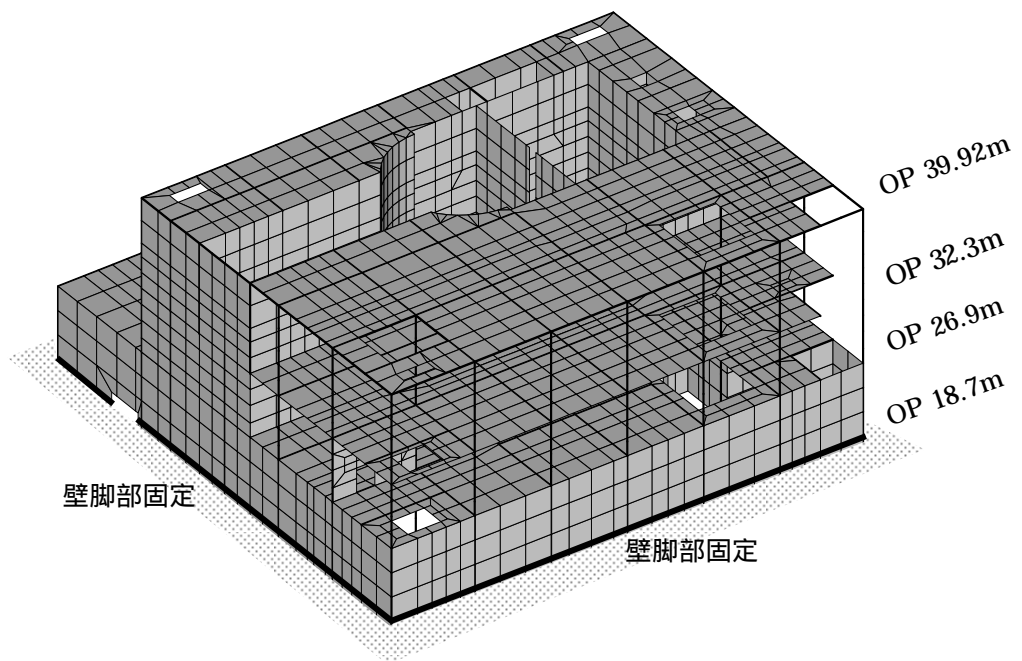


図-3.3 解析モデルの境界条件

4. 荷重および荷重の組合せ

(1) 死荷重

解析モデルに付与する死荷重は、モデル化範囲の建屋躯体の自重、機器重量に加え、崩れた屋根や外壁重量が全て燃料取替え床やプール床に積載していると仮定した場合の付加重量を考慮する。

(2) 静水圧

使用済燃料プール、原子炉ウェルおよび機器仮置プールが満水状態にあると仮定した場合の静水圧を考慮する。

(3) 温度荷重

実測されたプール水の温度条件（90 程度）を参考に、水温 90 、外気温 10 の状態を想定する。

(4) 地震荷重

前述の建屋の損傷を考慮した質点系モデルによる基準地震動 S_s に対する地震応答解析結果に基づき、水平方向および鉛直方向の地震荷重を設定する。（付録 4-1 参照）

(5) その他の荷重

プール水の地震時動水圧を考慮する。

(6) 荷重の組合せ

表-4.1 に荷重の組合せを示す。なお、水平方向および鉛直方向の地震動の組合せは、組合せ係数法（組合せ係数 0.4）により評価する。

日本機械学会「発電用原子力設備規格 コンクリート製原子炉格納容器規格」等においては、温度荷重と基準地震動 S_s による地震荷重との組合せを行わないこととしている。しかし、現状の使用済燃料プールが比較的長期間高温状態となっていることを踏まえ、温度荷重と基準地震動 S_s による地震荷重とを組み合わせで評価することとした。さらに、温度荷重を考慮しない場合の評価結果については付録 4-2 に示している。

表-4.1 荷重の組合せ

荷重時名称	荷重の組合せ
S_s 地震時	DL + H + T + K + KH

ここに、 DL：死荷重、 H：静水圧、 T：温度、
K：地震荷重（基準地震動 S_s ）、 KH：地震時動水圧

5. 評価結果

配筋諸元等に基づき使用済燃料プールの構造検討を行い、耐震安全性を評価する。評価においては、応力解析より求まる発生応力およびひずみが、評価基準値を超えないことを確認する。評価基準値は、日本機械学会「発電用原子力設備規格 コンクリート製原子炉格納容器規格」などに基づき設定する。評価に用いる配筋諸元を図-5.1 に示す。

評価結果を表-5.1、表-5.2 に示す。いずれの箇所においても発生応力およびひずみは弾性範囲内であり評価基準値を下回ることより、現状の使用済燃料プールは基準地震動 S_s に対する耐震安全性は確保されていると推定される。

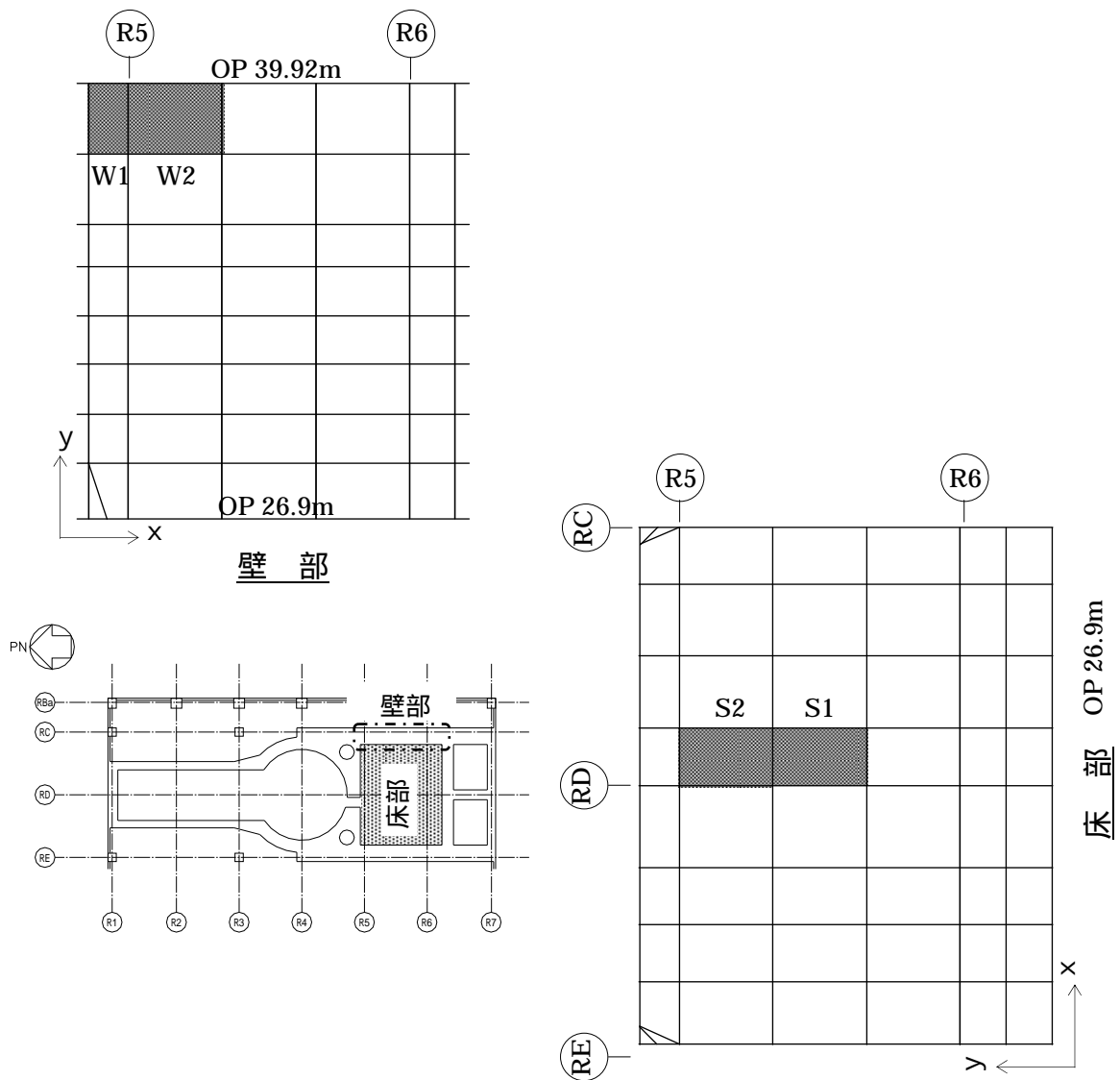
表-5.1～表-5.2 に用いる記号の説明

${}_c \varepsilon_c$: コンクリートの圧縮ひずみ
${}_s \varepsilon_c, {}_s \varepsilon_t$: 鉄筋の圧縮ひずみおよび引張ひずみ (ひずみは全て引張側を正として表記)
Q	: 面外せん断力

なお、損傷状況の評価および荷重条件の設定において、以下に示すいくつかの変動要因が考えられる。これらの変動要因による影響については、別途検討を行い顕著な影響を及ぼさないことを確認している。(付録 4-3 参照)

- ・ 爆発による周辺床スラブなどへの影響
- ・ 火災による燃料プール壁および周辺床スラブへの影響
- ・ 使用済燃料プール水温の高温化による影響

また、使用済燃料プール底部に補強工事を実施している。この工事による裕度向上効果についての検討も行っている。(付録 4-4 参照)



位置	内側筋		外側筋		せん断補強筋
	x 方向	y 方向	x 方向	y 方向	
W1	D32@250	D32@120	D32@250	D32@240	
W2	+4-D32		+4-D32		

位置	上端筋		下端筋		せん断補強筋
	x 方向	y 方向	x 方向	y 方向	
S1	D32@100 + D32@200		D32@200		
S2					

図-5.1 評価箇所配筋諸元

表-5.1(1) 軸力と曲げモーメントによる
コンクリートおよび鉄筋のひずみの検討結果（壁部）

箇所名	検討ひずみ	荷重時名称	発生ひずみ ($\times 10^{-6}$)	評価基準値 ($\times 10^{-6}$)	判定
W1	c c	Ss 地震時	-480	-3000	可
	s c		-350	-5000	可
	s t		1230	5000	可

表-5.1(2) 軸力と曲げモーメントによる
コンクリートおよび鉄筋のひずみの検討結果（床部）

箇所名	検討ひずみ	荷重時名称	発生ひずみ ($\times 10^{-6}$)	評価基準値 ($\times 10^{-6}$)	判定
S1	c c	Ss 地震時	-580	-3000	可
	s c		-210	-5000	可
	s t		490	5000	可

表-5.2(1) 面外せん断力の検討結果（壁部）

箇所名	荷重時名称	発生応力 Q (N/mm)	評価基準値 (N/mm)	判定
W2	Ss 地震時	2040	3770	可

表-5.2(2) 面外せん断力の検討結果（床部）

箇所名	荷重時名称	発生応力 Q (N/mm)	評価基準値 (N/mm)	判定
S2	Ss 地震時	800	1150	可

4号機原子炉建屋の鉛直方向の地震応答解析について

福島第一原子力発電所4号機原子炉建屋の3次元FEM解析による局部評価にあたっては、基準地震動 Ss による鉛直方向の動的解析結果を入力として用いている。ここでは、鉛直方向の地震応答解析結果を示す。

解析モデル作成にあたって、「添付資料-3: 4号機の原子炉建屋の耐震安全性評価に関する詳細(質点系モデルによる時刻歴応答解析による評価)」において評価した範囲と同様の範囲を損傷範囲として取り扱うこととし、崩れた部分の重量については、下階の床で支持されると仮定する。

鉛直方向の建屋解析モデルを図-1に、諸元を表-1に示す。

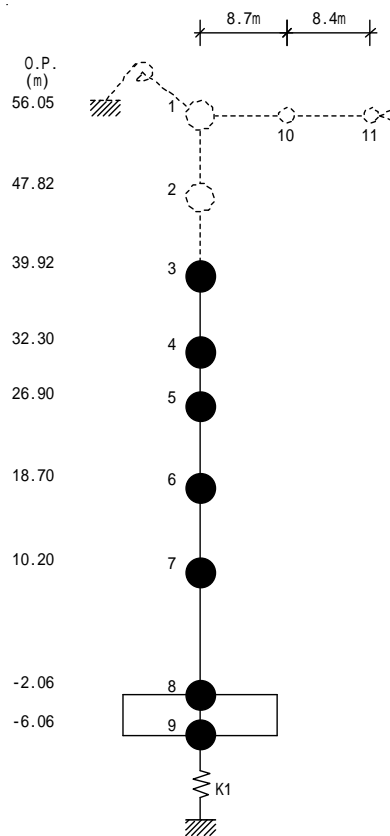


図-1 建屋解析モデル(鉛直方向)

表-1 建屋解析モデルの諸元（鉛直方向）

建屋				屋根			
質点番号	質点重量 W(kN)	軸断面積 A _N (m ²)	軸ばね剛性 K _A (×10 ⁸ kN/m)	質点番号	質点重量 W(kN)	せん断断面積 A _S (×10 ⁻² m ²)	断面2次モーメント I(m ⁴)
1	-	-	-	1	-	-	-
2	-	-	-	10	-	-	-
3	114,850	222.6	7.41	11	-	-	-
4	88,770	218.1	10.58				
5	117,030	380.4	11.92				
6	121,930	340.6	10.30				
7	207,300	654.7	13.72				
8	287,050	2,812.6	180.71				
9	132,390						
合計	1,069,320						

コンクリート部

ヤング係数 E_c 2.57×10^7 (kN/m²)
 せん断弾性係数 G 1.07×10^7 (kN/m²)
 ポアソン比 0.20
 減衰 h 5%

鉄骨部

ヤング係数 E_s 2.05×10^8 (kN/m²)
 せん断弾性係数 G 7.90×10^7 (kN/m²)
 ポアソン比 0.30
 減衰 h 2%

基礎形状

49.0m(NS方向) × 57.4m(EW方向)

地震応答解析により求められた鉛直方向の最大応答加速度および最大応答軸力を図-2 および図-3 に示す。

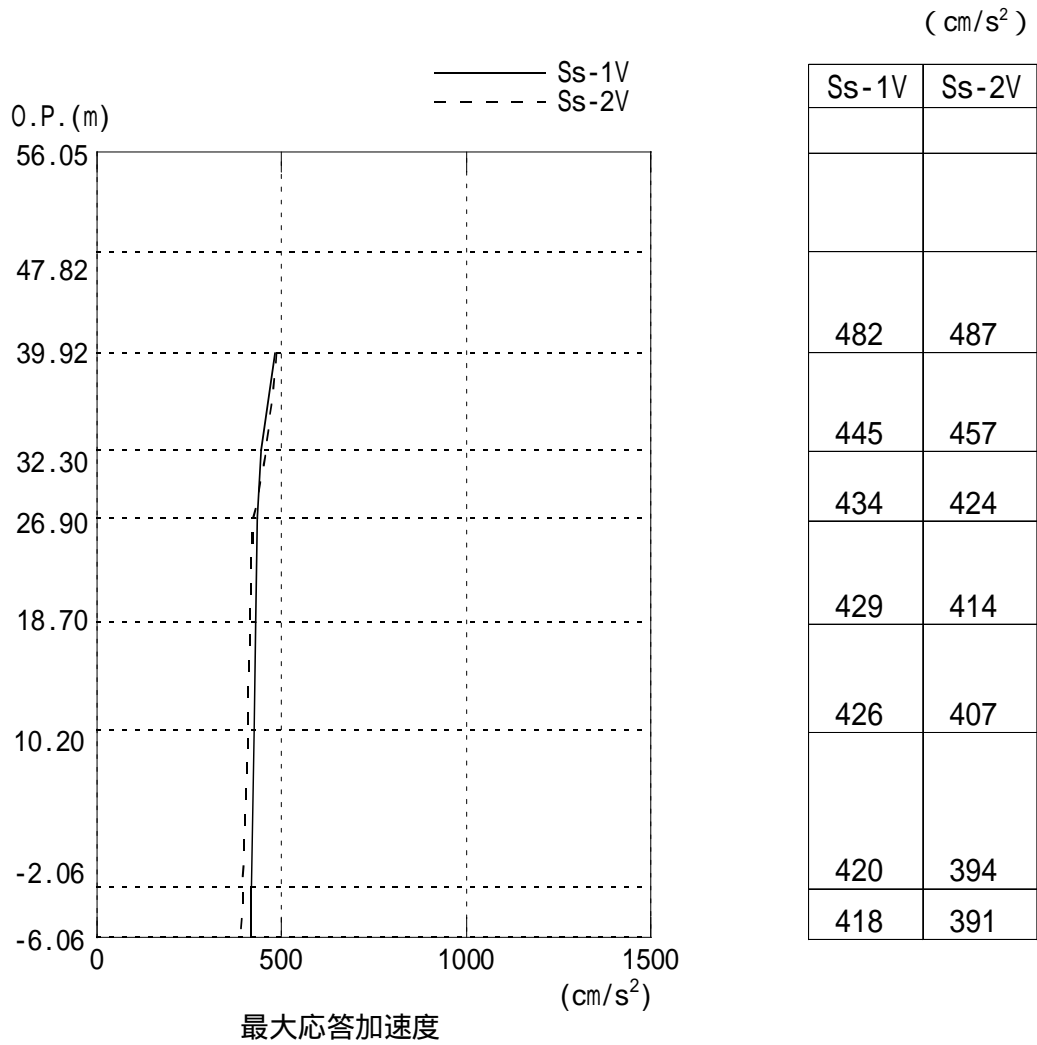


図-2 最大応答加速度（鉛直方向）

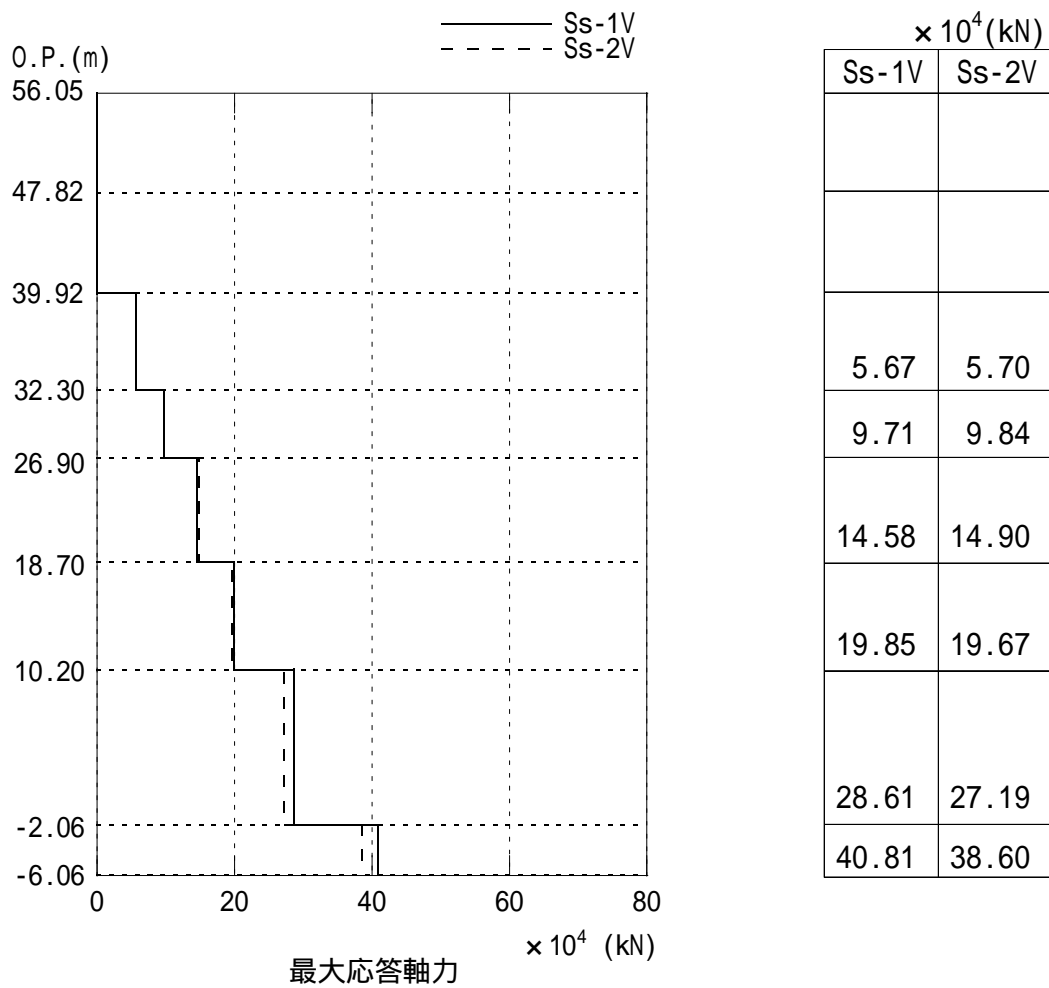


図-3 最大応答軸力（鉛直方向）

温度荷重に関するパラメトリックスタディについて

1. 解析概要

添付資料 - 4 では、荷重組合せとして基準地震動 Ss と温度荷重（プール水の温度条件（90 程度））を組み合わせ耐震安全性の評価を実施した。本検討では、温度荷重を考慮しない場合の基準地震動 Ss に対する検討を行い、温度荷重を考慮しない場合における耐震安全性の評価への影響を検討する。

2. 解析方法

添付資料 - 4 の荷重の組合せ（以下、基本ケースとする）をもとに、温度荷重を除外した表 - 1 の荷重の組合せを対象とする。なお、荷重の組合せ以外の条件は、解析モデルを含め基本ケースと同一である。

表 1 荷重の組合せ

荷重時名称	荷重の組合せ
Ss 地震時	DL+H+K+KH

ここに、 DL : 死荷重
 H : 静水圧
 K : Ss 地震荷重
 KH : Ss 地震時動水圧

3. 評価結果

使用済燃料プール壁部及びプール床部のコンクリートおよび鉄筋のひずみで基本ケースにて評価した同一箇所（要素）の結果を表 2 に、面外せん断応力で基本ケースにて評価した同一箇所（要素）の結果を表 3 に示す。なお、参考として、表 2 及び表 3 には、比較のためプール部の温度の条件を考慮した基本ケースの検討結果を併記する。

評価結果より、温度荷重を考慮しない場合においても、使用済燃料プールの発生応力およびひずみは評価基準値以内であり、耐震安全性は確保されていると推定される。

表 2(1) 軸力と曲げ応力による
コンクリートおよび鉄筋のひずみの検討結果（壁部）

箇所名	検討ひずみ	荷重時名称	発生ひずみ(×10 ⁻⁶)		評価基準値(×10 ⁻⁶)	判定
			本検討(温度なし)	参考基本ケース		
W1	c c	Ss 地震時	-110	-480	-3000	可
	s c		-110	-350	-5000	可
	s t		420	1230	5000	可

表 2(2) 軸力と曲げ応力による
コンクリートおよび鉄筋のひずみの検討結果（床部）

箇所名	検討ひずみ	荷重時名称	発生ひずみ(×10 ⁻⁶)		評価基準値(×10 ⁻⁶)	判定
			本検討(温度なし)	参考基本ケース		
S1	c c	Ss 地震時	-130	-580	-3000	可
	s c		-40	-210	-5000	可
	s t		140	490	5000	可

表 3(1) 面外せん断応力の検討結果（壁部）

箇所名	荷重時名称	発生応力 Q (N/mm)		判定
		本検討(温度なし)	参考基本ケース	
W2	Ss 地震時	1020 (3430)	2040 (3770)	可

() 数値は評価基準値

表 3(2) 面外せん断応力の検討結果（床部）

箇所名	荷重時名称	発生応力 Q (N/mm)		判定
		本検討(温度なし)	参考基本ケース	
S2	Ss 地震時	870 (2180)	800 (1150)	可

() 数値は評価基準値

使用済燃料プールの耐震安全性評価に係るパラメトリックスタディー

1. 検討方針

基本ケースでは想定していない以下に示す損傷シナリオ（以下に示す3ケース）を考慮したパラメータ解析を実施し、使用済燃料プールの耐震安全性評価に与える影響程度を把握する。

【基本ケースで想定していない損傷シナリオ】

爆発による影響

爆発により屋根および3階以上の外壁の大半が崩壊し、厚壁で構成されたプールの周辺部の半壊壁や床の剛性が低下している可能性がある。

火災による影響

火災により西面のプール壁及び周辺部が損傷し、それらの剛性が低下している可能性がある。

プール水温の高温化による影響

使用済み燃料の発熱によりプール水温が上昇し、長時間高温環境下におかれることによりプール壁・床内側のコンクリートが損傷し、剛性が低下している可能性がある。

2. 検討条件

2.1 爆発による影響検討のための検討条件

爆発により屋根及び3階以上の外壁の大半が崩壊し、厚壁で構成されたプールの周辺部の半壊壁や床の剛性が低下している可能性がある。従って、図-1 に示すように、4～5階の一般床及び3～4階の半壊程度の外壁の損傷程度が使用済燃料プールの耐震安全性評価に及ぼす影響について検討する。

一般床剛性（4～5階）

4階及び5階の床剛性を50%に低下させる。

外壁剛性（3～4階）

半壊程度の外壁（なお、基本ケースでは全壊扱いとしている）をモデル化し、当該壁の剛性を50%に低下させる。

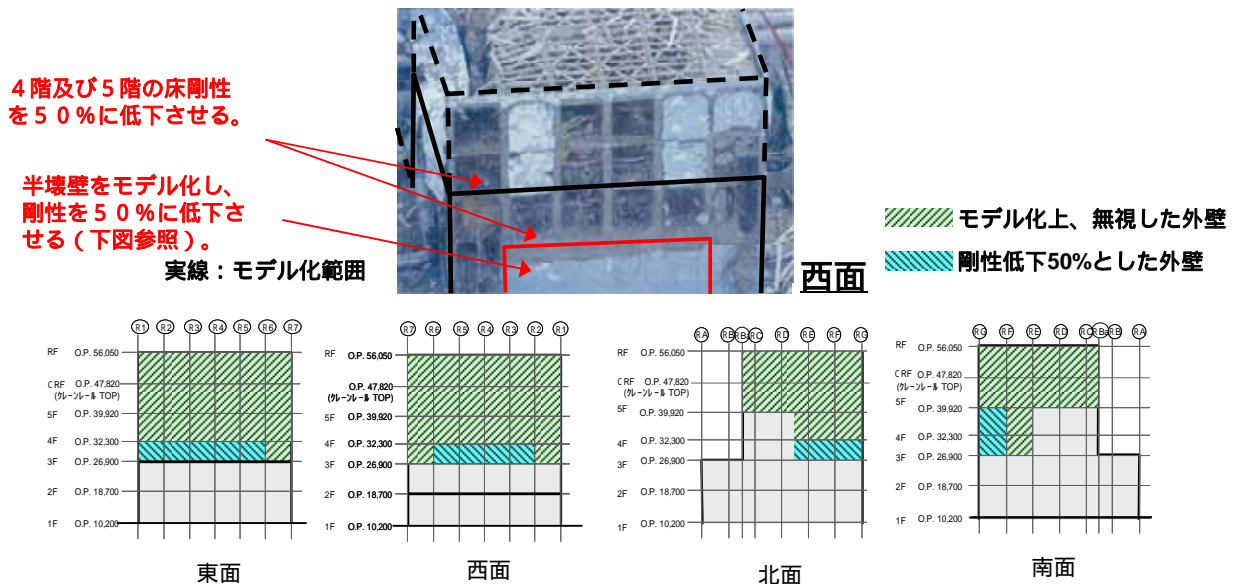


図-1 爆発による影響検討の対象とする床及び外壁

2.2 火災による影響検討のための検討条件

火災により西面のプール壁及び周辺部が損傷し、それらの剛性が低下している可能性がある。従って、4階西側のMGセット室を火災発生箇所とし、図-2に示す火災による影響範囲を西側エリアの4階床、5階床およびプール壁の全面が火災によって剛性低下すると仮定する。ここで、当該床及び壁のコンクリート表面が火災により損傷を受けたと仮定し、80%程度に剛性低下した場合を想定して、使用済燃料プールの耐震安全性評価に及ぼす影響の程度を検討する。

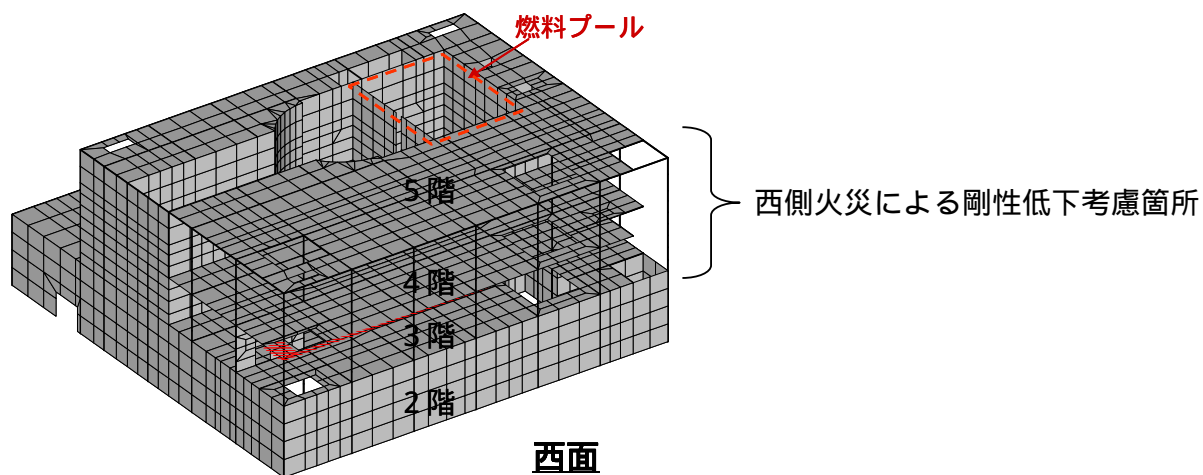


図-2 火災による影響検討の対象とする床及び外壁

2.3 プール水温の高温化による影響検討のための検討条件

使用済み燃料の発熱によりプール水温が上昇し、長時間高温環境下におかれることによりプール壁・床内側のコンクリートが損傷し、剛性が低下している可能性がある。従って、温度条件として、プール水温が100 まで上昇し、なおかつ外気温も冬場0 と想定した場合について検討し、使用済み燃料プールの耐震安全性評価に及ぼす影響の程度を検討する。

2.4 検討ケース

2.1から2.4までの3ケースの検討条件を纏めた検討ケースの一覧を、基本ケースも併せて、表-1に示す。検討ケースは、基本ケースと同じ荷重組み合わせ(16ケース)を考慮し、使用済燃料プールの耐震安全性評価に与える影響を検討する。

表-1 検討ケース一覧

ケース		影響検討のための項目			
		外壁の 剛性低下 (3~4階)	一般床の 剛性低下 (4~5階)	プール壁の 剛性低下	プール水 温度
-	基本	全壊及び半壊 ともに無視	無視	無視	10~90
1	爆発による影 響	半壊部分は 50%に剛性低下	50%に剛性低下	*	*
2	火災による影 響	*	西側部分は 80%に剛性低下	西側部分は 80%に剛性低下	*
3	プール水温に よる影響	*	*	*	0~100

注) *: 基本ケースと同じ条件とする。

3. 検討結果

基本ケース及び検討ケースに対して、評価基準値に対する発生ひずみもしくは発生応力の比率を比較した結果を表-2 に示す。従って、基本ケースでは想定していない爆発、火災及びプール水温の高温化による損傷シナリオを考慮しても、使用済燃料プールの耐震安全性評価には影響を与えないことが確認された。

なお、参考までに、検討ケース1～3に対する使用済燃料プールの耐震安全性評価結果の詳細を表-3～表-8 に示す。

表-2 評価基準値に対する発生ひずみもしくは発生応力の比率の比較

	評価項目	基本ケース	【ケース1】 爆発による影響	【ケース2】 火災による影響	【ケース3】 プール水温の高温化による影響
プール床	鉄筋ひずみ	0.10	0.10	0.10	0.14
	コンクリートひずみ	0.20	0.20	0.20	0.24
	面外せん断力	0.70	0.69	0.70	0.76
プール壁	鉄筋ひずみ	0.25	0.25	0.24	0.30
	コンクリートひずみ	0.16	0.16	0.17	0.19
	面外せん断力	0.55	0.55	0.52	0.61

注) 表中の値は、1未満であれば評価基準値を下回ることを示している。

【ケース1 爆発による影響】

表-3(1) 軸力と曲げモーメントによる
コンクリートおよび鉄筋のひずみの検討結果（壁部）

箇所名	検討ひずみ	荷重時名称	発生ひずみ ($\times 10^{-6}$)	評価基準値 ($\times 10^{-6}$)	判定
W1	c c	Ss 地震時	-470	-3000	可
	s c		-340	-5000	可
	s t		1240	5000	可

表-3(2) 軸力と曲げモーメントによる
コンクリートおよび鉄筋のひずみの検討結果（床部）

箇所名	検討ひずみ	荷重時名称	発生ひずみ ($\times 10^{-6}$)	評価基準値 ($\times 10^{-6}$)	判定
S1	c c	Ss 地震時	-580	-3000	可
	s c		-210	-5000	可
	s t		480	5000	可

表-4(1) 面外せん断力の検討結果（壁部）

箇所名	荷重時名称	発生応力 Q (N/mm)	評価基準値 (N/mm)	判定
W2	Ss 地震時	2050	3770	可

表-4(2) 面外せん断力の検討結果（床部）

箇所名	荷重時名称	発生応力 Q (N/mm)	評価基準値 (N/mm)	判定
S2	Ss 地震時	790	1150	可

注) 検討対象箇所は、基本ケースを参照のこと。

【ケース2 火災による影響】

表-5(1) 軸力と曲げモーメントによる
コンクリートおよび鉄筋のひずみの検討結果（壁部）

箇所名	検討ひずみ	荷重時名称	発生ひずみ ($\times 10^{-6}$)	評価基準値 ($\times 10^{-6}$)	判定
W1	c c	Ss 地震時	-510	-3000	可
	s c		-380	-5000	可
	s t		1170	5000	可

表-5(2) 軸力と曲げモーメントによる
コンクリートおよび鉄筋のひずみの検討結果（床部）

箇所名	検討ひずみ	荷重時名称	発生ひずみ ($\times 10^{-6}$)	評価基準値 ($\times 10^{-6}$)	判定
S1	c c	Ss 地震時	-580	-3000	可
	s c		-210	-5000	可
	s t		480	5000	可

表-6(1) 面外せん断力の検討結果（壁部）

箇所名	荷重時名称	発生応力 Q (N/mm)	評価基準値 (N/mm)	判定
W2	Ss 地震時	1940	3770	可

表-6(2) 面外せん断力の検討結果（床部）

箇所名	荷重時名称	発生応力 Q (N/mm)	評価基準値 (N/mm)	判定
S2	Ss 地震時	760	1090	可

注) 検討対象箇所は、基本ケースを参照のこと。

【ケース3 プール水温の高温化による影響】

表-7(1) 軸力と曲げモーメントによる
コンクリートおよび鉄筋のひずみの検討結果（壁部）

箇所名	検討ひずみ	荷重時名称	発生ひずみ ($\times 10^{-6}$)	評価基準値 ($\times 10^{-6}$)	判定
W1	c c	Ss 地震時	-570	-3000	可
	s c		-460	-5000	可
	s t		1480	5000	可

表-7(2) 軸力と曲げモーメントによる
コンクリートおよび鉄筋のひずみの検討結果（床部）

箇所名	検討ひずみ	荷重時名称	発生ひずみ ($\times 10^{-6}$)	評価基準値 ($\times 10^{-6}$)	判定
S1	c c	Ss 地震時	-700	-3000	可
	s c		-230	-5000	可
	s t		660	5000	可

表-8(1) 面外せん断力の検討結果（壁部）

箇所名	荷重時名称	発生応力 Q (N/mm)	評価基準値 (N/mm)	判定
W2	Ss 地震時	2280	3770	可

表-8(2) 面外せん断力の検討結果（床部）

箇所名	荷重時名称	発生応力 Q (N/mm)	評価基準値 (N/mm)	判定
S2	Ss 地震時	860	1140	可

注) 検討対象箇所は、基本ケースを参照のこと。

補強工事の効果について

1. 解析評価方針

使用済燃料プールの床の裕度向上を目的に、使用済燃料プールの床下に鋼製支柱等を取り付ける予定である。ここでは、図 1 に示す鋼製支柱等を模擬した要素を追加した応力解析モデルを用いて、同様の耐震安全性評価を行う。評価結果を取り付け前と比較することで裕度向上効果を把握する。

なお、鋼製支柱は東西方向に 32 本配置し上部からの荷重を支える。さらに、その機能を確実なものとするために、コンクリート壁を設置し、コンクリート壁と使用済燃料プール底部との間はグラウトを充填することとしている。

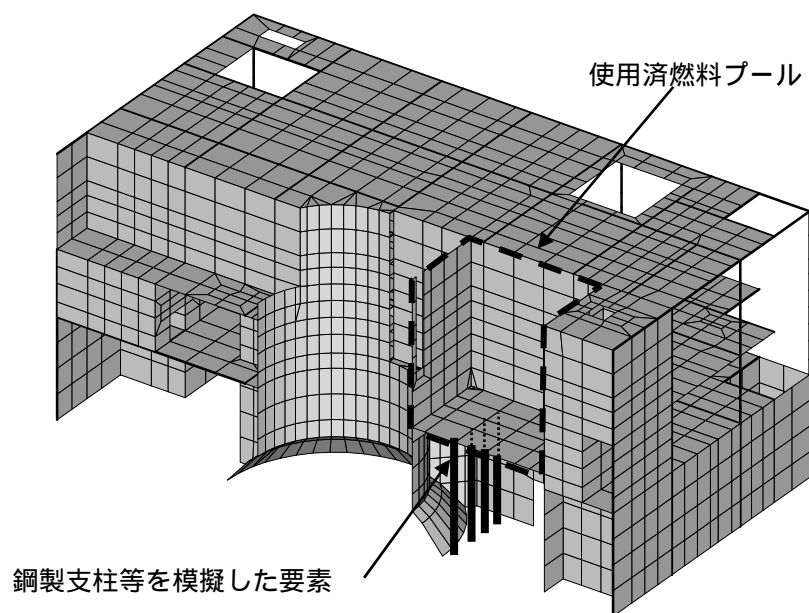


図 1 応力解析モデル

2. 裕度向上効果

使用済燃料プール床について、発生応力およびひずみの評価基準値に対する比が最も大きい箇所を抽出し、鋼製支柱等を模擬した要素の取り付け前後で比較した結果を表1と表2に示す。いずれも鋼製支柱等の取り付け後に最大値が低減しており、鋼製支柱等による裕度向上効果が期待できることが確認できた。

表1 発生ひずみの評価基準値に対する比の最大値
(鋼製支柱等を模擬した要素の取り付け前後の比較)

箇所	検討 ひずみ	荷重時 名称	発生ひずみ 評価基準値	
			鋼製支柱 取り付け前 (最大値)	鋼製支柱 取り付け後 (最大値)
使用済 燃料 プール床 S1	コンクリート c c	Ss 地震時	0.20	0.10
	鉄筋 s t		0.10	0.07

表2 面外せん断力の評価基準値に対する比の最大値
(鋼製支柱等を模擬した要素の取り付け前後の比較)

箇所	検討 応力	荷重時 名称	発生せん断力 評価基準値	
			鋼製支柱 取り付け前 (最大値)	鋼製支柱 取り付け後 (最大値)
使用済 燃料 プール床 S2	面外せん断力 Q	Ss 地震時	0.70	0.56